

INSTITUTUL POLITEHNIC "TRAIAN VUIA" TIMISOARA
FAÇULTATEA DE ELECTROTEHNICA

ing. FLORIN BRANZAN

CONTRIBUTII LA STUDIUL INTERACTIUNII
UNDELOR ULTRASONORE SI LUMINII IN MEDII
CRISTALINE CU APLICATII IN DOMENIUL
PRELUCRARIII INFORMATIEI

BIBLIOTECA CENTRALĂ
UNIVERSITATEA "POLITEHNICA"
TIMIȘOARA

Teză de doctorat

Conducător științific
Prof.dr.ing. Marius Borneas

- 1988 -

INSTITUTUL POLITEHNIC TIMIȘOARA	
S. R.	A
527.7.1.1	
Volumul	
Dulap	247 1

C U P R I N S

CAP.1	DESCRIEREA CALITATIVA A FENOMENULUI	1
CAP.2	PROPAGAREA LUMINII SI A SUNETULUI IN MEDII CRISTALINE	9
2.1	Propagarea luminii in medii cristaline	9
2.1.1	Lumina ca ansamblu de fotoni	9
2.1.2	Propagarea luminii in medii izotrope	10
2.1.3	Propagarea luminii in medii cristaline	11
2.1.4	Fenomene de intrare si iesire din cristal	13
2.1.5	Straturi antireflex	14
2.2	Propagarea sunetului in medii cristaline	18
CAP.3	INTERACTIUNEA UNDELOR IN CRISTALE	20
3.1	Aspecte calitative	20
3.1.1	Introducere	20
3.1.2	Ecuatii parametrice pentru unde coliniare	23
3.1.3	Interactiunea intr-un plan a doua unde	34
3.1.4	Figura de difractie vizavi de rotatia cristalului	42
3.2	Calculul cantitativ al imprastierii luminii intr-un modulator acustooptic	44
CAP.4	STUDIUL UTILIZARII PRACTICE	55
4.1	Definirea modulatorilor, comutatoarelor si deflectoarelor optice	55
4.1.1	Intensitatea relativa sau adincimea de modulare	55
4.1.2	Puterea de excitare pe unitatea de banda de trecere	56
4.1.3	Pierderi induse	57
4.1.4	Masurarea factorilor de merit ai comutatoarelor	58
4.2	Privirea generala asupra deflexiei si modularii acustooptice	59
4.2.1	Deflectoare	60
4.2.2	Modulatoare	62

4.3	Modulatoare - defletoare de volum	65
4.4	Comportarea defletoarelor de impuls	68
4.5	Caracteristicile traductoarelor acustice ultraso- nice pentru excitarea undelor de volum	84
4.5.1	Impedanta, pierderi prin conversie si banda de trecere	84
4.5.1.1	Precizari	84
4.5.1.2	Impedanta electrica de intrare a traductorului	87
4.5.1.3	Pierderi de neadaptare	88
4.5.1.4	Pierderi la adaptare	91
4.5.2	Proiectare pentru pierderi mici de conversie si banda larga	91
4.5.2.1	Adaptarea electrica	92
4.5.2.2	Adaptarea acustica. Concluzii	93

REZULTATE EXPERIMENTALE

5.1	Niobatul de litiu - LiNbO_3	96
5.1.1	Caracteristici si aplicatii	96
5.1.2	Cresterea	97
5.1.3	Polarizarea	98
5.1.4	Prelucrarea	99
5.2	Determinarea constantelor electrice si piezoelec- trice ale cristalelor de LiNbO_3 utilizate	102
5.2.1	Modul de vibratie volumetric	102
5.2.2	Modul de vibratie volumetric al LiNbO_3	105
5.2.3	Masuratori experimentale	103
5.3	Cuartul	114
5.3.1	Cuartul. Descriere	114
5.3.2	Traductorul piezoelectric din quart	117
5.4	Aplicatii in domeniul prelucrarii informatiei	127
5.4.1	Deflexia acustooptica in analiza spectrala	127
5.4.2	Convolutia in timp real	123
5.4.3	Corelator cu celula LiNbO_3	129
5.4.4	Deflector acustooptic	130
5.4.4.1	Montajul experimental	138

5.4.4.2	Raspunsul in frecventa al traductorului	140
5.4.4.3	Determinarea frontului de deschidere a celulei	144
5.4.4.4	Adincimea de modulatie	145
5.4.4.5	Determinarea unghiului de deflexie	145
5.4.4.6	Determinarea dependentei unghiulare a modularii	145
5.4.4.7	Verificarea conditiilor de difractie Bragg	149
5.4.4.8	Masurarea benzii de modulare	149

CAP.6 CONCLUZII
BIBLIOGRAFIE

INTRODUCERE

Interacțiunea undelor ultrasonore și undelor electromagnetice la frecvențe optice este cunoscută sub denumirea "efect Brillouin". În 1921, Brillouin presupune că un lichid traversat de o undă de compresie cu frecvență mare, iluminat cu lumină vizibilă generează fenomene de difracție asemănătoare cu cele date de o rețea plană de fază. Practic, fenomenul a fost evidențiat 10 ani mai târziu, independent, de către Debye și Sears, respectiv Lucas și Biquard [1, p.594]. De atunci mulți cercetători au studiat manifestarea în diverse condiții experimentale modificând una din următoarele valori: unghiul de incidență, lungimea de undă a luminii incidente, amplitudinea undei ultrasonore, lățimea fasciculului sonor, etc.

Evident, poziția ordinelor de difracție pe ecran, numărul lor și intensitatea relativă depind de unul sau mai mulți dintre factorii citați.

Studiul trecerii prin lichide a fost urmat de cel al propagării prin medii solide transparente, momentul fiind legat de dezvoltarea electronicii, care a permis generarea de unde ultrasonore de putere ridicată.

În primii ani, fenomenul a fost utilizat pentru măsurarea constantelor elastice de material. Interesul a crescut o dată cu descoperirea laserului, al cărui fascicul poate fi deviat sau modificat în amplitudine sau frecvență prin această metodă.

Se pot distinge două cazuri limită: difracția la unghi Bragg și cea de tipul Raman - Nath, clasificare în principal, funcție de incidența sub unghi sau paralelă cu frontul undei sonore. Difracția Bragg este cea utilizată practic [2].

Sinteza pe scară industrială a cristalelor, în paralel cu descoperirea de noi tipuri, cu proprietăți acustice sau acustooptice superioare, necesită aprofundarea teoretică a propagării luminii, sunetului și interacțiunii lor, căutări care au dus la realizarea multor dispozitive utilizate în electronica cuantică și în noul domeniu al opticii integrate.

Recentele progrese [3] realizate în sfera tehnologiilor țării noastre au permis și la noi abordarea teoretică și practică

a domeniilor amintite (construcția de lasere cu solid, electronica la frecvențe ridicate, creșterea de cristale, etc.).

Prezenta teză își propune unele contribuții în aceste direcții, cu finalizări în construcția primului deflector acustooptic românesc, utilizabil în lasere cu undă continuă, la puteri mari cit și în transmisia și prelucrarea informației.

CAPITOLUL 1
DESCRIEREA CALITATIVA A FENOMENULUI

Trecerea unei unde plane de compresie printr-un mediu [1,p.594] creează stratificări periodice de materie de-a lungul direcției de propagare.

Considerăm un material transparent aflat între două planuri $z = 0$ și $z = L$ și o undă plană de compresie de lungime de undă λ ce se propagă de-a lungul axei x în direcție pozitivă. Stratificările periodice de materie se fac cu distanța Λ între două planuri succesive de densitate maximă.

Fie o undă luminoasă monocromatică, plană, de pulsație ω și lungimea de undă λ în mediul studiat, cu normala de undă în planul xz și făcând unghiul $\bar{\theta}$ cu axa z (Fig.1).

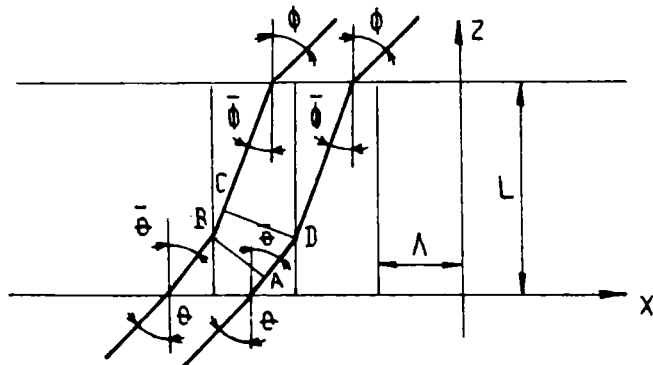


Fig.1. Undele ultrasonore privite ca o rețea de difracție de fază

Cu ϕ se notează unghiul pe care îl face raza imprăștiată cu axa z . Deoarece viteza v a undei de compresie este mult mai mică decât cea a luminii, putem, în primă aproximație, considera staționară stratificarea materiei. Atunci direcția ϕ , în care se observă o intensitate apreciabilă, se poate determina din condiția ca diferența de drum optic între raze, din două planuri succesive la distanța Λ să fie un multiplu întreg de λ . Această condiție determină o relație între λ , $\bar{\theta}$ și direcția de propagare $\bar{\phi}_l$, a undelor de diverse ordine în spectrul difracției.

$$BC - AD = \Lambda (\sin \bar{\phi}_l - \sin \bar{\theta}) = l \cdot \lambda ; (l = 0, \pm 1, \pm 2, \dots) \quad (1.1)$$

AB și CD fiind porțiuni din fronturile de undă asociate cu razele

refractate și împrăștiate. Este convenabil a rescrie (1.1) în termeni λ_0, θ și ϕ din afara mediului. Conform (1.1) și legii refracției:

$$\frac{\sin \bar{\theta}}{\sin \theta} = \frac{\sin \bar{\phi}}{\sin \phi} = \frac{\lambda}{\lambda_0} \quad \text{obținem:}$$

$$\Lambda (\sin \phi_l - \sin \theta) = l \cdot \lambda_0 \quad (l=0, \pm 1, \pm 2, \dots) \quad (1.2)$$

separarea unghiulară între două ordine succesive:

$$\sin \phi_l - \sin \phi_{l-1} \cong \phi_l - \phi_{l-1} = \frac{\lambda_0}{\Lambda}$$

adică, pentru un λ_0 dat, separarea unghiulară descrește cu creșterea lui Λ . Dacă Λ este suficient de mare, liniile principale vor fi așa de apropiate că nu pot fi separate de un instrument de măsură și din această cauză efectele de difracție nu se observă cînd, unde sonore obișnuite sînt iluminate cu lumina vizibilă. De aici necesitatea utilizării undelor ultrasonore, cu lungimea de undă Λ cit mai apropiată de cea a luminii folosite.

Efectul de rețea de fază este dat de apariția fenomenului de fotoelasticitate [5], care cuplează cîmpul tensiunii acustice modulatorie al undei ultrasonice, cu indicii optici de refracție. Efectul fotoelastic apare în toate stările materiei și în particular în medii cristaline indiferent de clasa de simetrie.

Din punct de vedere practic, o rețea optică de fază poate fi utilizată pentru o deflexie controlată sau pentru modularea unei unde luminoase incidente. Aceasta duce la o clasă de dispozitive ca: comutatoare de factor de calitate optic, modulatorie, corelatoare și scanere [6][7].

Geometria tipică a unui deflector practic de rază luminoasă este dată în Fig.2, unde, pentru generalizare, raza optică s-a luat de secțiune eliptică.

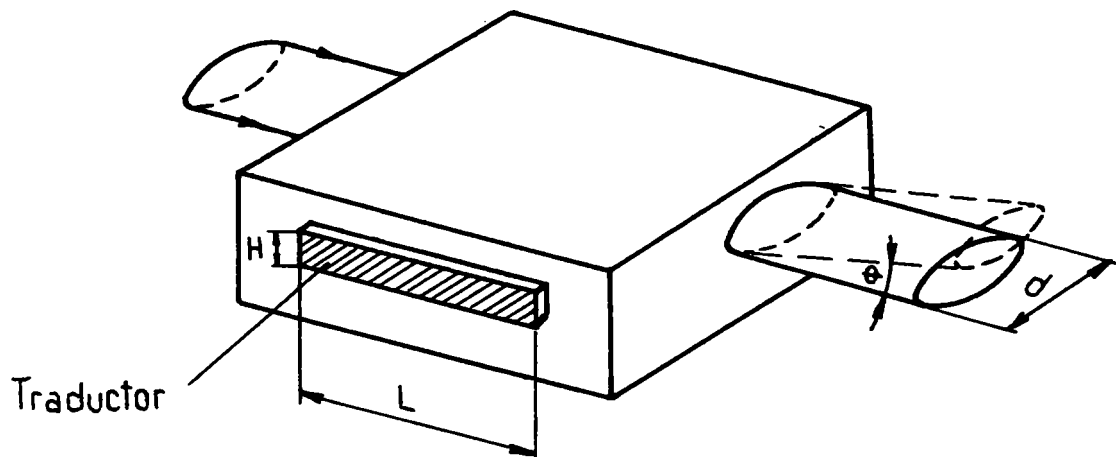


Fig.2 Deflector acustooptic

Dimensiunile traductorului placa dreptunghiulară, H și L sint dimensiunile fasciculului sonor. In majoritatea cazurilor lungimea de undă acustică este mult mai mică decit H și L , astfel incit fasciculul sonor este bine colimat și se propagă dinspre traductor in mediul acustooptic unde interacționează cu raza de lumină. Dacă lumina este incidentă la unghi Bragg și rețeaua de fază stabilită ultrasonor este suficient de groasă se observă fenomenul de difracție Bragg [5]. Geometria difracției Bragg este aratăată in Fig.3. Unghiul Bragg θ_B , se definește in termenii lunginii de undă a luminii incidente λ_0 și pasul rețelei de fază Λ (lungimea de undă ultrasonoră) in conformitate cu legea lui Bragg. Pentru ordinul 1 de difracție putem scrie:

$$\lambda_0 = 2\Lambda \sin \theta_B \quad (1.3)$$

In aplicațiile noastre, lungimea de undă ultrasonoră este cu mult mai mare decit lungimea de undă optică, astfel incit $\sin \theta_B \approx \theta_B$ și $\cos \theta_B \approx 1$

$$\theta_B \approx \frac{\lambda_0}{2\Lambda} \quad (1.4)$$

Rețeaua se numește groasă dacă o rază proiectată in direcția luminii incidente intersectează mai mult de o linie a rețelei:

$$L\theta_B > \Lambda \quad (1.5)$$

Combinând (1.4) cu (1.5):

$$\frac{L \lambda_0}{2 \Lambda^2} > 1$$

(1.6)

care este definiția uzuală a difracției Bragg [8]

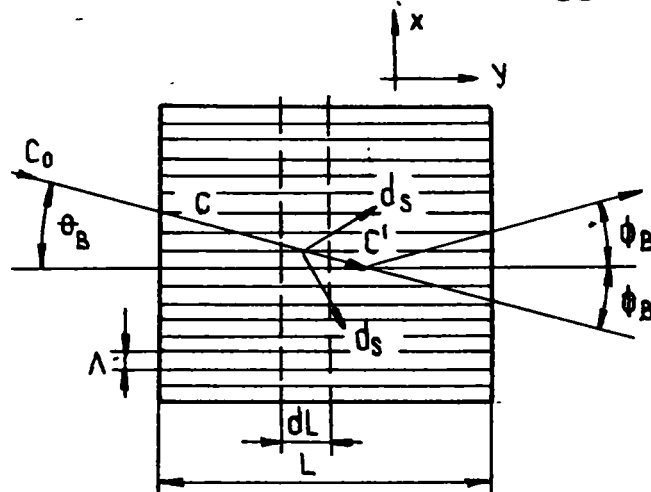


Fig.3 Difracția Bragg dată de o rețea de fază groasă de lungime L

Dacă lungimea L a rețelei nu este suficient de mare să satisfacă (1.6), raza incidentă va fi împrăștiată, dar descrierea fenomenului se complică mult, cu excepția limitei de grosime (adică zero).

Analiza efectului Bragg este mai abordabilă prin trecerea la diferențiere. În acest sens se împarte rețeaua într-un șir de subrețele de lățime dL , fiecare producând o deplasare de fază de amplitudine care variază în direcția x ca $\sin 2\pi x / \Lambda$ (Fig.3). Amplitudinea complexă c , a luminii incidente este modificată după trecerea prin rețeaua fină cu:

$$c \cdot e^{i \cdot d\psi \cdot \sin(2\pi x / \Lambda)} \approx c(1 + i \cdot d\psi \cdot \sin 2\pi x / \Lambda) = c + \frac{c}{2} \cdot d\psi \cdot e^{i \cdot 2\pi x / \Lambda} - \frac{c}{2} \cdot d\psi \cdot e^{-i \cdot 2\pi x / \Lambda} \quad (1.7)$$

Ultimii doi termeni din partea dreaptă a ecuației sînt benzile laterale superioare și inferioare, care diverg de la purtătoarea c datorită componentei frecvenței spațiale $1/\Lambda$ în direcția x . Numai componenta superioară interferă constructiv cu cele emanate de subrețele adiacente [9]. Acesta este efectul Bragg. Componentele inferioare se elimină prin interferența destructivă. Din (1.7) amplitudinea componentei persistente este:

$$ds = \frac{c}{2} \cdot d\varphi \quad (1.8)$$

iar rata de creștere cu distanța, devine:

$$\frac{ds}{dL} = \frac{c}{2} \cdot \frac{d\varphi}{dL} \quad (1.9)$$

Legea conservării energiei cere ca intensitatea razei incidente să fie egală cu cea a purtătoarei și a benzilor laterale:

$$c_0^2 = c^2 + s^2 \quad (1.10)$$

care prin diferențiere:

$$\frac{dc}{dL} = -\frac{1}{2} \cdot s \cdot \frac{d\varphi}{dL} \quad (1.11)$$

Ecuatiile (1.9) și (1.11) au soluția simplă:

$$s = c_0 \sin \frac{\Delta\varphi}{2}$$

$$c = c_0 \cos \frac{\Delta\varphi}{2} \quad (1.12)$$

unde $\Delta\varphi$ este modificarea de fază pe întreaga grosime a rețelei.

[$\Delta\varphi = (d\varphi/dL) \cdot L$] De aici intensitatea relativă a luminii imprăștiată în banda laterală:

$$\frac{I}{I_0} = \frac{s^2}{c_0^2} = \sin^2 \frac{\Delta\varphi}{2} \quad (1.13)$$

Pasul final este de a lega $\Delta\varphi$ de puterea acustică incidentă pe mediu și factori geometrice. Defazajul poate fi exprimat în termenii diferenței de indice de refracție Δn văzută de o rază care lovește linia rețelei față de cea care lovește între linii:

$$\Delta\varphi = \frac{2\pi}{\lambda} (\text{diferența de drum optic}) = \frac{2\pi}{\lambda} (L \cdot \Delta n) \quad (1.14)$$

Dacă presupunem că mediul este izotrop, pentru a evita notația tensorială, Δn este definită în termenii constantei fotoelastice p și a amplitudinii deformării s :

$$\Delta \left(\frac{1}{n^2} \right) = ps$$

sau:

$$\Delta n = \frac{1}{2} \rho s n^3 \quad (1.15)$$

s poate fi legat de puterea acustică excitantă.

Densitatea de energie într-un mediu tensionat este $\frac{1}{2} s^2 c$, unde c este constanta elastică, care este egală cu ρv^2 . Puterea în unda ultrasonoră este produsul ariei frontului de unda HL, viteza sunetului v și densitatea de energie:

$$P_{ac} = (HL)v \left(\frac{1}{2} \cdot s^2 \cdot \rho \cdot v^2 \right) \quad (1.16)$$

de unde:

$$s = \sqrt{\frac{2 \cdot P_{ac}}{H \cdot L \cdot \rho \cdot v^3}} \quad (1.17)$$

introdusă în (1.15):

$$\Delta \varphi = \pi \sqrt{\frac{2}{\lambda^2} \left(\frac{L}{H} \right) \left(\frac{n^6 \cdot \rho^2}{\rho \cdot v^3} \right) \cdot P_{ac}} \quad (1.18)$$

grupările în (1.18) dau definiția factorului de merit acustic:

$$M_2 = \left(\frac{n^6 \cdot \rho^2}{\rho \cdot v^3} \right) \quad (1.19)$$

sau:

$$\Delta \varphi = \pi \sqrt{\frac{2}{\lambda^2} \left(\frac{L}{H} \right) \cdot M_2 \cdot P_{ac}} \quad (1.20)$$

Se observă că dacă crește puterea acustică P_{ac} , crește $\Delta \varphi$ și că, în principiu, orice fracțiune din lumina incidentă, până la 100% poate fi deflecată. De exemplu, pentru cazul practic de deflexie a unei raze He - Ne ($0,63 \mu$) cu 70%, puterea acustică necesară este:

$$P_{oc(watt)} = 54 \left(\frac{H}{L} \right) \frac{1}{M_2(\text{relativ la cuarț})} \quad (1.21)$$

În această expresie, factorul de merit s-a raportat la cuarț, material de referință comun (există metode de aflare a lui M_2 relativ la cel al cuarțului [10]).

Astfel, dacă cuarțul este luat drept mediu acustic și se alege $H/L = 1$, rezultă ca sint necesari 54 Watt de putere acustică pentru o deflexie a luminii cu 70%. Dacă ne referim la factorul de merit acustic (1.19):

$$M_2 = n^6 p^2 / \rho v^3$$

n este indicele de refracție, p - componenta fotoelastică, ρ - densitatea și v - viteza acustică. Trebuie remarcat că n , p și v sint legate de cantități tensoriale și că variază cu orientarea cristalului. Este recomandată pentru aplicații o tăiere adecvată a cristalului, care optimizează factorul de merit acustic.

In concluzie, efectul acustooptic este o schimbare a indicelui de refracție a unui material dat de deformări mecanice induse prin trecerea unei unde acustice. Deformarea și o dată cu ea, variația indicelui de difracție este periodică cu lungimea de undă egală cu cea a undei acustice.

Modificarea indicelui de refracție este dată de efectul fotoelastic. Mărimea acestei modificări dată de deformări mecanice este descrisă de un tensor de rangul patru - tensorul deformare - optic.

Pentru a calcula schimbarea indicelui de refracție asociat cu o unda acustică, se află deformarea produsă de unda acustică, iar apoi se utilizează tensorul deformare - optic pentru a găsi modificările de indice de refracție.

Proprietățile mecanice ale unui cristal, in general, sint descrise de un tensor de ordinul 2 care leagă tensiunile (T) (acustice, de ex.) de deformare (S). Natura propagării unei unde acustice este guvernată de proprietățile mecanice. In cel mai general caz, unda acustică se propagă ca o combinație de unde longitudinale și transversale in alte direcții decit în cea lansată. Așa cum am amintit, in materialele folosite in aplicații, există suficiente simetrii pentru a reduce numărul componentelor tensorului, astfel incit, printr-o selectare corespunzătoare a direcției undei acustice și alegerea unei unde longitudinale sau transversale, să se obțină fronturi de undă simple [11], care să permită controlul din punct de vedere aplicativ al fenomenului.

Mai trebuie punctate și fenomenele de modulație in amplitudine ale luminii difractate (funcție de puterea acustică) cit și

deplasarea acustică de frecvență [7] care indică din punct de vedere tehnic exploatarea lor atât ca defletoare cit și ca modulatori, diferența implicând mari deosebiri în acuratețea montajelor practice [12] .

Consider însă, că, pentru subiectul tezei, defletoarele trebuie studiate și ca modulatori pentru a putea extrage banda de frecvențe și stabilitatea în amplitudine a montajului electronic folosit, având în vedere dificultățile de realizare a electronicii aferente pentru frecvențe și puteri ridicate (în jur de 50 MHz, 50 W).

CAPITOLUL 2
PROPAGAREA LUMINII SI A SUNETULUI IN MEDII
CRISTALINE

2.1 Propagarea luminii in medii cristaline

2.1.1 Lumina ca un ansamblu de fotoni

Studiul cel mai consecvent al fenomenelor optice se bazează pe teoria cuantică, după care lumina reprezintă un flux de fotoni [13].

Dacă $N_{\bar{k}\alpha}$ este numărul de fotoni in starea $\bar{k}\alpha$ in unitatea de volum a cimpului, energia unui cimp luminos devine suma energiilor fotonilor care populează cimpul:

$$\rho = \sum_{\alpha=1}^2 \sum_{\bar{k}} \hbar \cdot \omega \cdot N_{\bar{k}\alpha} \quad (2.1.1)$$

O relație analoagă poate fi scrisă pentru impulsul total \bar{P} pe volumul unitar de cimp:

$$\bar{P} = \bar{S}/c^2 = \sum_{\alpha=1}^2 \sum_{\bar{k}} \hbar \cdot \bar{k} \cdot N_{\bar{k}\alpha} \quad (2.1.2)$$

Impulsul cimpului luminos este egal cu suma impulsurilor fotonilor. In relațiile (2.1.1) si (2.1.2) nu trebuie uitat că $N_{\bar{k}\alpha}$ nu poate fi localizat in spațiu decit pe o distanță λ .

Descrierea cuantică a luminii cu ajutorul fotonilor inlocuiește imaginea clasică a unei luminoase, care devine un caz particular.

Pentru a trece de la descrierea corpusculară la unde luminoase, trebuie satisfăcută condiția de descriere clasică:

$$N_{\bar{k}\alpha} \gg 1 \quad (2.1.3)$$

Cu alte cuvinte, dacă numărul fotonilor ce se găsesc in aceeași stare este suficient de mare, se poate neglija structura cuantică a cimpului luminos și se poate opera cu unde luminoase. Caracterul

de "bosoni" al fotonilor permite realizarea condiției (2.1.3).

Observăm că reprezentarea razei sub formă de ansamblu de fotoni în starea \bar{k}_α corespunde, în descrierea clasică, cu descompunerea undelor luminoase în unde plane. La fiecare undă plană, caracterizată printr-un vector de undă \bar{k} și printr-o polarizare, corespund $N_{\bar{k}_\alpha}$ fotoni cu impulsuri $\hbar \bar{k}$ și o polarizare α .

Dacă se consideră [13 pag.35] că numărul de oscilatori ai câmpului în unitatea de volum este $(\omega/c)^3$ și energia, în același volum este de ordinul de mărime E^2 , rezultă energia pe un oscilator $[E^2 : (\omega/c)^3]$

Divizând în continuare cu $\hbar \omega$, rezultă numărul de fotoni:

$$N \approx E^2 (c/\omega)^3 / \hbar \omega$$

Condiția $N_{\bar{k}_\alpha} \gg 1$ se poate scrie sub forma:

$$E^2 \gg \hbar \omega (\omega/c)^3 \quad (2.1.4)$$

adică condiția de descriere clasică devine dificilă atunci când intensitatea de câmp \bar{E} scade sau când ω crește.

În domeniul optic condiția se poate realiza greu sau de loc. De exemplu, la o rază laser He-Ne ($\lambda = 0.63 \mu$), $\sqrt{\hbar \omega (\omega/c)^3} \approx 18 \text{ V/m}$

Condiția de descriere clasică cere ca intensitatea de câmp luminos să fie mult superioară lui 18 V/m. Ori câmpurile realizate de laserele actuale sunt mult superioare, ceea ce consolidează descrierea multor fenomene prin optica ondulatorie.

2.1.2 Propagarea luminii în medii izotrope

Sticla amorfă care poate fi utilizată drept mediu de trecere a luminii pentru deflector acustooptic, se poate considera mediu izotrop [14] (moleculele de cuarț sunt anizotrope dar au orientări haotice într-un volum proporțional cu λ^3).

În aceste medii ϵ și μ sunt scalari. Dacă alegem direcția de propagare axa z , iar unda plană uniformă în planul x, y , ecuațiile lui Maxwell duc la [15]:

$$\frac{\partial^2 \mathcal{E}_x}{\partial z^2} = \epsilon \mu \frac{\partial^2 \mathcal{E}_x}{\partial t^2} \quad (2.1.5)$$

cu soluție de formă complexă

$$\xi_x^\pm = E_x^\pm \cdot e^{i(\omega t \mp kz)} \quad (2.1.6)$$

amplitudinea cimpului complex in z.

Aceeași amplitudine este obținută la:

$$\omega t - kz = \text{constant}$$

care, prin diferențiere:

$$\frac{dz}{dt} = \frac{\omega}{k} = c \quad \text{viteza de fază a undei}$$

cu (2.1.6) in (2.1.5) se obține:

$$c = \frac{\omega}{k} = \frac{1}{\sqrt{\epsilon\mu}}$$

in vid

$$c_0 = \frac{1}{\sqrt{\epsilon_0\mu_0}} = 3 \cdot 10^8 \text{ m/s}$$

iar in material:

$$c = \frac{c_0}{n} \quad \text{unde } n = \sqrt{\epsilon/\epsilon_0} \quad \text{indicele de refracție.}$$

(2.1.6) se mai poate scrie:

$$\xi_x(z,t) = E_x^+ \cdot e^{i(\omega t - k \cdot z)} + E_x^- \cdot e^{i(\omega t + kz)} \quad (2.1.7)$$

prin superpoziția celor două unde.

2.1.3 Propagarea luminii in medii cristaline

In mediile izotrope polarizarea indusă este paralelă cu cimpul electric, dependența de cimpul electric fiind scalară (ca factor).

Deoarece cristalele [16] sint constituite din pachete periodice de electroni (sau ioni) polarizarea va depinde, in mărime și direcție, de direcția aplicării cimpului. Relația între \bar{P} și \bar{E} devine:

$$P_x = \epsilon_0 (\chi_{11} E_x + \chi_{12} E_y + \chi_{13} E_z)$$

$$P_y = \epsilon_0 (\chi_{21} E_x + \chi_{22} E_y + \chi_{23} E_z)$$

$$P_z = \epsilon_0 (\chi_{31} E_x + \chi_{32} E_y + \chi_{33} E_z)$$

(2.1.8)

unde literele mari denotă amplitudinile complexe ale cantităților armonice de timp. Tensorul 3×3 în χ_{ij} este tensorul susceptivitate. Mărimile lui χ_{ij} depind de alegerea axelor x, y, z relativ la structura cristalului. Se pot alege de așa manieră încît elementele nedispuse în diagonală să fie zero:

$$P_x = \epsilon_0 \chi_{11} E_x$$

$$P_y = \epsilon_0 \chi_{22} E_y$$

$$P_z = \epsilon_0 \chi_{33} E_z$$

(2.1.9)

Acste direcții sînt axele dielectrice principale ale cristalului. În locul lui (2.1.9) se poate descrie răspunsul dielectric al cristalului prin intermediul tensorului permeabilitate ϵ_{ij} , definit de:

$$D_x = \epsilon_{11} E_x$$

$$D_y = \epsilon_{22} E_y$$

$$D_z = \epsilon_{33} E_z \quad (2.1.10)$$

din

$$\bar{D} = \epsilon_0 \bar{E} + \bar{P}$$

avem

$$\epsilon_{11} = \epsilon_0 (1 + \chi_{11})$$

$$\epsilon_{22} = \epsilon_0 (1 + \chi_{22})$$

$$\epsilon_{33} = \epsilon_0 (1 + \chi_{33}) \quad (2.1.11)$$

O descriere completă a propagării după diverse direcții într-un cristal este dată în [17].

2.1.4 Fenomene la intrare și la ieșire din cristal

La suprafața de separație dintre aer și cristal au loc fenomene complexe, ca reflexia și refracția.

La incidența unei unde plane monocromatice, la suprafața cristalului apare o undă reflectată în aer și două unde refractate în cristal [18].

Amplitudinile, direcțiile de vibrație și fazele undelor reflectate și refractate, funcție de unda incidentă, se determină din condițiile de continuitate ale componentelor tangențiale ale cimpurilor \vec{E} și \vec{H} și ale vectorilor de undă [1, p.36].

În aplicațiile care ne interesează, incidența este aproape normală (unghiul Bragg este de ordinul gradelor). Pentru a studia acest caz, se poate alege un sistem de coordonate $\alpha; \beta; \gamma$ [17] cu una din axe γ , după vectorul de undă, iar cu celelalte două după direcțiile de vibrație ale lui \vec{D} în cristal.

Dacă se notează cu i, r , mărimile corespunzătoare undelor incidente și reflectate, iar cele două unde refractate le vom deosebi prin indicii ' și '', pentru o undă plană ($\vec{H} = \frac{1}{\omega\mu_0} \vec{k} \times \vec{E}$) ce se propagă în aer, putem scrie:

$$\begin{aligned}k_{\gamma}^i &= -k_{\gamma}^r \\E_{\alpha}^r &= -E_{\alpha}^i \frac{k_{\gamma}^i - k_{\gamma}^r}{k_{\gamma}^i + k_{\gamma}^r} \\E_{\beta}^r &= -E_{\beta}^i \frac{k_{\gamma}^i - k_{\gamma}^r}{k_{\gamma}^i + k_{\gamma}^r} \\E_{\alpha}^i &= E_{\alpha}^i \frac{2k_{\gamma}^i}{k_{\gamma}^i + k_{\gamma}^r} \\E_{\beta}^i &= E_{\beta}^i \frac{2k_{\gamma}^i}{k_{\gamma}^i + k_{\gamma}^r} \\tg \varphi_c &= \frac{E_{\beta}^i}{E_{\alpha}^i} = tg \varphi_i \frac{k_{\gamma}^i + k_{\gamma}^r}{k_{\gamma}^i + k_{\gamma}^r}\end{aligned}$$

(2.1.12)

unde φ_c - unghiul dintre axa α și direcția cimpului electric în cristal, iar φ_i unghiul cimpului incident.

Relația (2.1.12) arată o rotire a planului de vibrație al luminii cu atât mai mare cu cât diferența dintre vectorii de undă ai celor două unde din cristal este mai mare.

La ieșirea din cristal, apar două unde reflectate și una refractată. Aplicând condițiile de continuitate, obținem în final:

$$E_\alpha = \frac{4k_y^i \cdot k_y^r}{(k_y^i + k_y^r)^2} \cdot E_\alpha^i = \frac{4n_o \cdot n_\alpha}{(n_o + n_\alpha)^2} E_\alpha^i$$

$$E_\beta = \frac{4k_y^i \cdot k_y^r}{(k_y^i + k_y^r)^2} \cdot E_\beta^i = \frac{4n_o \cdot n_\beta}{(n_o + n_\beta)^2} E_\beta^i \quad (2.1.13)$$

Cele două componente au fost calculate funcție de cimpul incident, mediul fiind considerat transparent, amplitudinile modificându-se la trecerea prin cristal. Acestea au rezultat din propagarea prin cristal a două unde cu viteze diferite, deci prezintă o diferență de fază $\delta = \omega (t' - t'')$ unde t' și t'' sint timpii în care cele două unde străbat cristalul.

Notind cu l lungimea cristalului, diferența de fază devine:

$$\delta = \omega (t' - t'') = \frac{\omega}{c} l (n' - n'') = \frac{2\pi}{\lambda_o} l (n_\alpha - n_\beta) \quad (2.1.14)$$

Ca urmare lumina, liniar polarizată la intrarea în cristal, devine eliptic polarizată la ieșirea din acesta.

2.1.5 Straturi antireflex

Acestea se impun ori de câte ori este necesară obținerea unei divergențe minime a fasciculului sau pentru diminuarea pierderilor de energie.

Reflexiile la suprafață depind de diferența indicelui de refracție aer - cristal (de cuarț în cazul nostru). Pentru lumina

vizibilă acesta sint aproximativ ca diferența între 1,0 și 1,5 și sint de cca.4%. Prin selectarea unui material cu indice de refracție care se află între cele două valori (aproape de media geometrică) și aplicind o depunere de aproximativ de $1/4 \lambda$, se poate reduce semnificativ reflexia. Florura de magneziu (MgF_2), o substanță durabilă, cu un indice de refracție, pentru film subțire de 1,38 la 550 nm, este cel mai utilizat material pentru acoperiri antireflex, într-un singur strat [19].

În loc de reflexie la suprafața aer - cuarț, apare o primă reflexie la interfața aer - MgF_2 urmată de o a doua la interfața MgF_2 - cristal. Aceste reflexii interferă distructiv rezultind o reflexie minimă în spectrul vizibil, la incidență normală, de 1,5% sau mai puțin. Din principiul conservării energiei, confirmat experimental, trebuie să se obțină o creștere corespunzătoare în transmisia totală a suprafeței acoperite, incluzind ambele suprafețe.

Acoperiri de acest tip sint foarte utilizate pentru aplicații ce necesită spectru larg al luminii transmise [20], în ciuda faptului că idealul teoretic, de reflexie zero, este dat de un film de $1/4 \lambda$ și că indicele de refracție al materialului trebuie să fie exact media geometrică. Dependența reflexiei suprafeței acoperite de unghiul de incidență și lungimea de undă sint date experimental în Fig.4.

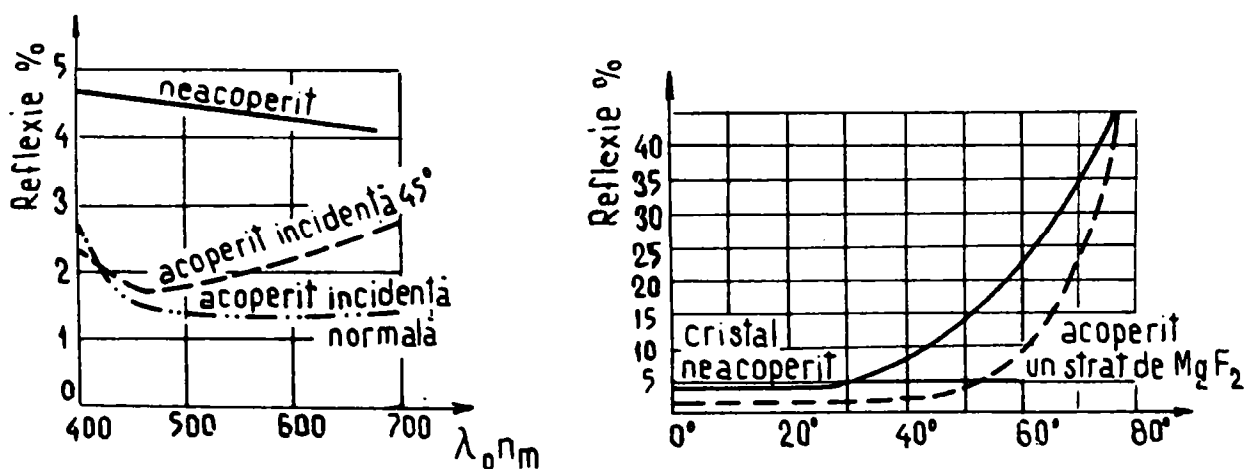


Fig.4 Pierderi prin reflexie de suprafață acoperită cu MgF_2 , funcție de unghiul de incidență și lungimea de undă

Stratul de fluorură de magneziu servește și la protejarea suprafeței prelucrate a cristalului față de poluanți chimici. Utilizând straturi suplimentare și combinând cu alte materiale, reflexiile pot fi reduse drastic.

Filmele antireflex sînt amorfe deoarece procedura de depunere duce la răcirea bruscă a moleculelor dintr-o fază gazoasă la temperatura înaltă de depunere pe cristal (care este rece) în procesul de depunere în vid. Proceduri moderne de depunere, ca de exemplu în câmp de radiofrecvență (13,65 MHz) [21] duc la creșteri calitative însemnate ca: adeziune mai bună, durabilitate mare, controlul grosimii, posibilitatea de depuneri multiple, densitatea de impachetare mare, controlul structurii materialului, etc.

Pentru utilizări optice, filmul se consideră perfect omogen. Indicele de refracție al MgF_2 , indiferent că este amorf sau cristalin este legat de densitate prin formula Lorentz - Lorenz, care pentru starea amorfă devine media indicelui de refracție ordinar și extraordinar pentru cristale. Conform [22] :

$$n_{co} = 1,36957 + \frac{3,5821 \cdot 10^{-3}}{(\lambda - 0,14925)}$$

$$n_{ce} = 1,381 + \frac{3,7415 \cdot 10^{-3}}{(\lambda - 0,14947)}$$

Formula este larg utilizată în intervalul de lungimi de undă de la 0,2 la 1,0 microni.

Pentru starea amorfă

$$n_f = n_f(\lambda) = 1/2 (n_{co} + n_{ce})$$

Formula Lorentz - Lorenz:

$$\frac{n^2 - 1}{n^2 + 2} = k$$

unde k este o constantă și ρ este densitatea. Din această formulă rezultă că indicele pentru starea amorfă, pentru MgF_2 este:

527.479
247

$$n_f = n_f(\lambda) = \sqrt{\frac{1 + 2a_1}{1 - a_1}}$$

unde:

$$a_1 = a_0 b_1 / b_0$$

$$b_1 = \frac{n^2 - 1}{n^2 + 2}$$

$b_0 = b_1$ evaluat la $\lambda = 0,55$ microni

$$n = n_f$$

$$a_0 = \frac{(1,38)^2 - 1}{(1,38)^2 + 2}$$

valoarea 1,38 este recunoscută și acceptată pentru n_f la 0,55 microni. Să notăm că densitatea ρ nu apare explicit sau implicit în n_f . Raportul a_0 / b_0 este raportul între densitatea filmului față de cristalul de MgF_2 , dar s-a determinat din măsurarea indicelui de refracție pentru cele două faze.

Coefficientul total de reflexie pentru o acoperire este:

$$R = \left(\frac{n_0 \cdot n_s - n_f^2}{n_0 \cdot n_s + n_f^2} \right)^2$$

n_0 = indicele aerului

n_s = indicele substratului

indiferent de polarizarea razei incidente.

O tratare matematică riguroasă a acoperirilor cu dielectric este dată în [1, p.51].



Fig.4a Instalația folosită experimental

2.2 Propagarea sunetului in medii cristaline

Studiul proprietăților elastice ale cristalelor anizotrope utilizabile in modulația sau deflexia acustooptică urmărește determinarea direcțiilor de propagare pentru care se asociază moduri pure și cuasipure de oscilație.

In cristale se pot determina anumite direcții pentru care una din cele trei unde elastice are direcția de mișcare a particulei (ionii din rețeaua cristalină) paralelă sau perpendiculară pe direcția de propagare, numită in acest caz direcția pentru unda pură sau modul pur de oscilație [3,p.65] .

Aceste direcții vor fi numite de prima speță cind modul de oscilație pur este longitudinal (mișcarea particulei paralelă cu direcția de propagare), sau de speța a doua cind modul pur este transversal.

Determinarea modurilor pure longitudinale (din prima speță) implică găsirea seturilor complete de cîte trei unde, fiecare undă fiind un mod pur.

Spre deosebire de acest caz, stabilirea modurilor pure transversale (de speța a doua) implică pe lingă găsirea modurilor pure de speța intii și deteminarea unor moduri pur transversale asociate cu perechi formate de cîte un mod cvasilongitudinal și unul cvasitransversal.

Deoarece undele elastice de acelasi tip, care se propagă după direcții echivalente in cristal au aceleași viteze, se va determina numai numărul minim de direcții pentru moduri pure, nelegate prin simetriile cristalului.

Formalismul cel mai general al excitării, propagării undelor elastice in solide se datorește lui Auld [23] și utilizează scrierea simbolică a ecuațiilor cimpului acustic, pe baza analogiei acestora cu ecuațiile lui Maxwell, in vederea extinderii conceptelor si rezultatelor din microunde la studiul dispozitivelor și fenomenelor acustooptice.

Pentru aplicația tezei, generatorul de ultrasunete este un cristal de cuarț, clasa 32, iar mediul de interacțiune este sau cristal de cuarț sau cuarț amorf. Trecerea de la relațiile generale pentru cristale anizotrope la materialele izotrope este

î
simplă.

Condițiile de unde plane, impuse soluțiilor ecuației de mișcare pentru un mediu elastic anizotrop, sint echivalente cu următorul set de ecuații [3,p.66] .

$$\rho v^2 U_m = \lambda_{mn} U_n$$

$$\lambda_{mn} = c_{mrns} N_r N_s$$

in care ρ este densitatea mediului, v - viteza undei, \bar{U} si \bar{N} sint vectorii unitari specificind direcția de polarizare a particulei și respectiv direcția de propagare, iar $c_{mrns} = c_{v\mu}$ sint coeficienții elastici ai materialului.

Modurile pure longitudinale vor fi specificate de ecuațiile:

$$\epsilon_{ijk} N_k \cdot N_e \cdot N_r N_s = 0$$

unde ϵ_{ijk} ia valoarea +1 sau -1, după cum grupul de indici ijk conține o permutare pară sau impară a valorilor numerice pentru fiecare dintre ei ($i, j, k = 1, 2, 3$), fiind zero pentru doi indici din grup egali.

Soluțiile acestei ecuații, funcție de simetria cristalului studiat, au fost obținute prin modelarea pe calculator a ecuațiilor lui Green, care definesc direcția de polarizare a unei unde atunci cind se cunoaște direcția de propagare a acesteia [3, p.63] .

Se obține astfel un set de trei ecuații funcție de constantele elastice și cosinuşii directori ai modurilor pure longitudinale. Metoda se poate extinde și la studiul modurilor cuasipure de propagare cit și cele pure de speța a doua.

Există dezvoltat și conceptul de matrice de impedanță elastică [24] care duce la asemanarea propagării unei sonore cu cea a unui semnal electric pe o linie de transmisie, această analogie rezolvind problema reflexiei unei elastice de pereții cristalului.

CAPITOLUL 3

INTERACȚIUNEA UNDELOR ÎN CRISTALE

3.1 Aspecte calitative

3.1.1 Introducere

În general, interacțiunile între unde într-un cristal au la baza împrăștierea Bragg [25]. Primele explicații ale împrăștierii razelor X în cristale se bazează pe împrăștieri produse de atomi individuali, combinați apoi în lanțuri liniare, plane și apoi atomi tridimensionali. Se poate generaliza această teorie dacă se analizează distribuția de sarcini din cristal, prin serii Fourier, ca funcții sinusoidale de poziții sau de unde plane. Astfel, o reflexie individuală Bragg arată că este produsă de o singură undă plană sau componentă Fourier, metodă mult utilizată în practica studiului cristalelor. Puterea de analiză a metodei iese în evidență mai ales în probleme care nu se referă la împrăștieri date de un cristal perfect, ca de exemplu cea dată de vibrațiile termale ale cristalului.

Caracterul legii lui Bragg este dat de geometria undelor - esențială, când se tratează interacțiunea unei unde cu o undă de alt tip, astfel încât una împrăștie pe cealaltă.

În toate cazurile se pornește cu o undă care trebuie împrăștiată, scrisă drept parte reală a expresiei $e^{i(\omega_0 t - \vec{k}_0 \cdot \vec{r})}$ unde ω_0 - pulsația, \vec{k}_0 - vectorul de propagare, \vec{r} este vectorul cu componente x, y, z. Unda împrăștiată se poate scrie drept parte reală a expresiei $e^{i(\Omega t - \vec{k} \cdot \vec{r})}$. La interacțiuni slabe rezultă că unda împrăștiată va fi reprezentată de partea reală a $e^{i[(\omega_0 \pm \Omega)t - (\vec{k}_0 \pm \vec{k}) \cdot \vec{r}]}$ iar amplitudinea va fi proporțională cu interacțiunea între cele două unde.

În cazul în care Ω nu este zero, astfel încât perturbarea sinusoidală, care produce împrăștierea, este o undă

sonoră progresivă, frecvența unei împrăștiate diferă de unda incidentă. Aceasta se interpretează drept efect Doppler, deoarece reflexia este dată de un set de unde în mișcare și nu staționare (Fig.5).

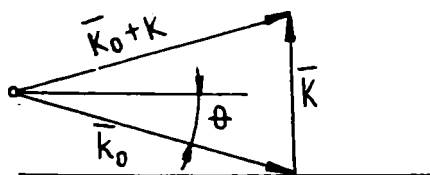


Fig.5 Planul frontului de undă al unei împrăștiate

Astfel, dacă undele împrăștiate se deplasează în sus, în Fig.5, unda împrăștiată poate fi considerată ca emisă de o imagine mișcătoare care se deplasează în sus de două ori mai rapid ca împrăștiatoarea, încât frecvența emisă va apărea mai mare decât frecvența reală. Reamintim că în teoria efectului Doppler se arată că o sursă, care se mișcă cu viteza v , ce emite radiații ale căror frecvență - într-un sistem de referință - în care sursa ar fi staționară, este f_0 duc la o frecvență aparentă, dacă se observă într-o direcție ce face unghiul ϕ cu viteza v egală cu:

$$\omega_D = \omega_0 [1 + (v/c) \cdot \cos \phi]$$

În cazul nostru direcția în care se face observația este $\bar{k}_0 + \bar{k}$ în Fig.5, astfel încât $\cos \phi = \sin \theta$. Viteza undei împrăștiatoare este Ω / K , iar viteza undei împrăștiate este dublul acestei viteze. Viteza luminii, c este $\omega_0 / |\bar{k}_0|$. Introducerea, în relația de mai sus duce la frecvența $\omega_0 + \Omega$ a undei împrăștiate.

Există și o altă interpretare care se poate da proceselor de împrăștiere date de o undă sonoră. Interpretarea cuantică a undei luminoase precizează că radiația constă din fotoni, de energie $h\nu_0 = \hbar\omega_0$, unde $\hbar = h/2\pi$ și impulsul $h/\lambda = \hbar k_0$, unde λ este lungimea de undă. Într-un proces de împrăștiere în care o undă de frecvență ω_0 trece în $\omega_0 + \Omega$, iar k_0 trece în

$\bar{k}_0 + k$, evident că energia crește cu $\hbar\Omega$ și impulsul cu $\hbar k$. În același timp undele sursă sînt cuantificate. Una din cuante, fononul, are energia $\hbar\Omega$ și impulsul $\hbar k$. Interpretarea procesului de împrăștiere dată de mai sus, se poate realiza intrucit un foton de energie $\hbar\omega_0$ și impuls $\hbar k_0$ este distrus și se crează un nou foton de energie $\hbar(\omega_0 + \Omega)$ și impuls $\hbar(k_0 + k)$, astfel conservarea energiei și a impulsului făcîndu-se prin distrugerea unui fonon de energie $\hbar\Omega$ și moment $\hbar k$.

În gama de frecvențe joase, a unei sonore (sub 1 GHz) este necesar a se face distincție între difracția dată de împrăștiere de tip Raman - Nath și cea obținută la unghiul Bragg. În cea de tip Raman - Nath lumina atacă mediul de interacțiune paralel cu fronturile de undă, iar lumina difractată apare în ambele părți ale direcției razei incidente sub forma de linii la spații egale [26,27]. O descriere bogată este dată de Born [1, p.594]. Dacă coloana acustică este suficient de largă (astfel încît produsul lungimii de undă optică λ și lățimea fasciculului acustic L este mai mare decît pătratul lungimii de undă acustică $\lambda L > \lambda^2$ lumina difractată apare într-un singur loc și va fi la maximum cînd lumina este incidentă la unghi Bragg.

Stratificarea mediului de interacțiune, dată de unda sonoră, poate fi staționară sau progresivă în spațiu.

Apreciem, că obținerea unei staționare corecte implică mari dificultăți tehnologice și de aceea în realizarea tezei se abordează undele progresive. Se va scoate în evidență interacțiunea care poate apărea între unde sonore plane și unde electromagnetice plane. Cele două unde sînt cuplate parametric. Pentru aceasta putem spune că indicele de refracție se modifică proporțional cu deformarea produsă de unda acustică. Datorită acestui cuplaj propagarea undei, prin mediul perturbat va prezenta toate particularitățile undelor parametric cuplate, discutate [28].

Interacțiunile pot fi coliniare (unde plane ce se propagă pe aceeași direcție), plane (unde plane ce se intersectează), sau cazul general, în spațiul tridimensional.

3.1.2 Ecuatii parametrice pentru undele coliniare

Undele plane pe care se face studiu, le definim ca unde electromagnetice cu direcție pozitivă sau negativă în prezența unei unde sonore, care se propagă în direcție pozitivă. Pentru simplificare le denumim pozitive și negative.

Dacă mediul este uniform și se neglijează cuplarea între diversele unde, putem scrie pentru cimpul E al unei electromagnetice la frecvența unghiulară ω_1 și pozitivă în direcția z :

$$E_+ = \frac{1}{2} E_1 \cdot e^{i(\omega_1 t - k_1 z)} + \frac{1}{2} E_1^* \cdot e^{-i(\omega_1 t - k_1 z)} \quad (3.1.1)$$

Se alege axa y drept direcția polarizării acestei unde. \bar{k}_1 este vectorul de undă al luminii, egal cu $2\pi/\lambda_1 = 2\pi n/\lambda_0$, unde λ_0 - lungimea de undă în aer și n - indicele de refracție al mediului. În cazul necuplat cu unde neamortizate, n este constant.

Puterea medie este dată de :

$$P_1 = \frac{1}{2} \sqrt{\frac{\epsilon}{\mu}} E_1 \cdot E_1^* \quad (3.1.2)$$

Similar, pentru unda negativă, putem scrie:

$$E_- = \frac{1}{2} E_2 \cdot e^{i(\omega_2 t + k_2 z)} + \frac{1}{2} E_2^* \cdot e^{-i(\omega_2 t + k_2 z)} \quad (3.1.3)$$

De asemenea o considerăm polarizată după axa y . Puterea medie este:

$$P_2 = \frac{1}{2} \sqrt{\frac{\epsilon}{\mu}} \cdot E_2 \cdot E_2^* \quad (3.1.4)$$

Unda sonoră poate fi exprimată în termenii deformării:

$$S = \frac{1}{2} S_1 \cdot e^{i(\Omega \cdot t - k \cdot z)} + \frac{1}{2} S_1^* e^{-i(\Omega \cdot t - k \cdot z)} \quad (3.1.5)$$

care transportă o putere egală cu:

$$P_s = \frac{1}{2} c \cdot v \cdot S_1^* \cdot S_1 \quad (3.1.6)$$

unde se presupune că undele sonore sînt longitudinale și S_1 este constant pentru cazul necuplat.

Aici $v = \Omega / k$, este viteza de fază a unei sonore și C este constanta elastică ce leagă tensiunea acustică de deformarea de-a lungul axei z (într-un mediu izotrop). Nu considerăm undele sonore în direcție negativă, deoarece ele nu se cuplează cu cele în direcția pozitivă, în orice sistem considerat în studiul ce urmează.

Dacă mediul este perturbat periodic de către o undă sonoră cu amplitudine mare, cu frecvență și fază adecvată, vom afla că se cuplează la celelalte două unde. Considerăm cazul de cuplare unda optică pozitivă cu cea negativă. Aceasta poate să apară, dacă o undă sonoră de amplitudine mare este progresivă prin cristal. În acest caz E_1 și E_2 sînt funcțiuni de coordonată z și problema se rezumă la a găsi ecuația diferențială care guvernează această dependență de z . Modelul este ilustrat în Fig.6.

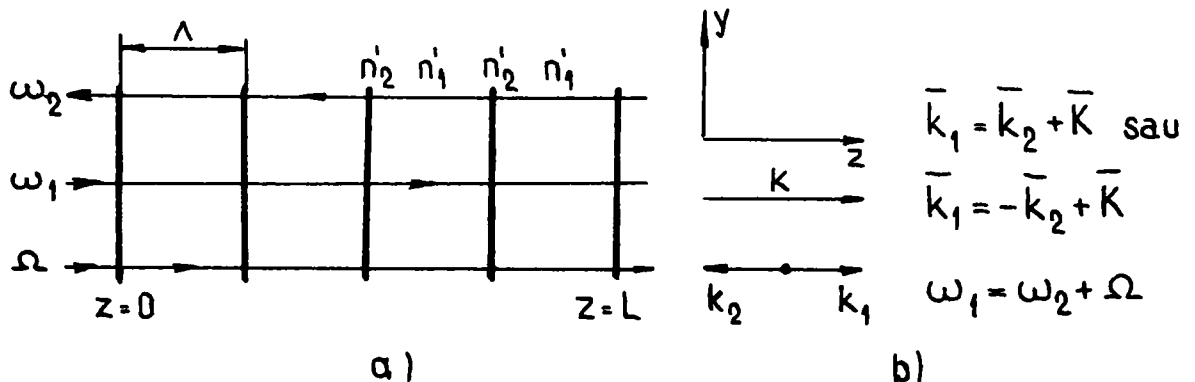


Fig.6

Fie două unde optice la ω_1 și ω_2 propagindu-se în direcții opuse, printr-un mediu stratificat. Stratificarea este reprezentată printr-o schimbare periodică a indicelui de refracție de la $n_2 = n + \Delta n$ la $n_1 = n - \Delta n$

Șchimbarea este arătată discontinuu, dar în mod normal este sinusoidală în practică. Periodicitatea indicelui rezultă din modificarea densității care se asociază cu unde sonore care se propagă în direcția pozitivă z cu pulsația Ω .

Unda negativă este cu pulsația deplasată, datorită efectului Doppler, egală în mărime cu pulsația perturbatoare $\omega_2 = \omega_1 - \Omega$. La deplasarea în direcția opusă, unda negativă va avea frecvența mărită. Într-un sistem cuplat parametric este necesar să fie satisfăcută condiția $k_1 = -k_2 + K$. Deoarece $k_1 \approx k_2$ se poate scrie $K = 2k$, sau $\Lambda = \lambda_1/2$. Aici Λ este lungimea de undă acustică și λ lungimea de undă optică. Cu alte cuvinte, unda optică reflectată este maximă, când perturbarea periodică este la jumătate de lungime de undă.

Pentru demonstrarea cuplării undelor luminoase dată de perturbarea sonoră propun tratarea matematică cu ajutorul ecuațiilor de propagare a cimpului, date de Maxwell. Menționăm că rezultatele finale nu diferă esențial de cele găsite de alți autori [2] nici în cazul undelor coliniare, nici în cel de-al doilea caz al undelor plane.

Scriem variația unei pozitive de-a lungul lui z .

$$\frac{\delta E_+}{\delta z} = -\mu \frac{\delta H_+}{\delta t} \quad \text{și} \quad (3.1.7)$$

$$\frac{\delta H_+}{\delta z} = \frac{\delta \mathcal{E}' E}{\delta t} = \mathcal{E} \frac{\delta}{\delta t} \left(\frac{\mathcal{E}'}{\mathcal{E}} E_+ + \frac{\mathcal{E}'}{\mathcal{E}} E_- \right) \quad (3.1.8)$$

unde \mathcal{E} și μ corespund mediului neperturbat, iar \mathcal{E}' corespunde mediului perturbat. \mathcal{E}' este o dependență liniară de deformare a cristalului în unda sonoră prin intermediul constantei fotoelastice. Se scoate în evidență că o funcție de timp \mathcal{E}' realizează cuplarea celor două unde luminoase (pozitivă și negativă). O scriere cantitativă duce la:

$$\mathcal{E}'/\mathcal{E} = 1 + \Delta\mathcal{E}/\mathcal{E} \quad \text{unde} \quad \Delta\mathcal{E}/\mathcal{E} \ll 1$$

perturbația mică dată de unda acustică.

Pentru a utiliza valoric relația (3.1.8) se face o integrare în timp a relației (3.1.7) de unde va rezulta H_+ , care prin diferențiere, în raport cu z , duce la aflarea lui (3.1.8):

$$H_+ = -\frac{1}{\mu} \int_t \frac{\delta E_+}{\delta z} \cdot dt = -\frac{1}{\mu} \int_t dt \left\{ \frac{1}{2} \cdot \frac{\delta E_1}{\delta z} - \frac{i k_1 E_1}{2} \right\} \cdot e^{i(\omega_1 t - k_1 z)} + c.c.$$

unde lui E_+ i s-a dat valoarea din (3.1.1), iar c.c. semnifică complex conjugata.

Integrarea in timp duce la:

$$H_+ = -\frac{1}{\mu} \cdot \frac{1}{\omega_1} \left\{ \frac{1}{2} \cdot i \cdot \frac{\delta E_1}{\delta z} + \frac{k_1 \cdot E_1}{2} \right\} \cdot e^{i(\omega_1 t - k_1 z)} + c.c.$$

Urmează diferențierea in raport cu z:

$$\begin{aligned} \frac{\delta}{\delta z} \left(\sqrt{\frac{\mu}{\epsilon}} H_+ \right) &= \sqrt{\frac{\mu}{\epsilon}} \cdot \frac{\delta}{\delta z} \left\{ -\frac{1}{\mu \omega_1} \left(\frac{1}{2} \cdot i \cdot \frac{\delta E_1}{\delta z} + \frac{k_1 \cdot E_1}{2} \right) \right\} e^{i(\omega_1 t - k_1 z)} + \\ &= \frac{1}{\sqrt{\epsilon \mu}} \cdot \frac{-1}{\omega_1} \left\{ \frac{1}{2} \cdot i \cdot \frac{\delta^2 E_1}{\delta z^2} + \frac{k_1}{2} \cdot \frac{\delta E_1}{\delta z} + \frac{1}{2} \cdot \frac{k_1 \delta E_1}{\delta z} - i \frac{k_1^2 E_1}{2} \right\} e^{i(\omega_1 t - k_1 z)} + c.c. \\ &= - \left(\frac{1}{2} \cdot i \cdot \frac{1}{k_1} \cdot \frac{\delta^2 E_1}{\delta z^2} + \frac{\delta E_1}{\delta z} - \frac{1}{2} i \cdot k_1 \cdot E_1 \right) e^{i(\omega_1 t - k_1 z)} + c.c. \end{aligned}$$

(3.1.9)

S-a utilizat și relația $\omega_1/k_1 = (\epsilon \mu)^{-1/2}$ care reprezintă viteza unei electromagnetice neperturbate.

Ipoteza unei cuplări slabe ($\Delta \epsilon \ll \epsilon$) permite neglijarea termenului $1/k_1 \cdot \delta^2 E_1 / \delta z^2$ vizavi de $\delta E_1 / \delta z$. Cu alte cuvinte variația in amplitudă a lui E pe o distanță egală cu o lungime de undă este mică. Mai trebuie subliniată și ipoteza că E depinde doar de z , derivata parțială devine in acest mod cea totală. Avem:

;

$$\begin{aligned} & \left(\frac{dE_1}{dz} - \frac{1}{2} \cdot i \cdot k_1 \cdot E_1 \right) e^{i(\omega_1 t - k_1 z)} + c.c. = \\ & = -\varepsilon \sqrt{\frac{\mu}{\varepsilon}} \cdot \frac{\delta}{\delta t} \left(\frac{\varepsilon'}{\varepsilon} E_+ + \frac{\varepsilon'}{\varepsilon} E_- \right) \end{aligned} \quad (3.1.10)$$

Urmind aceeași cale pentru unda negativă, obținem:

$$\begin{aligned} & \left(\frac{dE_2}{dz} + \frac{1}{2} i \cdot k_2 \cdot E_2 \right) e^{i(\omega_2 t + k_2 z)} + c.c. = \\ & = \varepsilon \sqrt{\frac{\mu}{\varepsilon}} \cdot \frac{\delta}{\delta t} \left(\frac{\varepsilon'}{\varepsilon} E_+ + \frac{\varepsilon'}{\varepsilon} E_- \right) \end{aligned} \quad (3.1.11)$$

În cele ce urmează se va determina modificarea relativă a constantei dielectrice $\Delta\varepsilon/\varepsilon$, produsă de unda de compresie aleasă în direcție pozitivă.

Constantele fotoelastice într-un solid sunt descrise de un tensor de rangul patru. Dacă se urmează raționamentul făcut în [16, p.243], atunci impermeabilitatea dielectrică relativă este dată de următoarea expresie:

$$B_{ii} = k_0 \frac{\delta E_i}{\delta D_i}$$

modificările lui B fiind date de matricea piezoptică:

$$\Delta B_m = \rho_{mn} S_n \quad (m, n = 1, 2 \dots 6)$$

Pentru materialele izotrope, modificarea relativă a constantei dielectrice devine:

$$\frac{\Delta\varepsilon}{\varepsilon} = -\frac{\varepsilon}{\varepsilon_0} \rho \cdot s$$

dacă unda sonora este progresivă (3.1.5) avem:

$$\frac{\Delta \varepsilon}{\varepsilon} = -\frac{\varepsilon}{\varepsilon_0} p \cdot \left(\frac{S_1}{2} e^{i(\Omega \cdot t - k \cdot z)} + c.c \right) \quad (3.1.12)$$

După cum am amintit mai sus, cuplarea optimă are loc la:

$$k_1 = -k_2 + k \quad \text{cu} \quad \omega_1 = \omega_2 + \Omega \quad (3.1.13)$$

Inlocuind în partea dreaptă a relației (3.1.10), relațiile de definiție (3.1.1), (3.1.3) și (3.1.12), avem:

$$\begin{aligned} \frac{\varepsilon'}{\varepsilon} (E_+ + E_-) &= \left(1 + \frac{\Delta \varepsilon}{\varepsilon} \right) (E_+ + E_-) = \\ &= E_+ + E_- + \frac{\Delta \varepsilon}{\varepsilon} \cdot E_+ + \frac{\Delta \varepsilon}{\varepsilon} \cdot E_- = \\ &= \left(\frac{1}{2} E_1 - \frac{\varepsilon}{\varepsilon_0} p \frac{S_1}{2} \cdot \frac{E_2}{2} \right) e^{i(\omega_1 t - k_1 z)} + c.c + \text{alți termeni} \end{aligned}$$

Cel de-al doilea termen din paranteză provine din aplicarea condiției (3.1.13) produsului:

$$\begin{aligned} \frac{\Delta \varepsilon}{\varepsilon} \cdot E_- &= -\frac{\varepsilon}{\varepsilon_0} \cdot p \cdot \frac{S_1}{2} \cdot e^{i(\Omega \cdot t - k \cdot z)} \cdot \frac{E_2}{2} \cdot e^{i(\omega_2 t + k_2 z)} + c.c = \\ &= -\frac{\varepsilon}{\varepsilon_0} \cdot p \cdot \frac{S_1}{2} \cdot \frac{E_2}{2} \cdot e^{i[(\Omega + \omega_2)t - (k - k_2)z]} + c.c \end{aligned}$$

S-au explicitat doar termenii care variază ca $e^{i(\omega_1 t - k_1 z)}$
Prin această relație am găsit că, similar cu interacțiunile parametrice, produsul între variația relativă a constantei

dielectrice ($\Delta\epsilon/\epsilon = f(t)$) și unda negativă duce la componente ale cimpului electric ce variază ca $e^{\pm i(\omega_1 t - k_1 z)}$, acesta fiind termenul de cuplare.

Dacă se aplică același tratament matematic undei negative, obținem:

$$\frac{\epsilon'}{\epsilon} (E_+ + E_-) = \left(\frac{E_2}{2} - \frac{\epsilon}{\epsilon_0} \cdot \frac{S_1^*}{2} \cdot \frac{E_1}{2} \right) e^{i(\omega_2 t + k_2 \cdot z)} + \text{alți termeni}$$

Exprimarea funcție de $e^{\pm i(\omega_1 t - k_1 \cdot z)}$, respectiv de $e^{\pm i(\omega_2 t + k_2 z)}$, arată singurii termeni care satisfac ecuațiile pentru toate valorile z și t . Dacă reținem doar acești termeni în (3.1.10) și (3.1.11), termenii exponențialelor din stînga trebuie să se anuleze. Adică trebuie să satisfacă:

$$\frac{dE_1}{dz} = ik_1 \frac{\epsilon}{\epsilon_0} \cdot p \frac{S_1}{2} \cdot \frac{E_2}{2} \quad (3.1.14)$$

$$\frac{dE_2}{dz} = -ik_2 \frac{\epsilon}{\epsilon_0} \cdot p \frac{S_1^*}{2} \cdot \frac{E_1}{2} \quad (3.1.15)$$

și complexe lor conjugate.

Ecuațiile (3.1.14) și (3.1.15) devin astfel ecuațiile de bază ce generează cuplarea a două unde optice într-un mediu transparent, care este perturbat de o undă sonoră puternică.

O primă verificare este dată de condiția de absență a perturbării sonore ($S = 0$) cînd E_1 și E_2 devin constante de z . În prezența undei acustice ambele variază cu z . Dacă considerăm că această variație are o formă exponențială ($e^{\pm \Gamma \cdot z}$) se găsește pentru Γ valoarea dată de soluționarea sistemului de ecuații diferențiale (3.1.14) și (3.1.15).

Se încearcă deci, cu soluții de forma:

$$\begin{cases} E_1 = A e^{\Gamma z} + B e^{-\Gamma z} \\ E_2 = k^* (A e^{\Gamma z} - B e^{-\Gamma z}) \end{cases}$$

Rezultă:

$$\frac{dE_1}{dz} = \frac{\Gamma}{k^*} \cdot E_2 ; \quad \frac{dE_2}{dz} = \Gamma \cdot k^* \cdot E_1$$

Din (3.1.14) și (3.1.15) avem:

$$\frac{\Gamma}{k^*} \cdot E_2 = i \cdot k_1 \frac{\epsilon}{\epsilon_0} \rho \frac{S_1}{2} \cdot \frac{E_2}{2}$$

$$\Gamma \cdot k^* \cdot E_1 = -i k_2 \frac{\epsilon}{\epsilon_0} \rho \frac{S_1^*}{2} \cdot \frac{E_1}{2}$$

Produsul lor duce la:

$$\Gamma^2 \cdot E_1 \cdot E_2 = k_1 \cdot k_2 \left(\frac{\epsilon}{\epsilon_0} \right)^2 \cdot \rho^2 \cdot \frac{S_1 \cdot S_1^*}{4} \cdot \frac{E_1 E_2}{4}$$

De unde obținem Γ :

$$\Gamma = \frac{1}{2} k_1 \left(\frac{\omega_2}{\omega_1} \right)^{1/2} \cdot \frac{\epsilon}{\epsilon_0} \cdot \rho \cdot \left(\frac{P_s}{2c\nu} \right)^{1/2}$$

(3.1.16)

cu observația că:

$$\frac{k_2}{\omega_2} = \frac{k_1}{\omega_1} = \sqrt{\epsilon \mu} \quad - \text{ viteza luminii și că produsul } S_1 \cdot S_1^*$$

este preluat din expresia puterii sonore (3.1.16).

Valoarea lui Γ poate fi introdusă în (3.1.14) și (3.1.15), utilizând și condițiile de margine $E_2(L) = 0$; $E_1(0) = E_1(0)$ (valoarea inițială a cimpului).

Pentru $E_1 = A e^{\Gamma z} + B e^{-\Gamma z}$ din (3.1.14), avem:

$$E_2 = \frac{\Gamma}{ik_1 \frac{\epsilon}{\epsilon_0} \rho \frac{S_1}{4}} (Ae^{\Gamma z} - Be^{-\Gamma z})$$

Pus sub altă formă:

$$E_2 = k^* A e^{\Gamma z} - k^* B e^{-\Gamma z}$$

Pentru condițiile inițiale arătate, avem:

$$E_1(0) = A + B$$

$$E_2(L) = k^* \cdot A \cdot e^{\Gamma L} - k^* B e^{-\Gamma L} = 0 \text{ adică } A e^{\Gamma L} - B e^{-\Gamma L} = 0$$

de unde:

$$A = \frac{E_1(0) \cdot e^{-\Gamma L}}{e^{-\Gamma L} + e^{\Gamma L}} \quad \text{și} \quad B = \frac{E_1(0) \cdot e^{\Gamma L}}{e^{-\Gamma L} + e^{\Gamma L}}$$

Rezultă:

$$\begin{aligned} E_1 &= E_1(0) \frac{(e^{\Gamma(z-L)} + e^{-\Gamma(z-L)})}{e^{-\Gamma L} + e^{\Gamma L}} = \\ &= E_1(0) \frac{\cosh \Gamma(z-L)}{\cosh \Gamma L} \\ E_2 &= \frac{\Gamma \cdot E_1(0)}{i \cdot k_1 \frac{\epsilon}{\epsilon_0} \rho \cdot \frac{S_1}{4}} \cdot \frac{e^{\Gamma(z-L)} - e^{-\Gamma(z-L)}}{e^{\Gamma L} + e^{-\Gamma L}} = \\ &= i E_1(0) \left(\frac{\omega_2}{\omega_1} \right)^{1/2} \cdot \left(\frac{S_1^*}{S_1} \right)^{1/2} \cdot \frac{\sinh \Gamma(z-L)}{\cosh \Gamma L} \end{aligned}$$

(3.1.17)

La intrare pentru $z = 0$ rezultă raportul cimpului electric a celor două unde - pozitivă și negativă:

$$\frac{E_2(0)}{E_1(0)} = i \left(\frac{\omega_2}{\omega_1} \right)^{1/2} \cdot \operatorname{tgh} \Gamma \cdot L \quad (3.1.18)$$

care, pentru valori $\Gamma \cdot L \gg 1$ satisfac relația [29] Manley - Rowe:

$$\frac{P_2}{P_1} = \frac{|E_2|^2}{|E_1|^2} = \frac{\omega_2}{\omega_1} \quad (3.1.19)$$

unde P_1 și P_2 sînt densitățile de putere în unda pozitivă, respectiv negativă (3.1.2; 3.1.4).

Prin demonstrația făcută am găsit că o undă sonoră de frecvență aleasă $\Omega = \omega_1 - \omega_2$, într-un mediu solid transparent, poate fi utilizată pentru conversia luminii care se propagă în direcție pozitivă în lumina care se propagă în direcție negativă (ω_2). Amplitudinile ambelor unde descresc exponențial cu distanța în mediu. Cantitatea maximă de putere care poate fi cuplată, este dată de relația Manley - Rowe (3.1.19).

Rezultatele au fost obținute în două ipoteze simplificatoare. Prima ipoteză se referă la unda acustică care se consideră de amplitudine constantă, deci fără pierderi. La frecvența de lucru aleasă în teză (50 MHz) ipoteza este acoperitoare. Cea de-a doua ipoteză privește frecvența acustică. Într-adevăr, relația (3.1.13) este valabilă pentru o singură valoare a frecvenței. Dacă se modifică Ω , relația de frecvență (3.1.12) rămân valabile deoarece lumina reflectată va fi deviata în frecvență pentru a menține valoarea $\omega_1 - \omega_2$. Însă vectorii k nu se mai adună. La o variație a frecvenței acustice cu o cantitate $\Delta \Omega / \Omega$, vom găsi o deviere echivalentă în vectorul k dată de relația: $\Delta k / k = \Delta \Omega / \Omega$

Relațiile se modifică astfel:

$$\omega_1 - \omega_2 = \Omega$$

$$k_1 + k_2 = k + \Delta k \quad (3.1.20)$$

sau scrise altfel:

$$k_1 = \frac{\Delta k}{2} + k - \frac{\Delta k}{2} = k$$

Relațiile de cimp electric devin:

$$E_+ = \frac{1}{2} E_1 e^{i(\omega_1 t - k_1' z)} + \text{cc}$$

unde $k_1' = k_1 - \Delta k/2$. O expresie similară se obține și pentru unda negativă E_- .

Forma generală, pentru relațiile (3.1.14) și (3.1.15), devine:

$$\begin{aligned} \frac{dE_1}{dz} + i \frac{\Delta k}{2} E_1 &= i k_1 \frac{\epsilon}{\epsilon_0} \rho \frac{S_1}{2} \cdot \frac{E_2}{2} \\ \frac{dE_2}{dz} - i \frac{\Delta k}{2} E_2 &= -i k_2 \frac{\epsilon}{\epsilon_0} \rho \frac{S_1^*}{2} \cdot \frac{E_1}{2} \end{aligned} \quad (3.1.21)$$

La o variație exponențială, ca și în cazul precedent, se găsește, în loc de (3.1.16) (care precizează Γ):

$$\Gamma b = \left[\Gamma^2 - \left(\frac{\Delta k}{2} \right)^2 \right]^{1/2} \quad (3.1.22)$$

Ciștigul parametric descrește cu Δk . Puterea reflectată la $z = 0$ duce la valoarea:

$$\frac{P_2(0)}{P_1(0)} = \left(\frac{\omega_2}{\omega_1} \right) \cdot \frac{\Gamma^2 \cdot \sin^2 \Gamma b \cdot L}{\Gamma b^2 + \Gamma^2 \sin^2 \Gamma b \cdot L}$$

și cu (3.1.22) avem:

$$\frac{P_2(0)}{P_1(0)} = \left(\frac{\omega_2}{\omega_1}\right) \cdot \frac{\sinh^2 \left\{ \Gamma \cdot L \left[1 - \left(\frac{\Delta k}{2\Gamma}\right)^2 \right]^{1/2} \right\}}{1 - \left(\frac{\Delta k}{2\Gamma}\right)^2 + \sinh^2 \left\{ \Gamma \cdot L \left[1 - \left(\frac{\Delta k}{2\Gamma}\right)^2 \right]^{1/2} \right\}}$$

(3.1.23)

Pentru cuplări slabe, adică Γ mic, $\Delta k / 2\Gamma \gg 1$ și (3.1.23) se poate exprima prin relația:

$$\frac{P_2(0)}{P_1(0)} \approx \frac{\omega_2}{\omega_1} \cdot (\Gamma \cdot L)^2 \frac{\sin^2 \frac{\Delta k}{2} L}{\left(\frac{\Delta k}{2} L\right)^2}$$

(3.1.24)

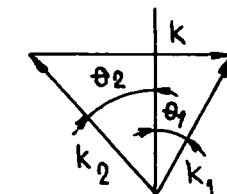
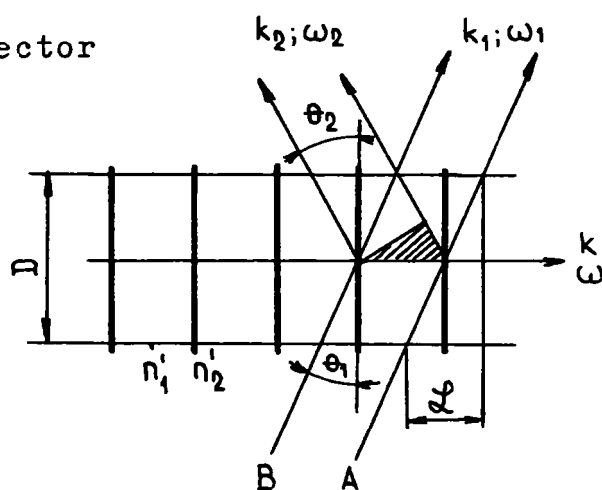
Cu alte cuvinte, lumina difractată are caracterul variației dat de o expresie de tip $\sin^2 x / x^2$ vizavi de modificarea frecvenței acustice. Se mai poate adăuga, că dacă densitatea unei sonore crește, valoarea $\Delta k / \Gamma$ poate fi mică pentru valori mici ale lui Δk și intensitatea luminii difractate nu depinde critic de frecvența acustică. După experimentările făcute se găsește că valoarea lui Γ nu este mare și (3.1.24) se verifică.

3.1.3 Interacțiunea într-un plan a două unde

În paragraful precedent s-a discutat problema convertirii luminii de la o pulsație ω_1 la $\omega_2 = \omega_1 + \Omega$ prin intermediul unei coloane sonore. Undele erau coliniare și am găsit că la $\Lambda = \lambda / 2$ se obține cuplare maximă. Undele luminoase utilizabile sînt în gama $\lambda_0 < 10^{-4}$ cm. Frecvența acustică necesară ar fi în gama superioară a microundelor. De ex. pentru He-Ne în cuarț ar fi nevoie de o frecvență mai mare de 25 GHz.

Această frecvență este dificil de generat cu tehnicile prezente, iar la temperatura camerei atenuarea acustică este foarte mare. Se poate depăși această dificultate trecînd de la interacțiunea coliniară la o incidență cu un unghi Θ_0 , care este aproape normal față de vectorul de undă acustică. Acesta este unghiul Bragg (Fig.7).

Detector



$$\omega_1 = \omega_2 + \Omega$$

$$\bar{k}_1 = \bar{k}_2 + \bar{k}$$

$$b) \quad k_1 \cdot \cos \theta_1 = k_2 \cdot \cos \theta_2$$

$$k_1 \cdot \sin \theta_1 + k_2 \cdot \sin \theta_2 = k$$

$$\mathcal{L} = D \cdot \tan \theta_1$$

a)

$$\theta_1 \approx \theta_2 \equiv \theta_B$$

$$n_1' = n - \Delta n$$

$$n_2' = n + \Delta n$$

\mathcal{L} - lungimea efectivă de interacțiune. Diferența de drum între reflexia razei A și B este construită pe patrulaterul hașurat.

Fig.7

Unda cu ω_1 se propagă la unghiul θ_1 față de axa z și raza optică cu ω_2 se propagă la unghiul θ_2 , vizavi de axa z.

Putem scrie condiția Bragg cu ajutorul Fig.7, dacă presupunem că frontul sonor stă nemișcat (se poate aprecia având în vedere marea diferență de viteze). Notăm cu A raza optică reflectată de cel de-al N-lea front acustic. Raza B este cea reflectată de frontul precedent. Se reglează unghiul de incidență de așa manieră, încît diferența de drum în reflexie să fie $2\Lambda \sin \theta_1 = \lambda$

Dacă această diferență este egală cu lungimea de undă optică λ , cele două raze sînt în fază și se întăresc la o anumită distanță în detector. Relația $2\Lambda \sin \theta_1 = \lambda$ este condiția Bragg pentru reflexie pe planurile staționare; deoarece undele sonore sînt progresive, va exista o deplasare Doppler în frecvență.

În sistemul de coordonate dat în Fig.7, undele se propagă în mediul neperturbat, în forma:

$$E_+ = \frac{E_1(x)}{2} \cdot e^{i \cdot \omega_1 t - i k_1 \cdot x \cdot \sin \theta_1 - i k_1 \cdot z \cdot \cos \theta_1} + c.c. \quad (3.1.25)$$

și

$$E_- = \frac{E_2(x)}{2} \cdot e^{i \omega_2 t + i k_2 \cdot x \cdot \sin \theta_2 - i k_2 \cdot z \cdot \cos \theta_2} + c.c. \quad (3.1.26)$$

Mai trebuie satisfăcute următoarele două condiții:

$$\omega_1 = \omega_2 + \Omega$$

$$k_1 = k_2 + k$$

(3.1.27)

Componente vectoriale ale ultimei ecuații pot fi scrise:

$$k_1 \cdot \sin \theta_1 + k_2 \cdot \sin \theta_2 = k$$

$$k_1 \cdot \cos \theta_1 = k_2 \cdot \cos \theta_2$$

(3.1.28)

Deoarece:

$$\frac{\cos \theta_1}{\cos \theta_2} = \frac{k_2}{k_1} \approx 1$$

unghiul de incidență poate fi luat egal cu cel de reflexie și putem scrie:

$$(k_1 + k_2) \cdot \sin \theta = k \quad (3.1.29)$$

In loc de (3.1.7) avem:

$$\frac{\delta E_+}{\delta x} = -\mu \frac{\delta H_{+z}}{\delta t} \quad (3.1.30a)$$

$$\frac{\delta E_+}{\delta z} = \mu \frac{\delta H_{+x}}{\delta t} \quad (3.1.30b)$$

și in locul lui (3.1.3)

$$\frac{\delta H_{+x}}{\delta z} - \frac{\delta H_{+z}}{\delta x} = \varepsilon \frac{\delta}{\delta t} \left(\frac{\varepsilon'}{\varepsilon} E_+ + \frac{\varepsilon'}{\varepsilon} E_- \right) \quad (3.1.31)$$

Astfel incit (3.1.10) devine:

$$\begin{aligned} & \left(\sin \theta \cdot \frac{dE_1}{dx} - \frac{1}{2} i k_1 \cdot E_1 \right) \cdot e^{i\omega_1 t + i k_1 x \cdot \sin \theta - i k_1 z \cdot \cos \theta} + cc = \\ & = -\varepsilon \sqrt{\mu} \cdot \frac{\delta}{\delta t} \left(\frac{\varepsilon'}{\varepsilon} E_+ + \frac{\varepsilon'}{\varepsilon} E_- \right) \end{aligned} \quad (3.1.32)$$

S-a presupus că E_1 este o funcție numai de x și că are loc o restricție de cuplare slabă $\Delta\varepsilon / \varepsilon \ll 1$. Partea dreaptă poate fi scrisă astfel:

$$\frac{\varepsilon'}{\varepsilon} (E_+ + E_-) = \left(\frac{E_1}{2} - \frac{\varepsilon}{\varepsilon_0} \cdot p \cdot \frac{S_1}{2} \cdot \frac{E_2}{2} \right) \cdot e^{i\omega_1 t - i k_1 x \cdot \sin \theta - i k_1 z \cdot \cos \theta} + cc + etc \quad (3.1.33)$$

Se vede că doar primul termen conține variații corecte în x și t și în loc de (3.1.14) avem:

$$\frac{dE_1}{dx} = i \frac{k_1}{\sin \theta} \cdot \frac{\varepsilon}{\varepsilon_0} \cdot p \cdot \frac{S_1}{2} \cdot \frac{E_2}{2} \quad (3.1.34)$$

similar, pentru E_x putem scrie:

$$\frac{dE_2}{dx} = -i \frac{k_2}{\sin \theta} \cdot \frac{\varepsilon}{\varepsilon} \cdot p \cdot \frac{S_1^*}{2} \cdot \frac{E_1}{2} \quad (3.1.35)$$

Aceasta poate fi identică cu (3.1.14) și (3.1.15) dacă înlocuim k_1 cu $k_1 / \sin \theta$ și k_2 cu $k_2 / \sin \theta$. Putem utiliza prin această identificare, soluțiile date de (3.1.2).

Undele se construiesc ca $e^{\pm \Gamma z}$ și în loc (3.1.16) avem:

$$\Gamma_+ = k_1 \left(\frac{\omega_2}{\omega_1} \right)^{1/2} \cdot \frac{\epsilon}{2\epsilon_0} \cdot \frac{P}{\sin\theta} \cdot \left(\frac{P_s}{2vc} \right)^{1/2} \quad (3.1.36)$$

și în loc de (3.1.18), avem:

$$\frac{E_2(0)}{E_1(0)} = i \left(\frac{\omega_2}{\omega_1} \right)^{1/2} \cdot \operatorname{tgh}(\Gamma \cdot L) \quad (3.1.37)$$

pentru valori mici $\Gamma \cdot L$ obținem:

$$\frac{P_2(0)}{P_1(0)} = \frac{|E_2(0)|^2}{|E_1(0)|^2} \approx (\Gamma \cdot L)^2 \quad (3.1.38)$$

Aici s-au utilizat aproximațiile $\omega_2 \approx \omega_1$ și $\theta_1 \approx \theta_2 \approx \theta$ urmînd a se arăta utilitatea ecuației în interpretarea rezultatelor.

Dacă modificăm frecvența acustică astfel încît K trece în $k + \Delta k$ se poate urmări linia argumentelor dată de cazul coliniar și se determină că (3.1.24) este încă valabilă. Aceasta dă o minimă a variației în intensitate a luminii difractate față de Ω . În particular lumina difractată devine zero la $(\Delta k/2 = \pi)$

Putem face o apreciere calitativă a fenomenului, dacă ne îndepărtăm puțin de la ipotezele de mai sus, menționînd că practic, lungimea interacțiunii luminii cu coloana ultrasonoră, în cadrul tezei, este mică. Putem, în acest caz, aprecia că unda incidentă prezintă la ieșire o atenuare neglijabilă.

În căutarea soluției ecuației de cîmp mai amintim că putem neglija variația lui $\epsilon = \epsilon_0 + \Delta(x, t) \epsilon$ unde $\Delta\epsilon = \epsilon \cdot \cos[\Omega t - (\bar{k} \cdot \bar{r})]$ funcție de timp, vizavi de perioada undei luminoase (se introduc erori de mărime $\Omega/\omega \ll 1$). [29].

Reamintim ecuația de cîmp:

$$\begin{cases} \nabla^2 \bar{E} - \frac{1}{c^2} \cdot \frac{\partial^2 \epsilon \mu E}{\partial t^2} = \operatorname{grad} \cdot \operatorname{div} \cdot \bar{E} \\ \operatorname{div} \epsilon \cdot E = 0 \end{cases} \quad (3.1.39)$$

unde unda incidentă este E_0 și cea difractată E_1 . Introducând în (3.1.39) $\vec{E} = \vec{E}_0 + \vec{E}_1$ și $\epsilon = \epsilon_0 + \Delta\epsilon$ obținem pentru E_1 o ecuație de undă neomogenă a cărei soluție exactă poate fi pusă sub forma integrală de unde sferice intirziate.

Dacă considerăm $\text{grad} \cdot \text{div} \cdot E = 0$, introducem $E = E_0 + E_1$ și obținem:

$$\nabla^2 E_1 - \frac{\epsilon_0^2}{c^2} \cdot \frac{\delta^2 E_1}{\delta t^2} = \frac{2\epsilon_0 \Delta\epsilon}{c^2} \cdot \frac{\delta^2 E_0}{\delta t^2}$$

cu soluția:

$$E_1 = -\frac{\epsilon_0}{2\pi c^3} \int_V \frac{dv \cdot \Delta\epsilon}{r} \left[\frac{\delta^2 E_0}{\delta t^2} \right]_t - \frac{\epsilon_0 \cdot r}{c} \quad (3.1.40)$$

unde r este distanța între elementul de volum dV și punctul de observație. Dacă unda ultrasonoră este progresivă, se obțin soluțiile introducând la o variație a lui E_0 de tip $e^{i[\omega t - (\vec{k} \cdot \vec{r})]}$:

$$E_1 = (E_1)_+ + (E_1)_- \\ (E_1)_\pm = \frac{\epsilon_1}{\epsilon_0} \cdot \frac{k^2}{4\pi} \cdot e^{i(\omega \pm r)t} \int_V \frac{dv}{r} \cdot e^{-i[(\vec{k} \cdot \vec{r}) + (\vec{k} \pm \vec{k}) \cdot \vec{r}]} \quad (3.1.41)$$

unde $(E_1)_\pm$ corespunde la maximul de ordin $+1$, respectiv -1 .

Dacă considerăm unda ultrasonoră în direcția axei x cu vectorul de undă \vec{k} de proiecții:

$$\vec{k} = \left(\frac{2\pi}{\lambda}, 0, 0 \right)$$

și că volumul de interacțiune este un paralelipiped dreptunghic de dimensiuni D , H , L (Fig.8) și că planul de incidență a luminii este (x,z) , obținem:

$$\vec{k} = \left(\frac{2\pi \cdot \sin\theta_1}{\lambda}, 0, \frac{2\pi \cdot \cos\theta_1}{\lambda} \right)$$

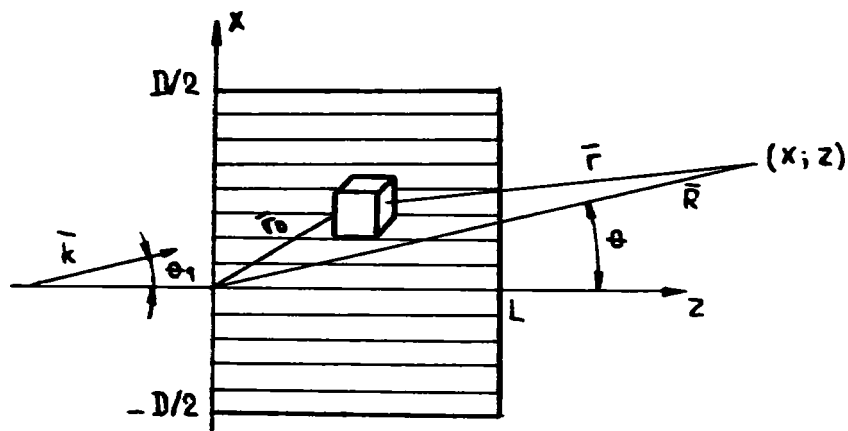


Fig. 3

Fenomenul de difracție este observat în lumina paralelă la distanță mare (Fraunhofer), $R \gg r$, astfel încât în integrala (3.1.41) r se poate pune R la numitor și $R - (\frac{\bar{R}}{R}, \bar{r})$ în expresia fazei. Remarcăm că $D \gg \lambda$, văzută din punctul de incidență $y = 0$, avem:

$$(E_1)_{\pm} = \frac{\epsilon_1}{\epsilon_0} \cdot \frac{k^2}{4\pi} \cdot \frac{DHL}{R} \cdot e^{i[(\omega \pm \Omega)t - k \cdot R]} \cdot \frac{\sin \frac{\pi L}{\lambda} (\cos \theta - \cos \theta_1)}{\frac{\pi L}{\lambda} (\cos \theta - \cos \theta_1)} \cdot \frac{\sin \frac{\pi D}{\lambda} (\sin \theta - \sin \theta_1 \pm \lambda/\Lambda)}{\frac{\pi D}{\lambda} (\sin \theta - \sin \theta_1 \pm \lambda/\Lambda)} \cdot e^{i \frac{\pi L}{\lambda} (\cos \theta - \cos \theta_1)} \quad (3.1.42)$$

unghiul θ determinând direcția de observație.

Soluția a fost obținută pornind de la patru ipoteze:

1) ϵ este mic; 2) fenomenul este cvasistaționar; 3) incidența nu este prea oblică; 4) fenomenul de difracție este de tipul Fraunhofer. Prima ipoteză indică unde ultrasonore slabe, ultimile 3 sunt aproximativ satisfăcute în practică.

La Λ mare, difracția este identică cu cea dată de o rețea periodică la o perioadă Λ . La incidență oblică, dacă Λ scade, se constată o azimetrie de intensități a celor două maxime ± 1 . La scăderea în continuare, distribuția se apropie de cea selectivă Bragg. Propagarea luminii printr-o coloană ultraso-

noră permite observarea tranziției între difracția pe o rețea de două dimensiuni și reflexia selectivă dată de o structură stratificată de 3 dimensiuni.

Formula (3.1.42) ne permite calcularea acestei tranziții cu ajutorul calculatorului. Pentru fenomenele interesate, având loc în regiunea unde θ_1 și θ sunt foarte mici, se poate pune unghiul în loc de sinuși și cosinuși funcție de primii doi termeni ai dezvoltării. Obținem:

$$\frac{\epsilon_1}{\epsilon_0} \cdot \frac{k^2}{4\pi} \cdot \frac{DHL}{R} \cdot \underbrace{\frac{\sin \frac{\pi L}{2\lambda} (\theta^2 - \theta_1^2)}{\frac{\pi \cdot L}{2\lambda}}}_A \cdot \underbrace{\frac{\sin \frac{\pi D}{2\lambda} (\theta - \theta_1 \pm \lambda/\Lambda)}{\frac{\pi D}{\lambda} (\theta - \theta_1 \mp \lambda/\Lambda)}}_{B \pm 1} \quad (3.1.43)$$

Factorul A depinde de L, adică ține cont de volumul interacțiunii. Interacțiunea spectrelor de ordin ± 1 exprimată de factorul B ± 1 depinde esențial, ca la o rețea sinusoidală plană, de gradul de depărtare a maximelor principale ale lui B ± 1 și de Λ . Acestea sunt reprezentate funcție de θ în Fig.12 (dată de calculator).

Maximurile B ± 1 se separă, dacă Λ scade, iar maximurile A se apropie dacă Λ crește. Se poate găsi cazul cind B ± 1 nu găsește maximul lui A în direcția luminii emergente. La un θ convenabil, o superpoziție este posibilă cu maximul lui A, care corespunde cu direcția luminii refractate. θ_1 este unghiul de incidență Bragg. Cele mai mari interacțiuni se obțin pentru spectrele de ordin +1 sau -1, cind $\theta_1 \pm \frac{\lambda}{\Lambda} = -\theta_1$, adică la:

$$\theta_1 = \theta_0 = \mp \lambda/2\Lambda$$

Cu cât Λ/L este mai mic, crește unghiul de incidență și reflexiile selective se accentuează.

Să investigăm fenomenul variației intensității luminii difractate funcție de unghiul între lumina incidentă și coloana acustică. Acest unghi poate varia în două feluri. În primul caz modificăm unghiul de incidență a luminii față de cristal (detectorul rămânând fix). Este evident, din Fig.6, că variația unghiului de incidență cu $\Delta\theta$ este echivalentă cu variația lui θ

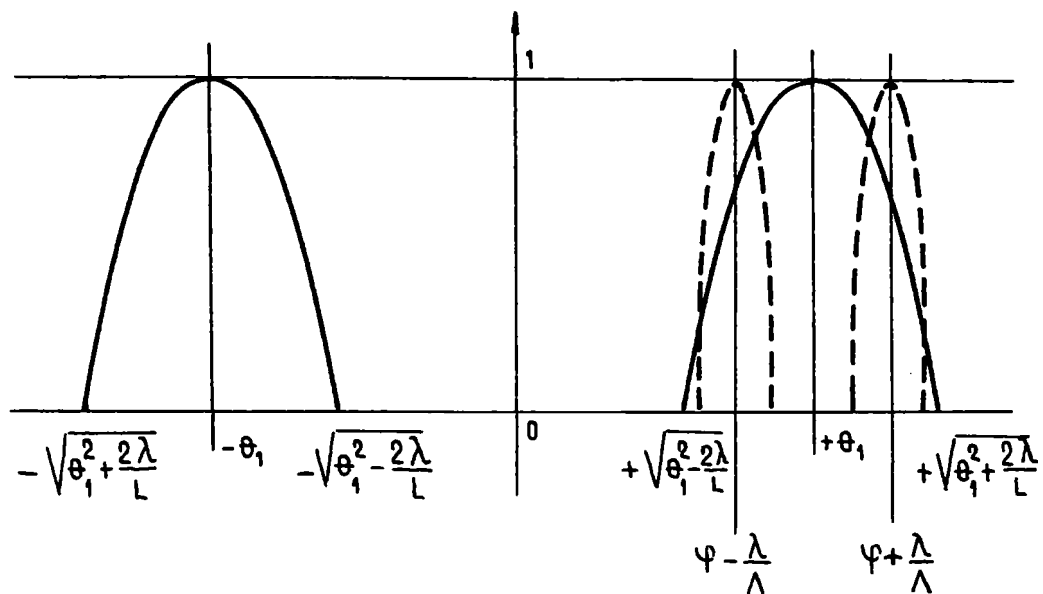


Fig.9

cu cantitatea $\Delta k = k \cdot \Delta \theta / \theta_1$ și de aici analiza precedentă poate fi luată în considerație. Celălalt caz corespunde la rotația cristalului, detectorul rămânând fix.

3.1.4 Figura de difracție vizavi de rotația cristalului

Considerăm intensitatea luminii difractate în funcție de unghiul de incidență θ_i , în timp ce unghiul între raza incidentă și unghiul de observație este menținut constant. Putem modifica θ_i rotind cristalul normal pe axa fascicului acustic. Într-un astfel de experiment θ_i devine $\theta_i + \Delta \theta$ și unghiul de reflexie devine $\theta_2 - \Delta \theta$. Pentru astfel de cazuri relația Bragg devine:

$$k_1 (\theta_1 + \Delta \theta) + k_2 (\theta_2 - \Delta \theta) = k$$

$$k_1 \cdot \theta_1 = k_2 \cdot \theta_2 = k + (k_2 - k_1) \cdot \Delta \theta \approx k$$

Experimentul poate începe cu găsirea maximului difractat. În timp ce se menține unghiul constant între raza incidentă și detector, dacă se rotește cristalul, nu vor fi modificări în intensitatea difractată, deoarece condiția Bragg nu este sensibilă la rotații mici ale coloanei acustice; un ordin de mărime în $\Delta \theta$

duce la al doilea ordin in K . La coloana acustică de lățime finită și lumină foarte largă, putem măsura distribuția față de rotația cristalului.

Această distribuție este de un interes practic, deoarece furnizează informații despre secțiunea transversală a coloanei acustice. Intensitatea luminii, vizavi de unghiul cristalului, măsurată la detector, va fi transformata Fourier a intensității acustice a fasciculului.

3.2 Calculul cantitativ al împrăştierii luminii într-un modulator acustooptic

Teorema Green este considerată din multe puncte de vedere ca o primă bază a teoriei scalare a difracţiei. Cu toate acestea numai o alegere prudentă a funcţiei Green şi a suprafeţei închise S permite o aplicare directă a teoremei la problema difracţiei [30].

Astfel, amplitudinea Ψ_i a luminii împrăştiate se formulează ca o relaţie a funcţiei integrale de volum propuse [4] :

$$\Psi_{i,\Omega}(r) = \iiint \rho \cdot G_{ki}(\bar{R}/\bar{r}_0) \cdot dv_0 \quad (3.2.1)$$

unde

$$G_{ki}(\bar{R}/\bar{r}_0) = \frac{e^{-ik_i(\bar{R}/\bar{r}_0)}}{(\bar{R} - \bar{r}_0)} \quad (3.2.2)$$

corespunde la soluţia unei unde sferice, ce se propagă în exterior (Fig.8) şi ρ , polarizarea de volum la pulsaţia $\omega \pm \Omega$ indusă de unda acustică în prezenţa unei incidente. Soluţia este valabilă în prezenţa unei împrăştieri slabe, deoarece împrăştierile secundare sînt ignorate. Amplitudinea luminii împrăştiate este liniară faţă de amplitudinea acustică.

Dacă lumina incidentă are profil gaussian, distribuţia este descrisă ca:

$$\Psi_i(x_0, y_0, z_0) \approx \Psi_0 e^{-\left\{ \frac{2 \ln 2}{D_0^2} [(-x_0 \cdot \cos \theta_0 + z_0 \cdot \sin \theta_0)^2 + y_0^2] + ik(z_0 \cdot \cos \theta_0 + x_0 \cdot \sin \theta_0) \right\}} \quad (3.2.3)$$

corespunzătoare unei raze incidente sub unghiul θ_0 relativ la axa z_0 în planul x_0, y_0 . Diametrul la jumătate de putere este D_0 . Unda acustică are forma:

$$S = S_0 \cdot e^{-i \cdot k \cdot x_0} \quad (3.2.4)$$

pentru $-\frac{1}{2}H \leq y_0 \leq \frac{1}{2}H$ și $-\frac{1}{2}D \leq z_0 \leq \frac{1}{2}D$ date de dimensiunile de interacțiune în fasciculul sonor. Polarizarea este proporțională cu produsul celor două unde perturbatoare.

$$\rho \sim \Psi_i \cdot S \quad (3.2.5)$$

Alegind un punct de observație r , pe o sferă de rază mare R (Fig.10), integrala devine:

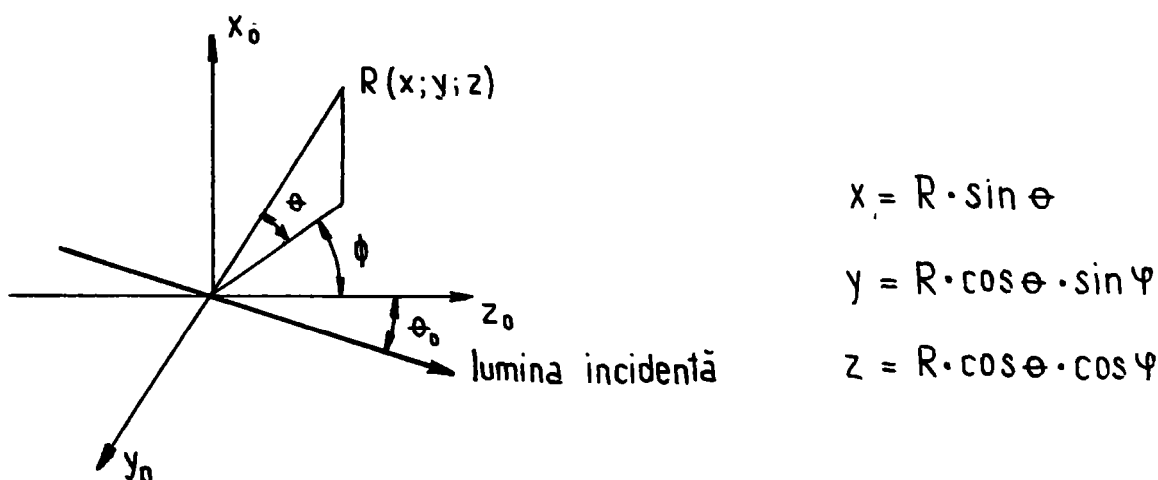


Fig.10 Geometria incidenței luminii

$$\begin{aligned} & \Psi_{i,r}(R \cdot \sin \theta, R \cos \theta \cdot \sin \varphi, R \cdot \cos \theta \cdot \cos \varphi) \approx \\ & \approx \iiint \Psi_i \cdot S \cdot \frac{e^{-ik|R-r_0|}}{|R-r_0|} dv_0 \end{aligned} \quad (3.2.6)$$

Pentru x_0 propunem limitele de integrare $-\infty \leq x_0 \leq \infty$ pentru un fascicul sonor continuu și aproximația următoare:

$$r \approx R - \frac{Xx_0 + Yy_0 + Zz_0}{R} \quad (3.2.7)$$

efectuată din:

$$r^2 = [(X-x_0)^2 + (Y-y_0)^2 + (Z-z_0)^2] = R^2 + r_0^2 - 2Xx_0 - 2Yy_0 - 2Zz_0$$

Observăm $R^2 \gg r_0^2$

Cu aceasta (3.2.2) devine:

$$\frac{e^{-i \cdot k_i |R-r_0|}}{R-r_0} = \frac{e^{-i k_i \cdot R}}{R} \times e^{\frac{i k_i}{R} (X x_0 + Y y_0 + Z z_0)}$$

forma completă a integralei (3.2.6) rezultă:

$$\begin{aligned} \Psi_{i,r} \approx & \int_{-\infty}^{\infty} dx_0 \int_{-H/2}^{H/2} dy_0 \int_{-D/2}^{D/2} dz_0 \cdot \Psi_0 \cdot e^{-\left\{ \frac{2 \ln 2}{D_0^2} [(-x_0 \cdot \cos \theta_0 + z_0 \cdot \sin \theta_0)^2 + y_0^2] + \right.} \\ & \left. + ik(z_0 \cdot \cos \theta_0 + x_0 \cdot \sin \theta_0) \right\} \cdot S_0 \cdot e^{-i \cdot k \cdot x_0} \cdot \frac{e^{-i k_i \cdot R}}{R} \cdot e^{\frac{i k_i \cdot (X x_0 + Y y_0 + Z z_0)}{R}} \end{aligned} \quad (3.2.8)$$

Mai facem observația (Fig.6):

$$\omega_i = \omega \pm \Omega$$

$$k_i = k \pm K$$

și o primă notație:

$$a = \frac{2 \ln 2}{D_0^2}$$

Propunem următoarea tratare matematică: începem integrarea grupind termenii constantei și dezvoltind pătratul:

$$\begin{aligned} \Psi_{i,r} = & \iiint dv_0 \cdot \Psi_0 \cdot e^{-\left\{ a(x_0^2 \cdot \cos^2 \theta_0 + z_0^2 \cdot \sin^2 \theta_0 - 2x_0 \cdot z_0 \cdot \sin \theta_0 \cdot \cos \theta_0 + y_0^2) + \right.} \\ & \left. + ik(x_0 \cdot \sin \theta_0 + z_0 \cdot \cos \theta_0) \right\} \cdot S_0 \cdot e^{-i k x_0} \cdot \frac{e^{-i k_i \cdot R}}{R} \end{aligned}$$

$$e^{i k_i} \cdot \frac{1}{R} \cdot (R \sin \theta \cdot x_0 + R \cos \theta \cdot \sin \varphi \cdot y_0 + R \cdot \cos \theta \cdot \cos \varphi \cdot z_0) =$$

Lr.

∴

$$\begin{aligned}
&= \frac{\Psi_0 \cdot S_0}{R} \cdot e^{(-ik_i R)} \iiint e^{-a(x_0^2 \cdot \cos^2 \theta_0 - 2x_0 \cdot z_0 \cdot \sin \theta_0 \cdot \cos \theta_0) -} \\
&\quad - i x_0 \underbrace{(k - k_i \sin \theta + k \sin \theta_0)}_b - a \cdot z_0^2 \cdot \sin^2 \theta_0 - i z_0 \underbrace{(k \cdot \cos \theta_0 - k_i \cdot \cos \theta \cdot \cos \varphi)}_c - \\
&\quad - a \cdot y_0^2 + i k_i \cdot \cos \theta \cdot \sin \varphi \cdot y_0 \cdot dv_0
\end{aligned}$$

Notăm:

$$b = k - k_i \cdot \sin \theta + k \cdot \sin \theta_0$$

$$c = k \cdot \cos \theta_0 - k_i \cdot \cos \theta \cdot \cos \varphi$$

Se face o primă integrare [31] față de x_0 , prin termenii corespunzători:

$$I_{x_0} = \int_{-\infty}^{\infty} e^{-a \cdot \cos^2 \theta_0 (x_0^2 - 2z_0 \cdot x_0 \cdot \operatorname{tg} \theta_0 + \frac{i \cdot b}{a \cdot \cos^2 \theta_0} \cdot x_0)} \cdot dx_0$$

Formind pătratul:

$$I_{x_0} = \int_{-\infty}^{\infty} e^{-a \cdot \cos^2 \theta_0 (x_0 - z_0 \cdot \operatorname{tg} \theta_0 + \frac{i \cdot b}{2a \cdot \cos^2 \theta_0})^2 + a \cdot \cos^2 \theta_0 (\frac{i \cdot b}{2a \cdot \cos^2 \theta_0} - z_0 \operatorname{tg} \theta_0)^2} \cdot dx_0$$

Se face schimbarea de variabilă:

$$u = \sqrt{a} \cdot \cos \theta_0 (x_0 - z_0 \operatorname{tg} \theta_0 + \frac{i \cdot b}{2a \cdot \cos^2 \theta_0})$$

$$du = \sqrt{a} \cdot \cos \theta_0 \cdot dx_0$$

$$I_{x_0} = e^{\left(-\frac{b^2}{4a \cdot \cos^2 \theta_0} - \frac{a \cdot \cos^2 \theta_0 \cdot 2 \cdot i \cdot b}{2a \cdot \cos^2 \theta_0} \cdot z_0 \operatorname{tg} \theta_0 + z_0^2 \cdot a \cdot \sin^2 \theta_0 \right)} \int_{-\infty}^{\infty} e^{-u^2} \cdot \frac{du}{\sqrt{a} \cdot \cos \theta_0}$$

astfel incit, integrala rămasă este funcția erorilor cu valoarea cunoscută [32] .

$$I_{x_0} = \frac{\sqrt{\pi}}{\sqrt{\beta \cdot \cos \theta_0}} \cdot e^{-\frac{b^2}{4a \cdot \cos^2 \theta_0} - i \cdot b \cdot \operatorname{tg} \theta_0 \cdot z_0 + z_0^2 \cdot a \cdot \sin^2 \theta_0}$$

Deci, după o primă integrare:

$$\Psi_{i,r} = \frac{\psi_0 S_0}{R} \left(e^{-ik_i \cdot R} \right) \cdot \frac{\sqrt{\pi}}{\sqrt{a \cdot \cos \theta_0}} \cdot \left(e^{-\frac{b^2}{4a \cdot \cos^2 \theta_0}} \right) \cdot \int_{-D/2}^{D/2} e^{-iz_0(b \cdot \operatorname{tg} \theta_0 + c)} \cdot dz_0 \int_{-H/2}^{H/2} e^{(-ay_0^2 + ik_i \cdot \cos \theta_0 \cdot \sin \varphi \cdot y_0)} \cdot dy_0$$

Integrarea după y_0 :

$$\begin{aligned} I_{y_0} &= \int_{-H/2}^{H/2} e^{(-ay_0^2 + ik_i \cdot \cos \theta_0 \cdot \sin \varphi \cdot y_0)} \cdot dy_0 = \\ &= \int_{-H/2}^{H/2} e^{-a \left(y_0 - \frac{ik_i}{2a} \cdot \cos \theta_0 \cdot \sin \varphi \right)^2 - \frac{k_i^2}{4a} \cdot \cos^2 \theta_0 \cdot \sin^2 \varphi} \cdot dy_0 = \\ &= \left(e^{-\frac{k_i^2}{4a} \cdot \cos^2 \theta_0 \cdot \sin^2 \varphi} \right) \cdot \int_{-H/2}^{H/2} e^{-a \left(y_0 - \frac{ik_i}{2a} \cdot \cos \theta_0 \cdot \sin \varphi \right)^2} \cdot dz_0 \end{aligned}$$

cu schimbarea de variabilă: $v = \sqrt{a} \cdot \left(y_0 - \frac{ik_i}{2a} \cdot \cos \theta_0 \cdot \sin \varphi \right)$

$dv = \sqrt{a} \cdot dy_0$ și limitele aproximative:

$$-\frac{\sqrt{a} \cdot H}{2} \leq v \leq \frac{\sqrt{a} \cdot H}{2}$$

$$I_{y_0} = e^{-\frac{k_i^2}{4a} \cdot \cos^2 \theta_0 \cdot \sin^2 \varphi} \cdot \frac{\sqrt{\pi}}{\sqrt{a}} \cdot \operatorname{erf} \frac{\sqrt{a} \cdot H}{2}$$

unde s-a notat:

$$\operatorname{erf} \frac{\sqrt{a} \cdot H}{2} = \frac{1}{\sqrt{\pi}} \int_{-\frac{\sqrt{a} \cdot H}{2}}^{\frac{\sqrt{a} \cdot H}{2}} e^{-v^2} \cdot dv$$

Integrala a devenit:

$$\begin{aligned} \Psi_{i,r} = & \frac{\Psi_0 \cdot S_0 \cdot \sqrt{\pi} \cdot \sqrt{\pi}}{R \cdot \sqrt{a} \cdot \sqrt{a} \cdot \cos \theta_0} \left(e^{-ik_i R} \right) \cdot \left(e^{-\frac{b^2}{4a \cdot \cos^2 \theta_0}} \right) \cdot \\ & \cdot \left(e^{-\frac{k_i^2}{4a} \cdot \cos^2 \theta \cdot \sin^2 \varphi} \right) \cdot \left(\operatorname{erf} \frac{\sqrt{a} \cdot H}{2} \right) \int_{-D/2}^{D/2} e^{-iz_0 (b \cdot \operatorname{tg} \theta_0 + c)} \cdot dz_0 \end{aligned}$$

Integrarea pe z_0 este imediată:

$$\begin{aligned} I_{z_0} = & \frac{e^{-iz_0 (b \cdot \operatorname{tg} \theta_0 + c)}}{-i (b \cdot \operatorname{tg} \theta_0 + c)} \Bigg|_{-D/2}^{D/2} = \frac{e^{\frac{iD}{2} (b \cdot \operatorname{tg} \theta_0 + c)} - e^{-\frac{iD}{2} (b \cdot \operatorname{tg} \theta_0 + c)}}{i (b \cdot \operatorname{tg} \theta_0 + c)} = \\ & = \frac{2}{b \cdot \operatorname{tg} \theta_0 + c} \cdot \sin \frac{D}{2} (b \cdot \operatorname{tg} \theta_0 + c) \end{aligned}$$

Deci, în final obținem:

$$\begin{aligned} \Psi_{i,r} = & \frac{\Psi_0 \cdot S_0 \cdot \pi \cdot D}{R \cdot a} \cdot e^{(-ik_i \cdot R)} \cdot \operatorname{erf} \frac{\sqrt{a} \cdot H}{2} \cdot e^{-\left[\frac{b^2}{4a} \cdot \cos^2 \theta_0 + k_i^2 \right.} \\ & \left. (\cos \theta \cdot \sin \varphi)^2 / 4a \right]} \cdot \sin \frac{D}{2} (b \operatorname{tg} \theta_0 + c) / D/2 (b \cdot \operatorname{tg} \theta_0 + c) \end{aligned} \quad (3.2.9)$$

valoare care corectează pe cea dată în [5], utilizată foarte des ca referință.

Puterea instantanee a razei imprăștiată este dată de integrala de suprafață:

$$P_i = R^2 \int_0^{2\pi} d\phi \int_0^{\pi/2} \cos \theta \cdot d\theta |\Psi_{i,\Omega} \cdot e^{i\Omega t}|^2 \quad (3.2.10)$$

Dacă există modulație în frecvență, în cazul unei frecvențe acustice constante, modulul devine:

$$\left| \sum_{\Omega} \psi_{i,\Omega} \cdot e^{i\Omega t} \right|^2$$

Prin integrarea lui (3.2.10) se obține:

$$P_i \approx [|S_0|^2 \cdot D_0 \cdot H] [|\psi_0|^2 / \alpha] [(\operatorname{erf} [\frac{1}{2} \alpha^{1/2} \cdot H])^2 / \frac{1}{2} \alpha^{1/2} \cdot H] \cdot \frac{1}{\pi} \int_{-\infty}^{\infty} dx \cdot e^{-x^2} \cdot (\sin dx)^2 / dx^2$$

(3.2.11)

unde s-a notat:

$$d = (2\alpha)^{1/2} \cdot D \cdot \sin \theta_0$$

Prima paranteză în (3.2.11) corespunde puterii acustice, indiferent de componență; cea de-a doua paranteză corespunde puterii optice, iar cea de-a treia paranteză arată că, pentru o putere acustică dată, există o înălțime optimă a fasciculului sonor, vizavi de cel optic.

Valoarea funcției fiind 1 [32], maximul se obține la:

$$\frac{1}{2} \alpha^{1/2} \cdot H = \left(\frac{1}{2} \ln 2 \right)^{1/2} \cdot H / D_0$$

sau o înălțime a fasciculului sonor cu cca. 70% mai mare decât cel optic, măsurat la jumătatea din putere. Integrala din (3.2.11) este asociată împrăstierii componentei acustice de pulsație Ω_0

Putem simplifica:

intr-adevăr:

$$\frac{1}{\pi} \int_{-\infty}^{\infty} e^{-x^2} \cdot \frac{(\sin dx)^2}{dx^2} = \frac{2}{\pi d} \int_0^{\infty} e^{-x^2} \cdot \frac{(\sin dx)^2}{x^2} dx$$

fiind o funcție pară.

Derivată, ca integrală cu parametru:

$$I'(d) = \frac{2}{\pi d} \int_0^{\infty} e^{-x^2} \cdot \frac{2 \sin(dx) \cdot \cos(dx) \cdot x}{x^2} \cdot dx = \frac{2}{\pi d} \int_0^{\infty} e^{-x^2} \cdot \frac{\sin(2dx)}{x} \cdot dx$$

încă o derivare:

$$I''(d) = \frac{2}{\pi d} \cdot \int_0^{\infty} e^{-x^2} \cos(2dx) dx \quad (3.2.12)$$

Pentru rezolvarea ultimei integrale, folosim artificiul generării funcției cosinus din exponențială, alegind limite complexe. Într-adevăr, considerăm conturul (10a):

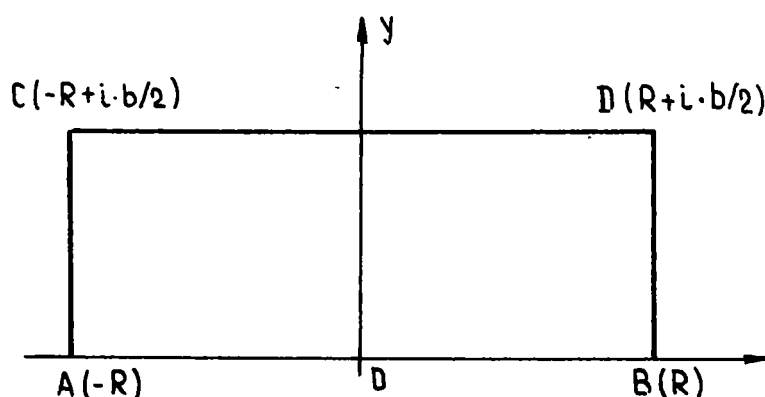


Fig.10a

Pe acest contur se aplică formula lui Cauchy, pentru funcția olomorfă $f(z) = e^{-z^2}$ [32 p.47].

$$\int_{\gamma} e^{-z^2} \cdot dz = 0$$

sau, pe porțiuni:

$$\int_A^B e^{-z^2} \cdot dz + \int_B^C e^{-z^2} \cdot dz + \int_C^D e^{-z^2} \cdot dz + \int_D^A e^{-z^2} \cdot dz = 0 \quad (3.2.13)$$

Luata individual:

$$1. \int_A^B e^{-z^2} \cdot dz = \int_{-R}^R e^{-x^2} \cdot dx$$

pe arcul BD:

$$2. |e^{-z^2}| = |e^{-(R+iy)^2}| = |e^{-R^2-2iRy+y^2}| = e^{-R^2+y^2} \ll e^{-R^2 \cdot \frac{b^2}{4}}$$

deci:

$$\left| \int_B^D e^{-z^2} \cdot dz \right| \ll e^{-R^2 \cdot \frac{b^2}{4}} \cdot \frac{b}{2} \xrightarrow{(R \rightarrow \infty)} 0$$

pe arcul DC avem $y = i \frac{b}{2}$ deci

$$3. \int_D^C e^{-z^2} \cdot dz = \int_R^{-R} e^{-(x+i\frac{b}{2})^2} \cdot dx = \int_R^{-R} e^{-x^2-ixb+\frac{b^2}{4}} \cdot dx = e^{\frac{b^2}{4}} \int_{-R}^R e^{-x} [\cos(xb) + i \cdot \sin(xb)] \cdot dx$$

pe arcul CA:

$$4. |e^{-z^2}| = |e^{-(-R+iy)^2}| = |e^{-R^2+2iRy+y^2}| \leq e^{-R^2 \cdot \frac{b^2}{4}}$$

deci:

$$\left| \int_C^A e^{-z^2} \cdot dz \right| \leq e^{-R^2 \cdot \frac{b^2}{4}} \cdot \frac{b}{2} \xrightarrow{(R \rightarrow \infty)} 0$$

Se inlocuieste in (3.2.13) cu rezultatele obtinute, pentru limita

$R \rightarrow \infty$

$$\int_{-\infty}^{\infty} e^{-x^2} \cdot dx - e^{b^2/4} \cdot \int_{-\infty}^{\infty} e^{-x^2} [\cos(x \cdot b) + i \cdot \sin(x \cdot b)] \cdot dx = 0$$

unde:

(3.2.14)

$$\int_{-\infty}^{\infty} e^{-x^2} \cdot dx = 2 \int_0^{\infty} e^{-x^2} \cdot dx = 2 \frac{\sqrt{\pi}}{2} = \sqrt{\pi}$$

$$\int_{-\infty}^{\infty} e^{-x^2} \cdot \cos(x \cdot b) \cdot dx = 2 \int_0^{\infty} e^{-x^2} \cdot \cos(x \cdot b) \cdot dx$$

asemănătoare cu (3.2.12) și fiind funcție pară, iar:

$$\int_{-\infty}^{\infty} e^{-x^2} \cdot \sin(x \cdot b) \cdot dx = 0 \quad \text{fiind o funcție impară.}$$

Reluind (3.2.14), cu rezultate arătate, obținem:

$$\sqrt{\pi} - 2 \cdot e^{b^2/4} \cdot \int_0^{\infty} e^{-x^2} \cdot \cos(x \cdot b) \cdot dx = 0$$

sau, pentru $b = 2d$:

$$2 \int_0^{\infty} e^{-x^2} \cdot \cos(2dx) \cdot dx = \sqrt{\pi} \cdot e^{-d^2}$$

Cu această valoare, (3.2.12) devine:

$$I''(d) = \frac{2}{\pi d} \cdot \sqrt{\pi} \cdot e^{-d^2} = \frac{2}{\sqrt{\pi} \cdot d} \cdot e^{-d^2}$$

care, prin integrări:

$$I'(d) = \frac{2}{\sqrt{\pi} d} \cdot \int_0^d e^{-s^2} \cdot ds = \frac{1}{d} \operatorname{erf}(d)$$

$$I(d) = \frac{1}{d} \int_0^d \operatorname{erf}(d) \cdot d$$

care tinde monoton către valoarea 1 la valori mari ale lui d .

Pentru:

$$d = (\ln 2)^{1/2} \cdot k \cdot D / k \cdot D_0 \leq 1$$

(3.2.15)

corespunzător unui unghi de divergență a luminii, mai mic ca cel al fasciculului sonor, intensitatea imprăștiatei crește substanțial cu mărirea dimensiunilor fasciculului sonor sau cu micșorarea unghiului de difracție acustic.

Reținem observația drept o concluzie practică deosebit de importantă.

CAPITOLUL 4

STUDIUL UTILIZĂRII PRACTICE

4.1. Definierea modulatorilor, comutatoarelor și deflectorilor optice

Modulatorul optic este un dispozitiv care alterează o proprietate detectabilă a unei luminoase în răspuns la un semnal electric aplicat. Aceasta poate fi intensitatea (amplitudinea), faza, polarizarea și lungimea de undă (frecvența).

Comutatorul optic schimbă poziția spațială a unei unde luminoase coerente în răspuns la un semnal electric. Într-un comutator, o rază limitată într-o suprafață circulară A_1 , centrată într-un punct P_1 , aflată într-un plan perpendicular pe direcția de propagare, este mutată, în răspuns la un semnal electric, într-o a doua suprafață A_2 , centrată în P_2 , aflat într-un plan care este paralel cu primul. Această definiție a comutației implică separație spațială sau unghiulară între raza comutată și cea directă.

Deflexia este o extensie a comutației în care raza este mutată în două sau mai multe locații spațiale.

După cum se va arăta, modulatorii acustooptici pot fi utilizați direct drept comutatoare spațiale.

Performanțele necesare depind de tipul utilizării. Din punct de vedere practic, performanțele se apreciază după cât de bine își îndeplinesc funcțiunea și la ce cost. Acestea se judecă după adâncimea de modulare (sau intensitatea relativă), banda de trecere, puterea de excitație pe unitatea de bandă de trecere la o anumită adâncime de modulare cât și pierderile induse.

4.1.1 Intensitatea relativă sau adâncimea de modulare

Presupunem că fără semnal aplicat modulatorului, lumina care pleacă din modulator și ajunge la detector este măsurată și are intensitatea I_0 . Când se aplică semnalul maxim, se măsoară intensitatea I_m . Intensitatea relativă sau adâncimea de modulare η_m se definește ca:

$$\eta_m = |I_m - I_0| / I_0 \quad \text{pentru } I_m \ll I_0 \quad \text{sau}$$

$$\eta_m = |I_m - I_0| / I_m \quad \text{pentru} \quad I_m \gg I_0 \quad (4.1.1)$$

pentru semnalele intermediare, mai mici decit maximul

$$\eta = |I - I_0| / I_0 \quad I_m \ll I_0$$

$$\eta = |I - I_0| / I_0 \quad I_m \gg I_0$$

(4.1.2)

unde I este intensitatea detectată la nivelul de semnal considerat.

Modulatoarele induc o modificare de fază $\Delta\phi$ direct legată de o modulare a intensității. Pentru modulatoare de interferență ca de exemplu Bragg, relația este :

$$\eta = \sin^2 \frac{\Delta\phi}{2}$$

Se consideră dispozitivul construit in așa fel incit să se obțină $\Delta\phi = \pi/2$ fără semnal. In acest caz, dacă un semnal alternativ, de exemplu, crește $\Delta\phi$ cu un radian, la alternanța pozitivă și descrește cu un radian la alternanța negativă, va rezulta o schimbare in intensitate de 84 %. Pentru cazul general al modulatoarelor in impuls, o modificare a fazei cu doi radiani este deasemenea echivalentă cu 84 %. Ca rezultat, practic s-a convenit compararea modulatoarelor pe baza modulației de 84 % in intensitate sau doi radiani modulația fazei pentru modulatoare de impuls și un radian pentru modulatoare analogice.

Adincimea de modulare trebuie să depășească un anumit prag pentru a îmbunătăți raportul semnal/zgomot.

4.1.2 Puterea de excitare pe unitate de bandă de trecere la intensitatea relativă de 84 %.

Energia specifică.

S-a indicat relația între modificarea de fază și echivalentul in modificarea intensităților. Un alt factor de merit important este, pentru prescurtare denumit energia specifică $P/\Delta f$. Aceasta se definește drept puterea excitată pe unitate de

banda de trecere, pentru a obține o adâncime de modulare de 84 %.

Se denumește convențional banda de trecere drept diferența între două frecvențe, cele mai apropiate, la care modulația echivalentă scade cu 5 % față de valoarea maximă. $P/\Delta f$ se exprimă, uzual, în mW/MHz.

Energia specifică este o expresie a costului puterii necesare plasării de informație în lumină.

Banda de trecere a modulatorului este un important factor de merit. În caz general o mare bandă de trecere este o necesitate, care realizată, permite o mare cantitate de informație să fie plasată în unda luminoasă. În sistemele de comutație convenționale se folosesc benzi de trecere de cca. 10 % față de purtătoare. 10 % din frecvența luminii ne duce la 10^{13} Hz, care este arhisuficient.

Benzi de trecere de cca. 10^{10} Hz sînt necesare azi pentru operații de comutare rapidă, necesară tehnicii de calcul.

4.1.3 Pierderi induse

Dacă lumina ce intră într-un modulator are intensitatea I_{in}

$$L = 1 - I_m / I_m \quad \text{pentru } I_m \geq I_0$$

$$L = 1 - I_0 / I_{in} \quad \text{pentru } I_m \leq I_0 \quad (4.1.4)$$

reprezintă pierderile induse. Exprimat în decibeli:

$$L \text{ (dB)} = 10 \log L$$

Importanța pierderilor nu este de discutat. Trebuie însă punctată utilizarea practică a conceptului. Laserele cu gaz He-Ne au eficiență mică, cca. 10^{-4} , adică pentru 1 mW He-Ne se consumă 10 W energie. Dacă un modulator are o pierdere, de exemplu de 10 dB, atunci este nevoie de 100 W pentru a obține 1 mW de putere modulată la ieșire.

4.1.4 Măsurarea factorilor de merit a comutatoarelor

Cerințele comutatoarelor sint, cu o excepție, aceleași ca și ale modulatorilor. Una din cele mai importante este aceea de a separa bine cele două locații ale luminii. Cea de-a doua este timpul de comutație care poate fi legat de banda de trecere.

$$\tau = 1/2 \pi \Delta f \quad (4.1.5)$$

In multe aplicații ce implică comutatoare, energia specifică este mai puțin importantă decit puterea necesară pentru a menține comutatorul in poziție "conectat". Ultima, pierderile induse sint la fel de importante ca și pentru modulatori.

4.2 Privire generală asupra deflexiei și modulării acustooptice

Perturbarea indicelui optic, dată de unda sonoră, ia naștere grație schimbării locale a densității de material și modificării polarizabilității optice asociate cu deformarea componentelor atomilor și a moleculelor mediului activ acustooptic [4]. Deoarece împrăștierea (difuzia [33]) luminii este fără pierderi sau reactivă, se poate aplica principiul conservării momentului și al energiei. Frecvența undei acustice, în discuție, se asumă a fi suficient de mare, astfel încât lungimea ei de undă este foarte mică în comparație cu dimensiunile secțiunii fasciculului sonor. Drept rezultat, comportarea undei acustice este similară unui fascicul optic coerent și toate concepțiile familiare opticii ca: difracția, focalizarea, etc, sunt aplicabile [23].

Fie vectorul de undă $\vec{k} = \omega/c'$ al unei unde plane, monocromatice (Fig.11), unde ω - pulsația luminii și c' - viteza luminii, neperturbată, în mediul de interacțiune.

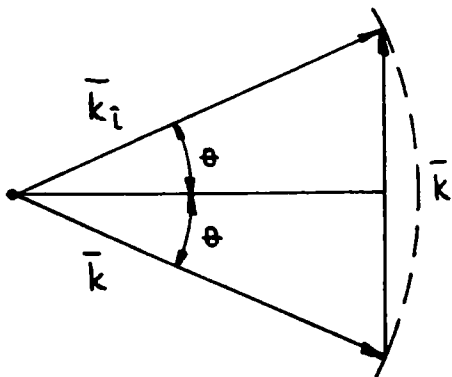


Fig.11

Direcția luminii incidente (de-a lungul lui \vec{k}) este perfect definită deoarece frontul de undă este planar și de lățime infinită. Dacă aceasta este împrăștiată de o undă sonoră plană, de intensitate mică, de pulsație Ω cu vectorul de undă $\vec{K} = \Omega/v$ unde v - viteza acustică, putem scrie relațiile:

$$\omega_i = \omega \pm \Omega$$

$$\vec{k}_i = \vec{k} \pm \vec{K}$$

(4.2.1)

cu "i" se marchează împrăștierea. Deoarece $\Omega < 2\omega v/c' \sim 10^{-5}\omega$ rezultă că $\vec{k}_i = \vec{k} (1 \pm \Omega/\omega)$ diferă puțin de \vec{k} și locul geometric al interacțiunii de împrăștiere (difracția), sau al vectorului de undă, va fi un cerc cu raza k . Unghiul θ , arătat în Fig. 1 se numește unghi Bragg și satisface relația

$$\sin \theta = \frac{1}{2} K/k$$

(4.2.2)

Unghiul împrăștierei este 2θ (față de direcția incidentei). Dacă unghiul incidenței luminii diferă de θ , atunci intensitatea luminii împrăștiată este zero.

În cazul împrăștierei cu unde acustice de lățime finită, ca rezultat al difracției, direcția lui K nu mai este definită perfect ca în cazul Fig. 11 și se poate ilustra ca în Fig. 12.

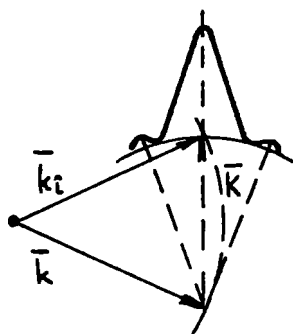


Fig. 12

Pentru acest caz, cu fascicul luminos de lățime mare cu unghi de difracție zero și divergența energiei acustice mai mică decât unghiul Bragg, doar o componentă în direcția K poate contribui la împrăștierea luminii și intensitatea luminii împrăștiată este proporțională cu componenta unei

plane ce se propagă în direcția corectă.

Dacă notăm cu θ_0 unghiul de incidență a luminii, putem aprecia distribuția unghiulară, având în vedere intensitatea luminii ca o funcție de unghiul $\theta_0 - \theta$. Pentru un θ_0 constant și variind θ prin variația frecvenței acustice (4.2.2) intensitatea luminoasă urmărește direct distribuția unghiulară.

Focalizarea fascicului acustic permite o mare flexibilitate în a modifica banda de trecere a împrăștierei Bragg. Acest lucru este important la frecvențe acustice ridicate pentru care unghiurile de difracție sunt mici (ele sunt de ordinul $2\pi / k \cdot d_0$ unde d_0 - lățimea fascicului acustic).

4.2.1 Deflectoare

Cazurile practice invocă fascicule luminoase de lățime finită. Vectorul de undă luminoasă \bar{k} are o divergență $\delta\theta$ (pozitivă sau negativă), iar cel acustic divergența $\delta\theta$ (Fig. 13).

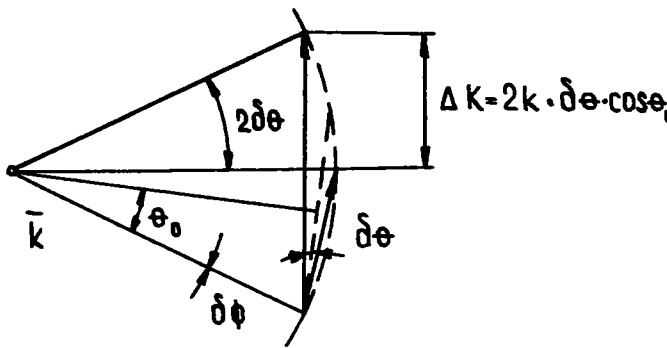


Fig.13

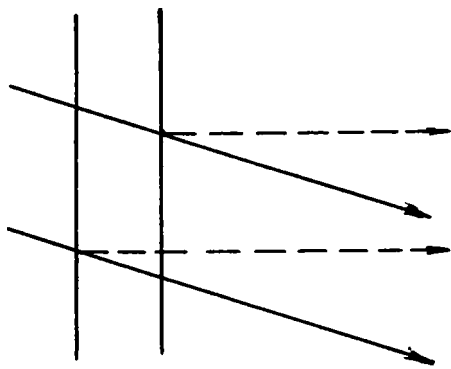


Fig.14

Se poate observa că la o frecvență acustică dată, la care $\theta = \theta_0$ nu este prea mare și cu $\delta\theta \gg \delta\phi$ divergența luminii imprăștiată este aceeași cu cea a luminii incidente.

Din punct de vedere geometric cazul este schițat în Fig.14: un fascicul luminos de lățime mare și un fascicul sonor ascuțit (echivalent cu $\delta\theta \gg \delta\phi$) dau la ieșire o lățime a fasciculului imprăștiat de aceeași lățime cu cel incident, coerența spațială ca și cea temporală se conservă. Dacă se modifică frecvența acustică, se poate vedea că unghiulaze imprăștiate poate varia într-o gamă $2\delta\theta$ și de aici, lumina

imprăștiată poate fi focalizată în

$$N = 2 \cdot \delta\theta / \delta\phi \quad (4.2.3)$$

spoturi independente și cu rezoluție corespunzătoare (care este de fapt criteriul de performanță pentru defletoare).

Din Fig. 13, $\Delta K = 2 \cdot k \delta\theta \cdot \cos \theta_0 = \Delta \Omega / v$.
Notind $\delta\phi = 2\pi / k \cdot d$ unde d este lățimea fasciculului incident sau imprăștiat:

$$N = (\Delta \Omega / 2\pi) d_0 / v \cdot \cos \theta_0 \quad (4.2.4)$$

numărul total de spoturi pentru o bandă de trecere $\Delta \Omega / 2\pi$. Dacă se notează cu $d_0 / v \cdot \cos \theta_0$ timpul de tranzit al undei acustice prin fasciculul luminos τ , $N = (\Delta \Omega / 2\pi) \cdot \tau$. De remarcat că τ^{-1} este viteza de comutație maximă a dispozitivului, timpi mai scurți nefiind obținabili.

Cu o putere acustică suficientă se poate imprăști toată

lumina incidentă, dar numai N^{-1} din puterea acustică este utilizată.

Dacă luăm în considerare celalalt caz limită $\delta\phi \gg \delta\theta$ (Fig.15).

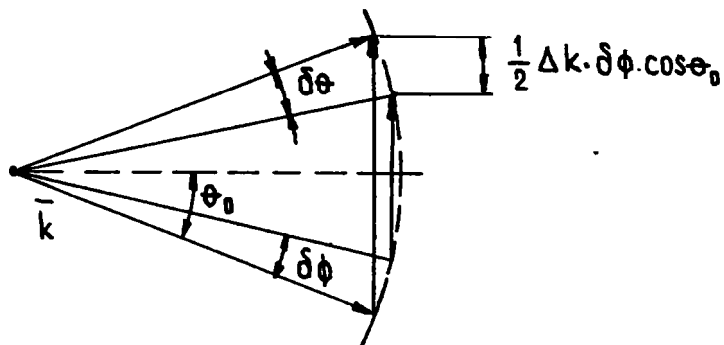


Fig. 15

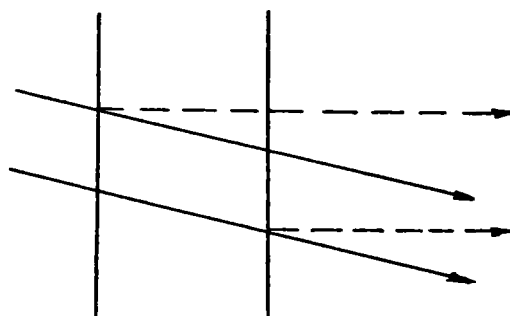


Fig. 16

Notăm că doar o parte din lumina incidentă este împrăștiată și divergența luminii împrăștiată este egală cu cea acustică, adică fasciculul luminos împrăștiat este mult mai larg decât cel incident.

$$N = \frac{1}{2} (\Delta \Omega / 2\pi) d_i / v \cdot \cos \theta_0 \quad (4.2.5)$$

unde d_i - lățimea fasciculului împrăștiat. În cel mai bun caz numai o fracțiune N^{-1} din lumina incidentă poate fi împrăștiată și toată energia acustică este utilizată în procesul de împrăștiere.

Pentru dispozitive de baleiere, divergența permisă a fasciculului acustic este foarte mică în comparație cu unghiul necesar, dacă aceasta se face prin modificarea undei acustice. În particular, toată energia acustică poate fi utilizată în împrăștiere dacă unghiul de divergență al fasciculului sonor este aproximativ egal cu cel al fasciculului luminos.

4.2.2 Modulatoare

În Fig.17 este aratăta configurația de bază în modulatoare acustice de lumină. Convergența fasciculului luminos focalizat se ia aproximativ egală cu cea a fasciculului acustic. Împrăștierea cu energie acustică modulată în amplitudine preia din energia luminii incidente și produce un fascicul împrăștiat modulat în amplitudine.

Pentru a înțelege de ce unghiurile de convergență trebuie

făcute comparabile, se consideră situația în care unda acustică

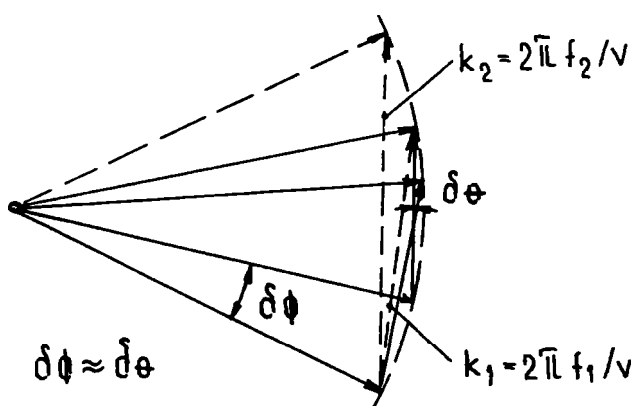


Fig. 17

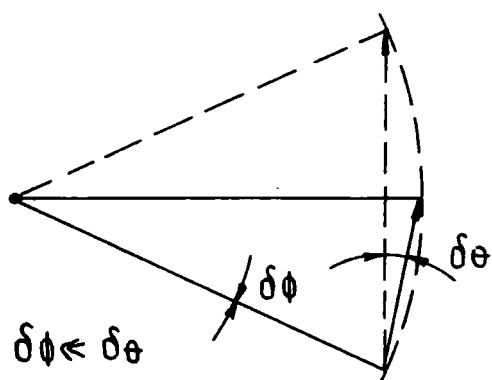


Fig. 18

conține două componente cu frecvență f_1 și f_2 la diferența $f_2 - f_1 = \Delta f = \Delta \Omega / 2\pi$ și o divergență $\delta\theta$ aleasă de așa manieră încât fiecare componentă să imprăștie. Să presupunem că convergența lumii incidente $\delta\phi$ la pulsația ω este mică în comparație cu $\delta\theta$ (Fig. 18).

Lumina imprăștiată, constă din două fascicule, unul cu divergența $\delta\phi$ dar fără suprapuneri de pulsație, una la pulsația $\omega + 2\pi f_1$ și alta la $\omega + 2\pi f_2$.

Nu există bătăi la $f_2 - f_1$ și nu există modulație de putere, deoarece fasciculele nu sunt coliniare.

De aici, frecvența acustică poate fi modificată numai într-o plajă în care fasciculele imprăștiate se suprapun, corespunzător gamei $\delta\phi$, banda de modulare este determinată de $\delta\phi$ și energia acustică în afara lui $\delta\phi$ este pierdută.

În celălalt caz extrem, $\delta\phi \gg \delta\theta$, se pierde multă energie optică. În acest caz unghiul divergenței luminii imprăștiate corespunde lui $\delta\theta$ și cele două modulări de frecvență dau suprapuneri. Banda de modulare este dată de $\delta\theta$ și lumina în afară de $\delta\theta$ se pierde.

Rezultă că configurația optimă corespunde la egalitatea $\delta\theta$ cu $\delta\phi$ (ca în Fig. 17). În aceste circumstanțe banda de modulare este aproximativ jumătate din imprăștierea Bragg în gama $\delta\theta$; valoarea exactă depinzând de detaliile distribuției unghiulare. Din (4.2.2) avem:

$$\frac{\pi \cdot \Delta f}{k \cdot v} = \delta\theta \cdot \cos\theta \text{ luind } \delta\theta \approx \delta\phi \approx 2\pi / k \cdot d_0$$

obținem:

$$\frac{1}{2} \Delta f \approx (v \cdot \cos \theta) / d_0 \quad (4.2.6)$$

adică banda de modulare este aproximativ egală cu reciproca timpului de tranzit.

4.3 Modulatoare - defletoare acustooptice de volum

După cum s-a arătat în Capitolul 1 (1.6), dimensiunile minime de traversare a luminii prin modulator sunt determinate de proprietățile de difracție a luminii și nu de proprietățile modulatorului (deflectorului).

Modificarea de fază (1.14) asociată unei unde acustice sinusoidale este:

$$\Delta\phi = \Delta n \cdot 2\pi \cdot l \cdot \sin(2\pi y/\lambda) / \lambda_0 \quad (4.3.1)$$

Efectul mediu al unei progresive asupra indicilor este identic cu cel al unei rețele de fază staționare cu excepția modificării de frecvență. Pe această modificare de frecvență se bazează modulatoarele de frecvență. În difracția de tip Bragg există practic un singur ordin de difracție care este modificat în frecvență cu f_0 - frecvența sunetului. Modificând frecvența acustică se poate modula în frecvență lumina.

Timpul minim necesar de a trece din starea în care unda acustică interacționează cu lumina și cea de neinteracțiune (stingere) - adică de inexistență a difracției, este timpul de tranzit al unei unde acustice prin fasciculul luminos (Cap.4.2).

Deci, lățimea fasciculului luminos D este limitată de banda de trecere a modulatorului (vz.Fig.2). Lățimea fasciculului sonor (H - Fig.2) este impusă de difracția luminii care implică o limită inferioară în separarea a două planuri paralele pentru un L dat. Mai există și alte complicații, deoarece unghiul Bragg depinde de lungimea de undă acustică folosită. Adică, intensitatea relativă (1.13) scade dacă ne depărtăm de frecvența acustică centrală [34].

Din aprecierile cantitative asupra luminii împrăștiată [3.2.11] rezultă că, pentru o putere acustică dată, există o înălțime optimă a fasciculului acustic, funcție de dimensiunile fasciculului optic. Aceasta corespunde la o înălțime cu cca.70% mai mare decât mărimea spotului optic.

Așa cum s-a arătat în Cap.4.2, luând în considerare cazul practic, când atât lumina cât și sunetul nu sunt fascicule perfect paralele (diverg), la o putere acustică dată, există o limită

superioară a benzii de trecere a modulatorilor acustooptice. Această limită se atinge cind unghiurile de divergență (convergență) ale ambelor fascicule sint egale.

Aceasta impune valoarea:

$$\Lambda/L = \lambda_0/n \cdot d_0 \quad (4.3.2)$$

insă $\Delta f = v/d_0$ (4.2.5) și conform (1.20)

$$\Delta f \cdot \Delta \phi^2 = 10^7 \cdot \pi^2 \cdot n \cdot v^2 \cdot M_2 \cdot P_a / 2 \cdot d_0 \cdot \lambda_0^3 \cdot f_0 \quad (4.3.3)$$

Notăm că din convenția (4.3.2) nici L și nici D nu joacă vreun rol in puterea necesară pentru o anumită banda de trecere.

Se mai poate defini un alt factor de merit:

$$M_1 = n \cdot v^2 \cdot M_2 \quad (4.3.4)$$

de unde putem deduce o expresie pentru energia specifică a modulatorilor acustooptice de volum, valabilă pentru $\Delta \phi = 2\pi$

$$(P_a/\Delta f)_2 = 45 \cdot f_a \cdot \lambda_0^3 \cdot H/M_1 \text{ (mW/MHz)} \quad (4.3.5)$$

unde constantele sint ajustate pentru a obține $P_a/\Delta f$ in mW/MHz, f_a este in Hz, λ_0 și H in cm și M_1 in unități cgs. Trebuie reamintit că (4.3.5) reprezintă limita inferioară a energiei specifice.

Pe lingă aceasta, valoarea înălțimii D are o limită inferioară legată de alegerea lui L. Pentru un fascicul optic cilindric, de rază r, raza minimă a cilindrului de lungime L este dată de:

$$r = \sqrt{\lambda_0 \cdot L / \pi n} \quad (4.3.6)$$

Din practică, aceasta se acoperă cu un coeficient de siguranță de cca.5. Pentru a satisface (4.3.2) și (4.3.6), lungimea de interacțiune și diametrul fasciculului optic trebuie să fie:

$$L = 4\pi \Lambda^2 / \lambda_0$$

$$d_0 = 2r = 2\Lambda / \sqrt{\pi} = 2v / \sqrt{\pi} \cdot f_a \quad (4.3.7)$$

introducind in (4.3.5) rezultă:

$$(P_2 / \Delta f)_2 = 50,8 \lambda_0^3 / M_3$$

$$M_3 = M_1 / v = n \cdot v \cdot M_2$$

(4.3.3)

unde λ_0 și M_3 sînt in unități cgs. M_1 , M_2 , M_3 sînt cantități care depind integral de proprietățile materialului, astfel incit (4.3.2) impune limita inferioară a energiei specifice pentru modulatele de volum, funcție de constantele de material și de lungimea de undă a luminii. Ca rezultat, o proiectare bine gîndită a modulatorului de volum, poate asigura limita puterii excitante (4.3.3).

Creșterea puternică a energiei specifice cu lungimea de undă ($\sim \lambda_0^3$) trebuie luată in considerare pentru regiunile infraroșii (de exemplu, la utilizarea in laserul YAG, $1,06 \mu\text{m}$ vizavi de cel cu HeNe $0,63 \mu\text{m}$).

Pentru materialele care ne interesează (sticlă optică și LiNbO₃) valorile lui $(P_0 / \Delta f)$ sînt 1,29 respectiv 9,8 mW/MHz, cu utilizări practice la valorile 6,45 și 490 mW/MHz.

In considerarea necesarului de putere excitantă, trebuie avute in vedere pierderile in traductorul piezoelectric. La frecvențe mici acestea sînt in gana de 3dB (la 50 MHz).

In concluzie, pentru a utiliza modulatele - defletoarele de volum, este necesară dimensionarea lor in primul rînd la o secțiune corespunzătoare fasciculului luminos care le traversează. Această cerință duce la o putere minimă de excitare care este independentă de dimensiuni, deoarece pentru a obține o anumită modulare, interaciunea trebuie să continue pe o lungime minimă; energia totală aplicată este proporțională cu volumul total.

4.4 Comportarea defletoarelor la impuls

În studiul ce urmează facem precizarea de bază că amplitudinea luminii incidente nu este afectată de împrăștiere, valabilă pentru semnale acustice mici. Am făcut calculul pentru cazul practic al tezei: generator piezoelectric dreptunghiular, unde acustice de diferite durate și pentru diferite raporturi între unghiurile de divergență ale fasciculului acustic și luminos.

În ceea ce urmează am calculat dependența intensității și a timpului de creștere a luminii împrăștiate pentru diverși parametri ai impulsului acustic și ai luminii. Modelul de calcul este cel expus în Cap.3.2.

Fie un traductor plat, care transmite impulsuri rectangulare acustice cu durate τ și de amplitudine constantă S_0 pe înălțimea H și lățimea L (Fig.19). Amplitudinea luminii împrăștiate $\Psi_i(x, y, z)$ poate fi scrisă în forma unei integrale de difracție a volumului:

$$\Psi_i(xyz) = \int_{(t-\tau/2)v}^{(t+\tau/2)v} dx_0 \int_{-L/2}^{+L/2} dy_0 \int_{-H/2}^{+H/2} dz_0 \cdot \rho(x_0, y_0, z_0, -\theta_0) \cdot e^{\frac{(-ik_i \cdot r)}{r}} \quad (4.4.1)$$

unde ρ este polarizarea volumului. (3.2.5)

$$r^2 = [(X-x_0)^2 + (Y-y_0)^2 + (Z-z_0)^2] = R^2 + r_0^2 - 2Xx_0 - 2Yy_0 - 2Zz_0 \quad (4.4.2)$$

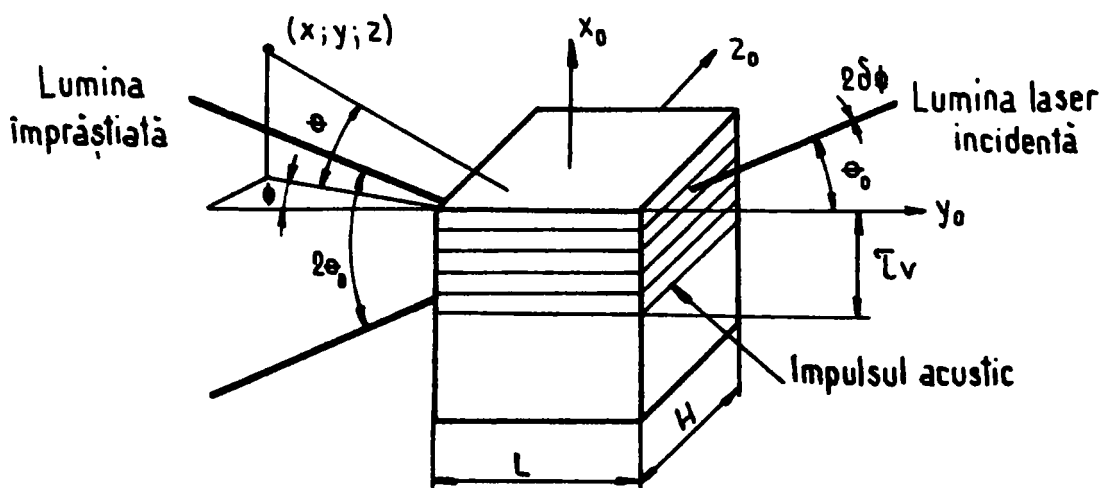


Fig.19 Geometria împrăștierei pentru un traductor plat dreptunghiular

Dacă:

$$R^2 \gg x_0^2 + y_0^2 + z_0^2 = r_0^2$$

atunci

$$r \approx R - \frac{Xx_0 + Yy_0 + Zz_0}{R}$$

Amplitudinea unei incidente, exprimată în coordonate carteziene:

$$\Psi_i(x_0, y_0, z_0, \theta_0) = \Psi_0 e^{-\left\{ \frac{1}{D_0^2} [(x_0 \cos \theta_0 + y_0 \sin \theta_0)^2 + z_0^2] + ik(y_0 \cos \theta_0 + x_0 \sin \theta_0) \right\}}$$

(4.4.3)

unde $2D_0$ este grosimea fascicului și θ_0 este unghiul între fasciculul luminos și y_0 în planul $x_0 y_0$. Din (4.4.1) și (4.4.2) rezultă:

$$\Psi_i = \frac{\Psi_0 S_0}{R} \cdot e^{(-ik_i \cdot R)} \int_{(t-\tau/2)v}^{(t+\tau/2)v} \cdot dx_0 \int_{-L/2}^{L/2} \cdot dy_0 \cdot e^{-\left\{ \frac{1}{D_0^2} [(x_0 \cos \theta_0 + y_0 \sin \theta_0)^2 + z_0^2] + ik(y_0 \cos \theta_0 + x_0 \sin \theta_0) \right\}} \left[i \frac{k_i}{R} (Xx_0 + Yy_0 + Zz_0) - ik \cdot x_0 \right] \cdot e$$

(4.4.4)

În conformitate cu Fig.19, intensitatea totală a luminii împrăștiată este:

$$I = R^2 \int_{-\pi/2}^{\pi/2} \cdot d\varphi \int_{-\pi/2}^{\pi/2} \cdot d\theta \cdot \cos \theta |\Psi_i|^2$$

(4.4.5)

unde:

$$X = R \cdot \sin \theta$$

$$Y = R \cdot \cos \theta \cdot \cos \varphi$$

$$Z = R \cdot \cos \theta \cdot \sin \varphi$$

Pentru a rezolva integrala multiplă (4.4.4) se regrupează termenii exponențiale și după înlocuirea valorilor pentru X, Y, Z avem:

$$-\frac{1}{D_0^2} (x_0 \cdot \cos \theta_0 + y_0 \sin \theta_0)^2 - \frac{1}{D_0^2} \cdot z_0^2 - ik y_0 \cos \theta_0 + ik x_0 \sin \theta_0 + ik_i x_0 \sin \theta - ik x_0 + ik_i \cos \theta \cos \varphi y_0 + ik_i \cos \theta \cdot \sin \varphi z_0$$

(4.4.6)

cu notațiile:

$$\eta = (k_l \sin \theta + k \sin \theta_0 - K)$$

$$\xi = (-k \cos \theta_0 + k_l \cos \theta_0 \cdot \cos \varphi)$$

expresia (4.4.6) devine:

$$-\frac{1}{D_0^2} (x_0 \cos \theta_0 + y_0 \sin \theta_0)^2 - i x_0 \eta_0 + i y_0 \xi - \frac{1}{D_0^2} z_0^2 + i k_l \cos \theta \cdot \sin \varphi \cdot z_0$$

Sub noua formă, (4.4.4) se poate scrie:

$$\Psi_i = \frac{\Psi_0 S_0}{R} \cdot e^{-i k_l R} \left\{ \int_{(t-\tau/2)v}^{(t+\tau/2)v} dx_0 \int_{-L/2}^{L/2} dy_0 \cdot e^{-\frac{1}{D_0^2} (x_0 \cos \theta_0 + y_0 \sin \theta_0)^2 - i x_0 \eta + i y_0 \xi} \cdot \left\{ \int_{-H/2}^{H/2} dz_0 \cdot e^{-\frac{1}{D_0^2} z_0^2 + i k_l \cos \theta \cdot \sin \varphi z_0} \right\} \right\} \quad (4.4.7)$$

Se începe integrarea cu:

$$\int_{(t-\tau/2)v}^{(t+\tau/2)v} dx_0 \int_{-L/2}^{L/2} dy_0 \cdot e^{-\frac{1}{D_0^2} (x_0 \cos \theta_0 + y_0 \sin \theta_0)^2 - i x_0 \eta + i y_0 \xi} \quad (4.4.8)$$

Ca și mai sus, forțăm regruparea de termeni în x_0 și y_0 în exponentul lui e :

$$\begin{aligned} & - \left(\frac{x_0 \cos \theta_0 + y_0 \sin \theta_0 + \frac{i \eta D_0^2}{2 \cos \theta_0}}{D_0} \right)^2 + i \eta y_0 \operatorname{tg} \theta_0 - \frac{\eta^2 D_0^2}{4 \cos^2 \theta_0} + i y_0 \xi = \\ & = - \left(\frac{x_0 \cos \theta_0 + y_0 \sin \theta_0}{D_0} + i \frac{\eta D_0}{2 \cos \theta_0} \right)^2 + i y_0 (\eta \operatorname{tg} \theta_0 + \xi) - \frac{\eta^2 D_0^2}{4 \cos^2 \theta_0} \end{aligned}$$

Rescriem (4.4.8) prin introducerea acestui rezultat și în plus, mai notăm:

$$\varepsilon = \frac{\eta D_0}{2 \cos \theta_0}$$

Avem:

$$e^{-\frac{\eta^2 D_0^2}{4 \cos^2 \theta_0}} \int_{(t-\tau/2)v}^{(t+\tau/2)v} dx_0 \int_{-L/2}^{L/2} dy_0 \cdot e^{-\left(\frac{x_0 \cos \theta_0 + y_0 \sin \theta_0}{D_0} + i \varepsilon \right)^2 + i y_0 (\xi + \eta \operatorname{tg} \theta_0)} \quad (4.4.9)$$

expresie ce seamănă cu funcția eroare de tipul:

$$\operatorname{erf}(x) = \frac{2}{\sqrt{\pi}} \int_0^x \cdot e^{-t^2} \cdot dt$$

Intr-adevăr, scriem (4.4.9) sub forma:

$$e^{-\frac{\eta^2 D_0^2}{4 \cos^2 \theta_0}} \int_{-L/2}^{L/2} \left\{ \begin{array}{l} (t+\tau/2)v \\ (t-\tau/2)v \end{array} \cdot e^{-\left(\frac{x_0 \cos \theta_0 + y_0 \sin \theta_0 + i\xi}{D_0}\right)^2} \cdot dx_0 \right\} e^{iy_0(\xi + \eta \tan \theta_0)} \cdot dy_0 \quad (4.4.10)$$

Din (4.4.10) evaluăm prima integrala:

$$I_1(y_0) = \int_{(t-\tau/2)v}^{(t+\tau/2)v} \cdot e^{-\left(\frac{x_0 \cos \theta_0 + y_0 \sin \theta_0 + i\xi}{D_0}\right)^2} \cdot dx_0$$

Cu schimbarea de variabilă:

$$\frac{x_0 \cos \theta_0 + y_0 \sin \theta_0 + i\xi}{D_0} = t$$

obținem:

$$I_1(y_0) = \int_{\frac{(t-\tau/2)v \cdot \cos \theta_0 + y_0 \sin \theta_0 + i\xi}{D_0}}^{\frac{(t+\tau/2)v \cdot \cos \theta_0 + y_0 \sin \theta_0 + i\xi}{D_0}} \cdot e^{-t^2 \frac{D_0}{\cos \theta_0}} \cdot dt =$$

$$= \frac{D_0}{\cos \theta_0} \cdot \frac{\sqrt{\pi}}{2} \cdot \left[\operatorname{erf}\left(\frac{(t+\tau/2)v \cdot \cos \theta_0 + y_0 \sin \theta_0 + i\xi}{D_0}\right) - \operatorname{erf}\left(\frac{(t-\tau/2)v \cdot \cos \theta_0 + y_0 \sin \theta_0 + i\xi}{D_0}\right) \right]$$

Notăm termenul din paranteza dreaptă cu $F(y_0)$, astfel încât (4.4.10) devine:

$$e^{-\frac{\eta^2 D_0^2}{4 \cos^2 \theta_0}} \cdot \frac{D_0}{\cos \theta_0} \cdot \frac{\sqrt{\pi}}{2} \int_{-L/2}^{L/2} \cdot F(y_0) \cdot e^{iy_0(\xi + \eta \tan \theta_0)} \cdot dy_0 \quad (4.4.11)$$

Integrala obținută o calculăm prin părți, luând:

$$G'(y_0) = e^{iy_0(\xi + \eta \tan \theta_0)}$$

deci:

$$G(y_0) = \frac{1}{i(\xi + \eta \operatorname{tg} \theta_0)} \cdot e^{i y_0 (\xi + \eta \operatorname{tg} \theta_0)}$$

Introducind in (4.4.11) rezultă:

$$\begin{aligned} & e^{-\frac{\eta^2 D_0^2}{4 \cos^2 \theta_0}} \cdot \frac{D_0}{\cos \theta_0} \cdot \frac{\sqrt{\pi}}{2} \int_{-L/2}^{L/2} F(y_0) \cdot G'(y_0) \cdot dy_0 = \\ & = e^{-\frac{\eta^2 D_0^2}{4 \cos^2 \theta_0}} \cdot \frac{D_0}{\cos \theta_0} \cdot \frac{\sqrt{\pi}}{2} \left[F(y_0) \cdot G(y_0) \Big|_{-L/2}^{L/2} - \int_{-L/2}^{L/2} F'(y_0) \cdot G(y_0) \cdot dy_0 \right] = \\ & = e^{-\frac{\eta^2 D_0^2}{4 \cos^2 \theta_0}} \cdot \frac{D_0}{\cos \theta_0} \cdot \frac{\sqrt{\pi}}{2} \left\{ [F(L/2) \cdot G(L/2) - F(-L/2) \cdot G(-L/2)] - \int_{-L/2}^{L/2} F'(y_0) \cdot G(y_0) \cdot dy_0 \right\} \end{aligned} \quad (4.4.12)$$

Explicitate, valorile devin:

$$\begin{aligned} & F(L/2) \cdot G(L/2) - \left[\operatorname{erf} \left(\frac{(t + \tau/2)v \cdot \cos \theta_0 + (L/2) \sin \theta_0}{D_0} + i\varepsilon \right) - \right. \\ & \left. - \operatorname{erf} \left(\frac{(t - \tau/2)v \cdot \cos \theta_0 + (L/2) \sin \theta_0}{D_0} + i\varepsilon \right) \right] \cdot \frac{1}{i(\xi + \eta \operatorname{tg} \theta_0)} \cdot e^{i(L/2)(\xi + \eta \operatorname{tg} \theta_0)} = \\ & = \left[\operatorname{erf}(\alpha + i\varepsilon) - \operatorname{erf}(\beta + i\varepsilon) \right] \cdot \frac{1}{i(\xi + \eta \operatorname{tg} \theta_0)} \cdot e^{i(L/2)(\xi + \eta \operatorname{tg} \theta_0)} \end{aligned}$$

unde s-a notat cu:

$$\alpha = \frac{(t + \tau/2)v \cdot \cos \theta_0 + (L/2) \sin \theta_0}{D_0}$$

și cu:

$$\beta = \frac{(t - \tau/2)v \cdot \cos \theta_0 + (L/2) \sin \theta_0}{D_0}$$

Analog avem:

$$\begin{aligned} & F(-L/2) \cdot G(-L/2) = \left[\operatorname{erf} \left(\frac{(t + \tau/2)v \cdot \cos \theta_0 - (L/2) \sin \theta_0}{D_0} + i\varepsilon \right) - \right. \\ & \left. - \operatorname{erf} \left(\frac{(t - \tau/2)v \cdot \cos \theta_0 - (L/2) \sin \theta_0}{D_0} + i\varepsilon \right) \right] \cdot \frac{1}{i(\xi + \eta \operatorname{tg} \theta_0)} \cdot e^{-i(L/2)(\xi + \eta \operatorname{tg} \theta_0)} = \\ & = - \left[\operatorname{erf}(\gamma + i\varepsilon) - \operatorname{erf}(\delta + i\varepsilon) \right] \cdot \frac{1}{i(\xi + \eta \operatorname{tg} \theta_0)} \cdot e^{i(L/2)(\xi + \eta \operatorname{tg} \theta_0)} \end{aligned}$$

unde s-a notat:

$$\gamma = \frac{(t-\tau/2) \cdot v \cdot \cos \theta_0 - (L/2) \sin \theta_0}{D_0}$$

și cu

$$\delta = \frac{(t+\tau/2) \cdot v \cdot \cos \theta_0 - (L/2) \cdot \sin \theta_0}{D_0}$$

Introducem valorile găsite în (4.4.12) și avem:

$$e^{\frac{-\eta^2 D_0^2}{4 \cos^2 \theta_0}} \cdot \frac{D_0}{\cos \theta_0} \cdot \frac{\sqrt{\pi}}{2} \cdot \frac{1}{i(\xi + \eta \operatorname{tg} \theta_0)} \left\{ \left[\operatorname{erf}(\alpha + i\varepsilon) - \operatorname{erf}(\beta + i\varepsilon) \right] \cdot e^{i(L/2)(\xi + \eta \operatorname{tg} \theta_0)} \right. \\ \left. + \left[\operatorname{erf}(\gamma + i\varepsilon) - \operatorname{erf}(\delta + i\varepsilon) \right] \cdot e^{-i(L/2)(\xi + \eta \operatorname{tg} \theta_0)} - \int_{-L/2}^{L/2} F'(y_0) \cdot G_1(y_0) \cdot dy_0 \right\} \quad (4.4.13)$$

unde $G_1(y_0) = e^{iy_0(\xi + \eta \operatorname{tg} \theta_0)}$

Se evaluează separat ultima integrală:

$$I_2 = \int_{-L/2}^{L/2} F'(y_0) \cdot G_1(y_0) \cdot dy_0$$

Ținem seama de derivarea funcțiilor compuse:

$$F'(y_0) = \frac{2}{\sqrt{\pi}} \cdot \frac{\sin \theta_0}{D_0} \left[e^{-\left(\frac{(t+\tau/2)v \cdot \cos \theta_0 + y_0 \cdot \sin \theta_0}{D_0} + i\varepsilon \right)^2} - e^{-\left(\frac{(t-\tau/2)v \cdot \cos \theta_0 + y_0 \cdot \sin \theta_0}{D_0} + i\varepsilon \right)^2} \right]$$

Deci:

$$I_2 = \frac{2}{\sqrt{\pi}} \cdot \frac{\sin \theta_0}{D_0} \int_{-L/2}^{L/2} e^{-\left(\frac{(t+\tau/2)v \cdot \cos \theta_0 + y_0 \cdot \sin \theta_0}{D_0} + i\varepsilon \right)^2 + iy_0(\xi + \eta \operatorname{tg} \theta_0)} dy_0$$

$$-\frac{2}{\sqrt{\pi}} \cdot \frac{\sin \theta_0}{D_0} \int_{-L/2}^{L/2} e^{-\left(\frac{(t-\tau/2)v \cdot \cos \theta_0 + y_0 \sin \theta_0}{D_0} + i\xi\right)^2 + iy_0(\xi + \eta \tan \theta_0)} \cdot dy_0$$

(4.4.14)

Să evaluăm prima integrală:

$$I_3(u) = \int_{-L/2}^{L/2} e^{-\left(\frac{\mu \cdot v \cdot \cos \theta_0 + y_0 \sin \theta_0}{D_0} + i\xi\right)^2 + iy_0(\xi + \eta \tan \theta_0)} \cdot dy_0 \quad (4.4.15)$$

Facem observația că cele două integrale din (4.4.14) se obțin din $I_3(u)$ prin simpla înlocuire $u = t + \tau/2$, respectiv $u = t - \tau/2$.

Exponentul din $I_3(u)$ (4.4.15) se poate dezvolta după cum urmează:

$$\begin{aligned} & -\frac{y_0^2 \sin^2 \theta_0}{D_0^2} - \frac{2y_0 u \cdot v \cdot \cos \theta_0 \cdot \sin \theta_0}{D_0^2} - \frac{u^2 \cdot v^2 \cdot \cos^2 \theta_0}{D_0^2} - 2 \frac{y_0 \sin \theta_0}{D_0} i\xi + \xi^2 + iy_0(\xi + \eta \tan \theta_0) = \\ & = -\frac{y_0^2 \sin^2 \theta_0}{D_0^2} - \frac{2y_0 \cdot u \cdot v \cdot \cos \theta_0 \cdot \sin \theta_0}{D_0^2} - \frac{u^2 \cdot v^2 \cdot \cos^2 \theta_0}{D_0^2} - 2 \frac{y_0 \sin \theta_0}{D_0} \cdot i \frac{\eta D_0}{2 \cos \theta_0} + \\ & + iy_0 \xi + iy_0 \eta \tan \theta_0 = -\frac{y_0^2 \sin^2 \theta_0}{D_0^2} - 2y_0 \frac{u \cdot v \cdot \cos \theta_0 \cdot \sin \theta_0}{D_0^2} + iy_0 \xi - \frac{u^2 \cdot v^2 \cdot \cos^2 \theta_0}{D_0^2} = \\ & = \left(\frac{y_0 \sin \theta_0}{D_0}\right)^2 - 2y_0 \frac{\sin \theta_0}{D_0} \left(\frac{u \cdot v \cdot \cos \theta_0}{D_0} - \frac{i \xi D_0}{2 \sin \theta_0}\right) - \frac{u^2 \cdot v^2 \cdot \cos^2 \theta_0}{D_0^2} = \\ & = -\left(\frac{y_0 \sin \theta_0}{D_0} + \frac{u \cdot v \cdot \cos \theta_0}{D_0} - \frac{i \xi D_0}{2 \sin \theta_0}\right)^2 \left(\frac{u \cdot v \cdot \cos \theta_0}{D_0} - \frac{i \xi D_0}{2 \sin \theta_0}\right)^2 - \frac{u^2 \cdot v^2 \cdot \cos^2 \theta_0}{D_0^2} = \\ & = -\left(\frac{y_0 \sin \theta_0 \cdot u \cdot v \cdot \cos \theta_0}{D_0} - i\mu\right)^2 - i \frac{u \cdot v \cdot \cos \theta_0 \cdot \xi}{\sin \theta_0} - \frac{\xi^2 D^2}{4 \sin^2 \theta_0} \end{aligned}$$

unde s-a notat: $\mu = \frac{\xi \cdot D_0}{2 \sin \theta_0}$

Cu această dezvoltare integrala $I_3(u)$ (4.4.15) devine:

$$I_3(u) = e^{-\frac{\xi^2 D_0^2}{4 \sin^2 \theta_0} - i \frac{u \cdot v \cdot \cos \theta_0 \cdot \xi}{\sin \theta_0}} \int_{-L/2}^{L/2} \cdot e^{-\left(\frac{y_0 \sin \theta_0 + u \cdot v \cdot \cos \theta_0}{D_0} - i\mu \right)^2} \cdot dy_0$$

in care facem schimbarea de variabilă:

$$\frac{y_0 \sin \theta_0 + u \cdot v \cdot \cos \theta_0}{D_0} - i\mu = t$$

Integrala, prin schimbarea de variabilă, devine:

$$I_3(u) = e^{-\frac{\xi^2 D_0^2}{4 \sin^2 \theta_0} - i \frac{u \cdot v \cdot \cos \theta_0 \cdot \xi}{\sin \theta_0}} \cdot \left[\frac{u \cdot v \cdot \cos \theta_0 + (L/2) \sin \theta_0}{D_0} - i\mu \right] \cdot \left[\frac{u \cdot v \cdot \cos \theta_0 - (L/2) \sin \theta_0}{D_0} - i\mu \right]$$

$$\cdot e^{-t^2} \cdot \frac{D_0}{\sin \theta_0} \cdot dt = e^{-\frac{\xi^2 D_0^2}{4 \sin^2 \theta_0} - i \frac{u \cdot v \cdot \cos \theta_0 \cdot \xi}{\sin \theta_0}} \cdot \frac{D_0}{\sin \theta_0} \cdot \frac{\sqrt{\pi}}{2} \cdot \left[\operatorname{erf} \left(\frac{u \cdot v \cdot \cos \theta_0 + (L/2) \sin \theta_0}{D_0} - i\mu \right) - \operatorname{erf} \left(\frac{u \cdot v \cdot \cos \theta_0 - (L/2) \sin \theta_0}{D_0} - i\mu \right) \right]$$

Obținem în final:

$$I_2 = e^{-\frac{\xi^2 D_0^2}{4 \sin^2 \theta_0}} \left\{ e^{\frac{-i(t-L/2)v \cdot \xi}{t \sin \theta_0}} [\operatorname{erf}(\alpha - i\mu) - \operatorname{erf}(\delta - i\mu)] + e^{\frac{-i(t-L/2)v \cdot \xi}{t \sin \theta_0}} [-\operatorname{erf}(\beta - i\mu) + \operatorname{erf}(\gamma - i\mu)] \right\}$$

care, introdusă în (4.4.13) duce la soluționarea acesteia.

Revenind la (4.4.7) unde mai avem de calculat cea de-a doua integrală:

$$I_3 = \int_{-H/2}^{H/2} \cdot e^{\frac{1}{D_0^2} \cdot z_0^2 + i k_i \cos \theta \cdot \sin \varphi \cdot z_0} \cdot dz_0$$

Grupăm termenii în Z_0 sub forma:

$$I_3 = \int_{-H/2}^{H/2} e^{-\left(\frac{z_0}{D_0} - \frac{i}{2} \cdot k_i \cdot \cos \theta \cdot \sin \varphi \cdot D_0\right)^2 - \frac{1}{4} \cdot k_i^2 \cdot \cos^2 \theta \cdot \sin^2 \varphi \cdot D_0^2} \cdot dz_0$$

notăm:

$$t = \frac{z_0}{D_0} - \frac{i}{2} \cdot k_i \cdot \cos \theta \cdot \sin \varphi \cdot D_0$$

$$I_3 = e^{-\frac{1}{4} k_i^2 \cdot \cos^2 \theta \cdot \sin^2 \varphi \cdot D_0^2} \int_{-\frac{H}{2D_0} - \frac{i}{2} \cdot k_i \cdot \cos \theta \cdot \sin \varphi \cdot D_0}^{\frac{H}{2D_0} - \frac{i}{2} \cdot k_i \cdot \cos \theta \cdot \sin \varphi \cdot D_0} e^{-t^2} \cdot D_0 \cdot dt =$$

$$= e^{-\frac{D_0^2}{4} k_i^2 \cdot \cos^2 \theta \cdot \sin^2 \varphi} \cdot D_0 \left[\operatorname{erf} \left(\frac{H}{2D_0} - \frac{i}{2} \cdot k_i \cdot \cos \theta \cdot \sin \varphi \cdot D_0 \right) - \operatorname{erf} \left(\frac{-H}{2D_0} - \frac{i}{2} \cdot k_i \cdot \cos \theta \cdot \sin \varphi \cdot D_0 \right) \right] \cdot \frac{\sqrt{\pi}}{2}$$

Deci, în final (4.4.7) devine:

$$\Psi_t = \frac{\psi_0 \cdot S_0}{R} \cdot e^{(-ik_i R)} \cdot e^{\left(\frac{-\eta^2 D_0^2}{4 \cos^2 \theta_0}\right) \cdot \frac{D_0}{\cos \theta_0} \cdot \frac{\sqrt{\pi}}{2} \cdot \frac{1}{t(\tau + \eta \operatorname{tg} \theta_0)}} \cdot \left\{ \left[\operatorname{erf}(\alpha + i\varepsilon) - \operatorname{erf}(\beta + i\varepsilon) \right] \cdot e^{\left[i \frac{L}{2} (\tau + \eta \operatorname{tg} \theta_0)\right]} + \left[\operatorname{erf}(\gamma + i\varepsilon) - \operatorname{erf}(\delta + i\varepsilon) \right] \cdot e^{\left[-i \frac{L}{2} (\tau + \eta \operatorname{tg} \theta_0)\right]} \cdot e^{\left(\frac{-\varphi^2 \cdot D_0^2}{4 \sin^2 \theta_0}\right)} \cdot \left\{ \left[\operatorname{erf}(\alpha - i\varepsilon) - \right. \right.$$

$$\begin{aligned}
& -\operatorname{erf}(\delta - i\mu)] \cdot e^{\frac{-i\mathcal{T}(t+\mathcal{T}/2)v}{\operatorname{tg}\theta_0}} + [-\operatorname{erf}(\beta - i\mu) + \operatorname{erf}(\gamma - i\mu)] \cdot \\
& \cdot e^{\frac{-i\mathcal{T}(t-\mathcal{T}/2)v}{\operatorname{tg}\theta_0}} \left. \vphantom{e^{\frac{-i\mathcal{T}(t-\mathcal{T}/2)v}{\operatorname{tg}\theta_0}}} \right\} \cdot D_0 \cdot e^{\left(-\frac{D_0^2}{4} \cdot k_t^2 \cdot \cos^2\theta_0 \cdot \sin^2\varphi\right)} \\
& \cdot \left[\operatorname{erf}\left(\frac{H}{2D_0} - \frac{i}{2} k_t \cdot \cos\theta \cdot \sin\varphi \cdot D_0\right) - \operatorname{erf}\left(\frac{-H}{2D_0} - \frac{i}{2} k_t \cdot \cos\theta \cdot \sin\varphi \cdot D_0\right) \right] \cdot \frac{\sqrt{\pi}}{2}
\end{aligned}$$

(4.4.16)

Pentru cazul special cind $\mathcal{T} \rightarrow \infty$, Ψ_t in (4.4.16) devine:

$$\begin{aligned}
\Psi_t = & \frac{\psi_0 S_0}{R} \cdot e^{(-ik_t \cdot R)} \cdot \frac{\pi D_0}{2} \cdot \operatorname{erf}\left(\frac{H}{2D_0}\right) \cdot e^{-\left(\frac{k_t D_0^2}{4} \cdot \cos^2\theta \cdot \sin^2\varphi\right)} \\
& \cdot e^{-\left(\frac{\eta D_0^2}{4 \cos^2\theta_0} \cdot \frac{\sin[(\xi + \eta \operatorname{tg}\theta_0)L/2]}{(\xi + \eta \operatorname{tg}\theta_0) \cdot \cos\theta_0}\right)}
\end{aligned}$$

(4.4.17)

Pentru cazurile in care:

$$\frac{\mathcal{T} \cdot v}{2D_0} > \left(1 + \frac{L \cdot \sin\theta_0}{2D_0} \cdot \frac{1}{\cos\theta_0}\right)$$

(4.4.18)

contribuția importanta la lumina imprăștiată provine de la primul termen al lui (4.4.16). Semnificația fizică a lui (4.4.18) este aceea că lumina incidentă este inclusă total in fasciculul sonor.

Bazați pe (4.4.16) s-a calculat numeric intensitatea luminii imprăștiată pentru durata de impuls acustic difractat și

timp de creștere (10 la 90%) pentru valori mari $\tau v / 2D_0$. In toate aceste calcule s-a luat in considerare incidența Bragg, care este unghiul cel mai eficient de împrăștiere.

Valorile intensității și timpului de creștere au fost reprezentate funcție de a , care este definit drept raportul între unghiul de difracție al fasciculului optic și acustic.

$$a = \frac{\delta\phi}{\delta\theta} = \frac{2\lambda L}{\pi \cdot D_0 \Lambda} \quad (4.4.19)$$

unde: $\delta\phi = \lambda / \pi D_0$

și $2\delta\theta = \Lambda / L$

unde Λ - este lungimea de undă acustică. Dependența timpului de creștere de a este aratăată in Fig.20.

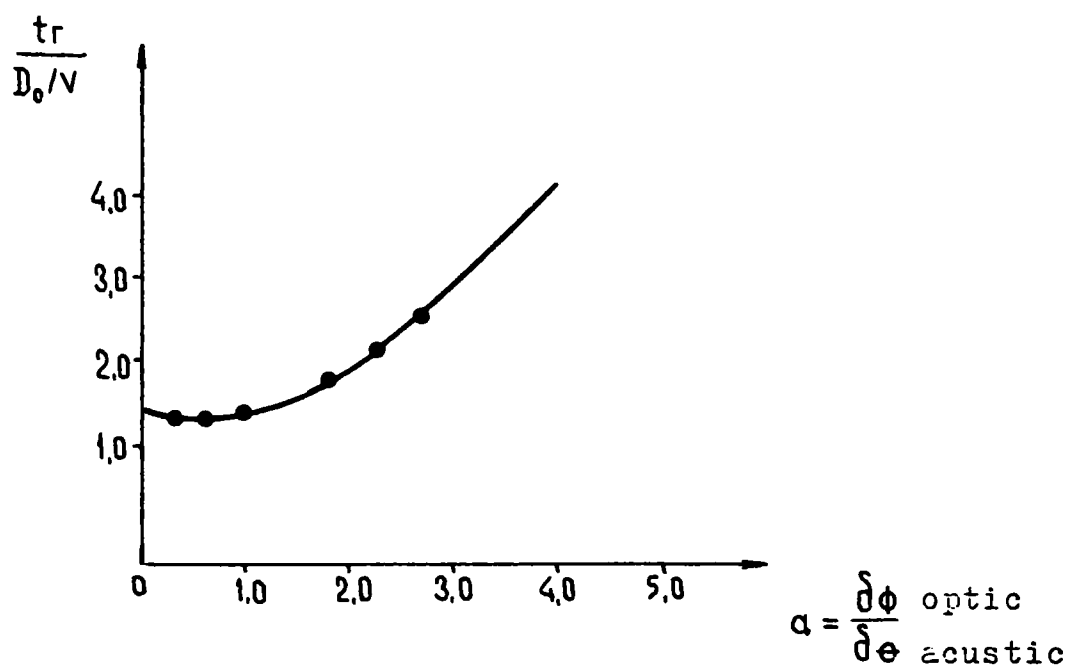


Fig.20 Timpul de creștere a luminii împrăștiată funcție de raportul între unghiul de divergență a fasciculului luminos și acustic

La valori mici ale lui a avem:

$$t_r \approx 1,3 D_0 / v \quad (4.4.20)$$

Pentru $a > 1$, păstrind D_0 constant, t_r crește liniar cu lățimea traductorului L . Această schimbare in timpul de creștere este dată de creșterea timpului de tranzit al undei acustice prin unda luminoasă, care este o funcție de L pentru un unghi de incidență diferit de zero.

Timpul de creștere al impulsului luminii imprăștiată este aproximativ proporțional cu timpul cerut de fasciculul acustic pentru a devia fasciculul optic.

Pentru o undă optică incidentă de forma (4.4.3) și o undă acustică treaptă cu intensitate constantă pe secțiune, intensitatea imprăștiatei este:

$$I \sim \int_{-\infty}^{v \cdot t} dx \int_{-L/2}^{L/2} dy_0 \cdot e^{-\frac{2}{D_0^2} (x_0^2 \cdot \cos^2 \theta_0 - 2x_0 y_0 \sin \theta_0 \cdot \cos \theta_0 + y_0^2 \cdot \sin^2 \theta_0)} \quad (4.4.21)$$

Prin integrare obținem:

$$\begin{aligned} I \sim & 1 \cdot 1 a - \left(0,55 a - \frac{\sqrt{2} \cdot v \cdot t \cdot \cos \theta_0}{D_0} \right) \cdot \operatorname{erf} \left(0,55 a - \frac{\sqrt{2} \cdot v \cdot t \cdot \cos \theta_0}{D_0} \right) + \\ & + \left(0,55 a + \frac{\sqrt{2} \cdot v \cdot t \cdot \cos \theta_0}{D_0} \right) \cdot \operatorname{erf} \left(0,55 a + \frac{\sqrt{2} \cdot v \cdot t \cdot \cos \theta_0}{D_0} \right) + \\ & + \frac{1}{\sqrt{\pi}} \left[e^{-\left(0,55 a + \frac{\sqrt{2} \cdot v \cdot t \cdot \cos \theta_0}{D_0} \right)^2} - e^{-\left(0,55 a - \frac{\sqrt{2} \cdot v \cdot t \cdot \cos \theta_0}{D_0} \right)^2} \right] \end{aligned} \quad (4.4.22)$$

Timpul de creștere figurat în comparație cu (4.4.22) coincide cu curba teoretică din Fig.20. Timpul de creștere a impulsului luminii imprăștiată a fost măsurat funcție de unghiurile de divergență a luminii și a fasciculului acustic. Ceilalți parametri sînt ținuți constanți. Unghiul fasciculului optic a fost modificat cu ajutorul unei lentile.

Cunoscînd lățimea traductorului L și ținînd D_0 constant, intensitatea imprăștiatei va fi de genul celei din Fig.21.

În această figură intensitatea la virf normalizată este reprezentată funcție de a , la D_0 constant și puteri optice și acustice constante. Intensitatea imprăștiatei este reprezentată funcție de diverse valori $\tau v/D_0$. Pentru valori mari ale lui $\tau v/2D_0$ intensitatea atinge maximul la $a > 2$. De altfel, pentru

valori mari ale lui a , fasciculul imprăștiat deviază de la forma gaussiană deoarece divergența sa unghiulară este redusă la cea a fasciculului sonor; astfel încât la semnale acustice mari nu se poate imprăști toată lumina incidentă. Reducind valoarea lui $\bar{t}_v/2D_0$ curba intensității descrește pentru valori mari ale lui a . Aceasta este de așteptat, căci intensitatea imprăștiatei la virf scade pentru impulsuri mai mici de $2t$, iar timpul de creștere, ca în Fig.5 crește cu L .

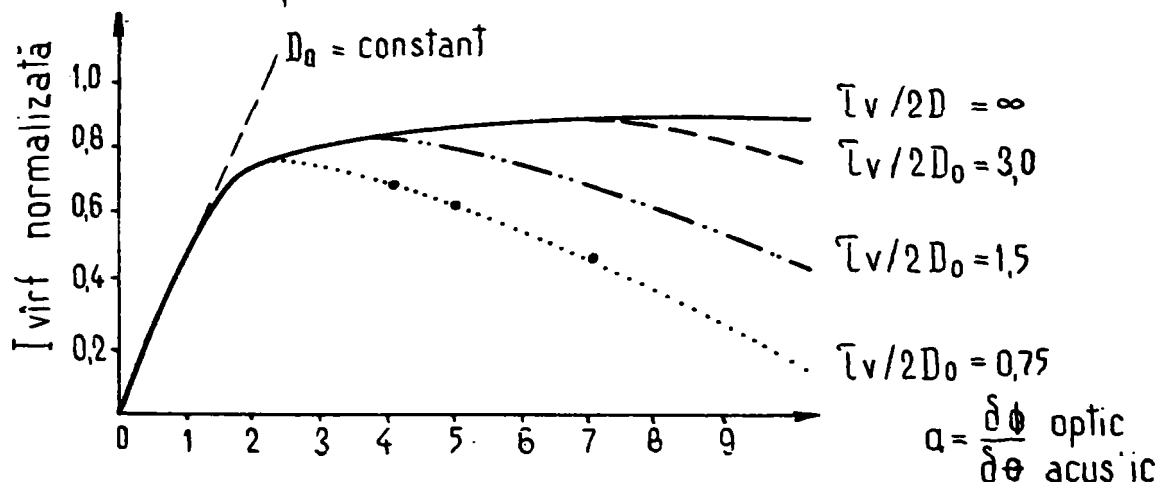
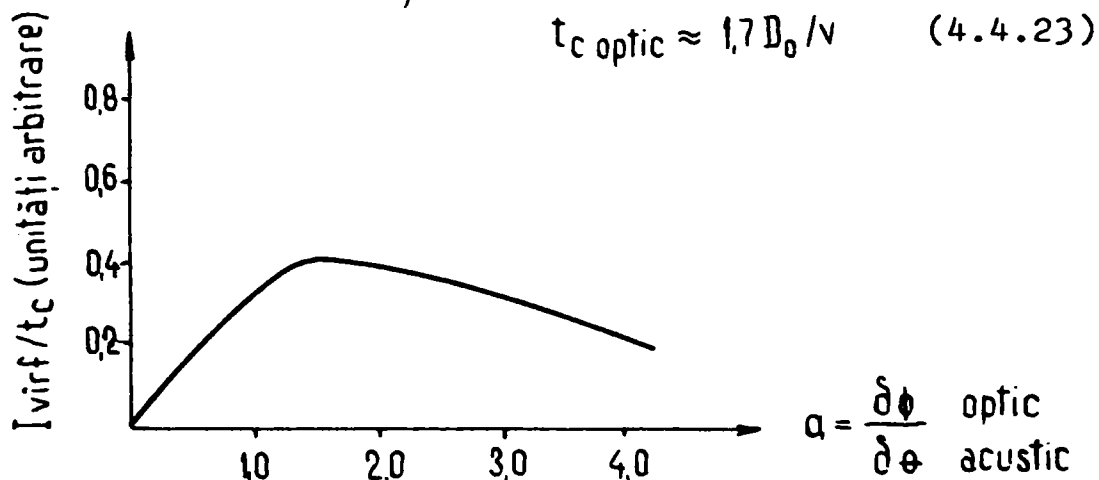


Fig.21 Intensitatea imprăștiatei la virf funcție de a .
Ca parametru - durata impulsului acustic

În Fig.22 o curbă teoretică descrie dependența intensității la virf normalizată I_v/t_c funcție de a , pentru valori mari $\bar{t}_v/2D_0$. Pentru $D_0 = \text{constant}$ curba are un maxim la $a = 1,5$. Proiectarea optimă pentru un modulator va rezulta cînd raportul între cele două unghiuri de divergență ale fasciculului optic și acustic este între 1 și 2. Pentru acest caz:



$$t_c \text{ optic} \approx 1,7 D_0 / v \quad (4.4.23)$$

Fig.22 Dependența I_v / t_c funcție de a

Mentținînd constante puterea acustică ($P_a \sim S_0^2 \cdot H \cdot L$)

și puterea optică ($P_{\text{optic}} \sim \psi_0^2 \cdot D_0^2$) rezultă din (4.4.6) că intensitatea luminii împrăștiată este proporțională cu:

$$I \sim \left[\operatorname{erf}\left(\frac{H}{2D_0}\right) \right]^2 / \left(\frac{H}{2D_0}\right) \quad (4.4.24)$$

Pentru o modulație rapidă (timpul de creștere de ordinul nanosecundelor) grosimea fascicului optic D_0 în zona de interacțiune este de ordinul $10 \mu\text{m}$. Intensitatea maximă a împrăștiatului se va obține pentru $H \approx D_0$. Utilizând un traductor plat, este dificil de a obține o astfel de valoare mică pentru înălțimea fascicului optic în zona de interacțiune. Mai mult, fascicului împrăștiat derivă de la forma gaussiană când dimensiunea fascicului acustic se apropie de cel optic. Se sugerează că înălțimea fascicului acustic să fie de citeva ori mai mare decit cel optic. În practică este necesar ca acesta să depășească $50 \mu\text{m}$.

Pentru cazul general trebuie considerat că $H > 2D_0$ și în aceste limite $I \sim 2D_0 / H$.

Intensitatea împrăștiatului este, pentru $a < 1$, figurată în Fig.21 cu linie intreruptă. Pentru proiectarea optimă ($a \approx 1,5$) intensitatea se reduce cu un factor mai mic decit 2. Eficiența împrăștierii se definește ca:

$$\eta \approx 5 (n^6 \cdot p^2 / \rho \cdot v^3) (\lambda_0^2 \cdot H \cdot \cos^2 \theta_0)^{-1} L \cdot P_a \quad (4.4.25)$$

λ_0 - lungimea de undă optică în aer

η - indicele de refracție

p - constanta fotoelastică

ψ - densitatea de material

v - viteza acustică

H - înălțimea traductorului acustic

L - lățimea traductorului acustic

P_a - puterea acustică

Raportul între eficiența împrăștierii și timpul de creștere devine:

$$\eta / t_{c \text{ opt}} \approx 4 \frac{n^7 p^2}{\rho v} (\lambda_0^3 H \cos^2 \theta_0)^{-1} P_a \cdot \frac{1}{f_0} \quad (4.4.26)$$

unde f_0 este frecvența centrală acustică.

Se notează cu:

$$n^2 \rho^2 / \rho \cdot v = M_1$$

meritul acustic.

Valoarea lui f_0 este determinată de separarea necesară între fasciculul incident și cel împrăștiat. Pentru o separare mai mare de dublul unghiului de difracție, trebuie ca [74] :

$$f_0 \geq \frac{4}{\pi} \cdot \frac{1}{D/v}$$

și combinat cu (4.4.23):

$$f_0 \geq 2/t_{c \text{ opt}} \quad (4.4.27)$$

introducând în (4.4.26):

$$\eta / t_{c \text{ opt}}^2 \leq 2 M_1 (\lambda_0^3 H \cos^2 \theta_0)^{-1} P_d \quad (4.4.28)$$

Toate calculele au fost făcute pentru un fascicul acustic cu profil gaussian cu grosimea D_0 , constantă pe lungimea interacțiunii. Mărima grosinii în realitate, depinde de punctul de măsurare. La un fascicul ce se propagă în direcția z [35] :

$$\frac{D^2(z)}{D_0^2} - 1 = \left(\frac{\lambda z}{\pi D_0^2} \right)^2 \quad (4.4.29)$$

unde D este grosimea minimă la $z = 0$. Definind lungimea fasciculului L ca distanța între două puncte unde $D(z)/D_0 = 2$ rezultă:

$$L = 10,9 \frac{D_0^2}{\lambda} \quad (4.4.30)$$

Combinând (4.4.19), (4.4.23), (4.4.27) și (4.4.30) raportul între lungimea fasciculului și lățimea traductorului pentru modulatorul optim ($a = 1,5$) este:

$$\frac{L}{L} > 5,5 \quad (4.4.31)$$

Conform cu condiția Bragg unghiul de incidență trebuie să fie egal cu:

$$\theta_0 = \arcsin \frac{1}{2} \lambda / \Lambda$$

și raportul N între unghiul Bragg și dublul unghiului de divergență al undei acustice

$$N = \frac{\lambda L}{2 \Lambda^2} \quad (4.4.32)$$

trebuie să fie mai mare decît 1 (4.4.1).

Combinînd (4.4.19), (4.4.27) și (4.4.32) rezultatul este

$$N \geq \alpha \approx 1,5$$

Astfel, prin proiectare optimă, mai mult de 98% din lumina difractată poate fi obținută pentru primul ordin de difracție.

4.5 Caracteristicile traductoarelor acustice ultrasonice pentru excitarea undelor de volum

Proiectarea unui traductor este, în general, legată de o pierdere de conversie mică și necesitatea unei benzi largi de trecere. Funcționarea unui traductor este dependentă de parametri acustici și electrice care descriu configurația sa fizică și circuitul electric la care sunt conectați.

4.5.1 Impedanța, pierderi prin conversie și banda de trecere

4.5.1.1 Precizari

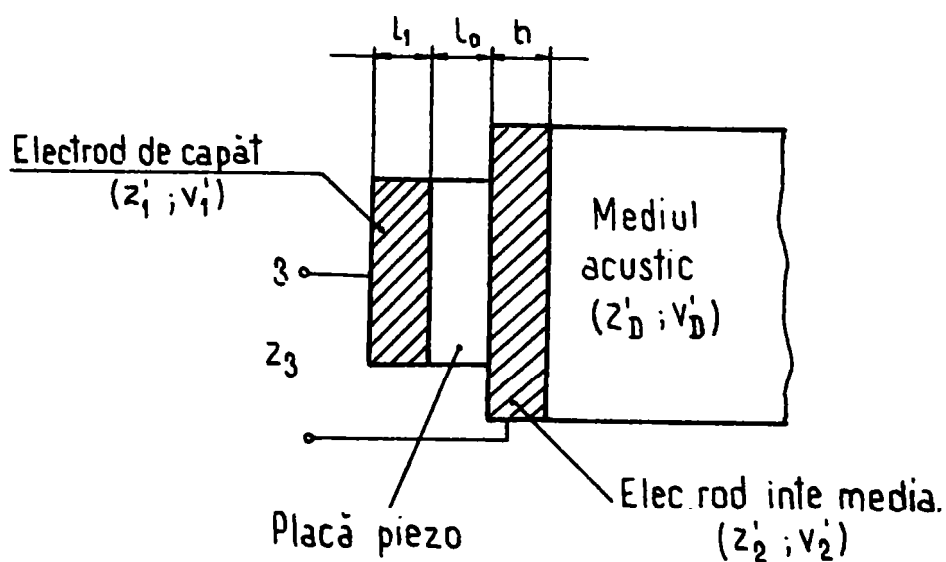


Fig.23

Considerăm configurația cu traductor aratăată în Fig.23. Placa piezoelectrică poate vibra într-unul sau mai multe moduri acustice prin aplicarea unui potențial sinusoidal pe electrozii intermediari și de capăt.

Pentru a simplifica analiza, se fac următoarele supozitii:

- dimensiunile laterale ale traductorului sunt mari în comparație cu lungimea de unda acustică, iar simetria cristalului

este corect aleasă, astfel încât placa traductorului poate fi excitată într-un mod dimensional pur, cu propagarea undei acustice în direcția transversală, spre mediul acustic de interacțiune cu lumina;

- în placa piezoelectrică pierderile acustice se consideră mici și se pot neglija;

- mediul acustic, cu simetria necesară modulului acustic ales și electrozii, transmit puterea acustică fără conversie de mod;

- contactul electric la electrodul de capăt lasă un mod liber de oscilație;

- energia acustică este radiată de placa piezoelectrică în substratul acustic, astfel încât dimensiunile inițiale ale fasciculului sunt definite de dimensiunile electrodului de capăt.

Traductorii care satisfac astfel de condiții pot fi analizați după teoria monodimensională [36].

În conformitate cu această teorie, circuitul echivalent arată că în Fig.24, unde placa piezoelectrică este reprezentată prin circuitul Mason [37], electrozii sunt modelați de linii de transmisie, electrodul de capăt se consideră scurtcircuit acustic, iar mediul acustic este reprezentat de o impedanță reală.

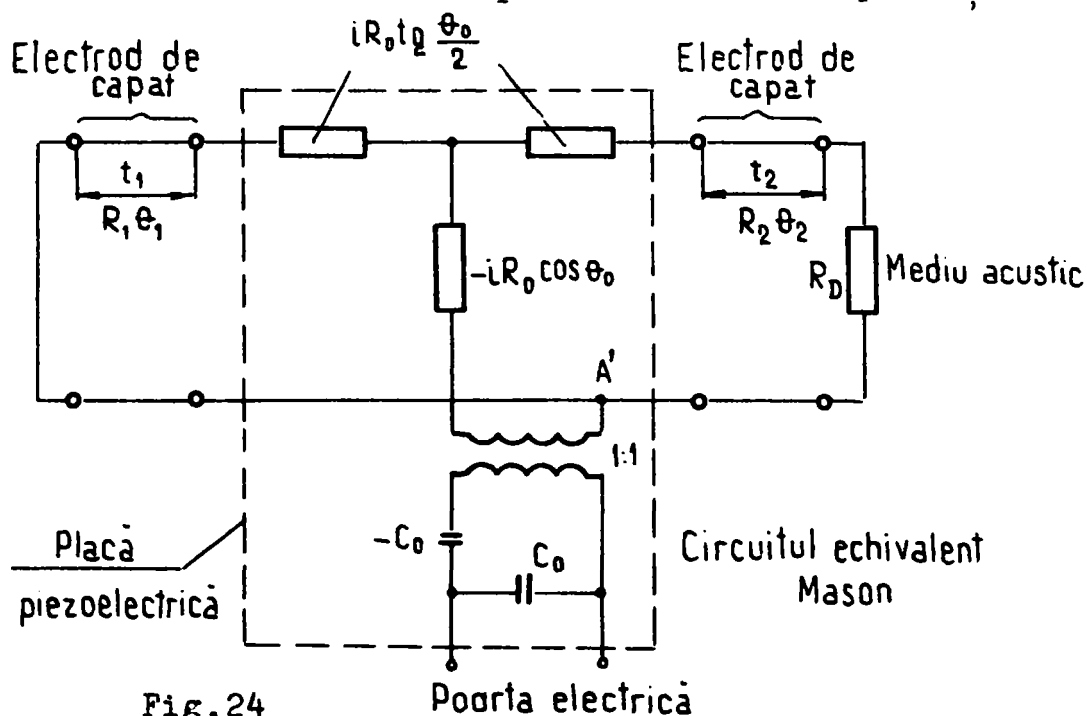


Fig.24 Poarta electrică

Se definesc [38], în unități electrice echivalente pentru forța dirijată transversal, către mediul acustic (F_i) și viteza particulei U_i după cum urmează:

$$U_i = F_i / \Phi \quad (4.5.1)$$

$$I_i = U_i \cdot \Phi \quad (4.5.2)$$

unde $\Phi = h \cdot C_0$ poate fi privită drept raportul de transformare al unui transformator din circuitul electric către cel acustic; h este constanta piezoelectrică corespunzătoare și C_0 este capacitatea legată (la deformare constantă) a plăcii piezoelectrice. Definiția dată permite exprimarea impedanței acustice specifice a piezotraductorului (Z'_0) în ohmi:

$$R_0 = \frac{A \cdot Z'_0}{\Phi^2} = \frac{\bar{\mu}}{\omega_0 C_0 k^2} \quad (4.5.3)$$

unde $f_0 = \omega_0 / 2\pi = v_0 / 2t_0$ - frecvența proprie definită de viteza acustică în traductor v_0 , grosimea t_0 și K - constanta electromecanică de cuplare [38], iar A - suprafața activă a traductorului definită de dimensiunile electrodului de capăt. Grație importanței procesului de conversie acustoelectric, se definesc grosimi ale electrozilor normalizate [39], astfel:

$$d_1 = f_0 / f_1 = v_0 t_1 / v_1 \cdot t_0 \quad (4.5.4)$$

$$d_2 = f_0 / f_2 = v_0 t_2 / v_2 \cdot t_0 \quad (4.5.5)$$

unde f_1, f_2 sunt frecvențele proprii ale electrozilor. Mai definim impedanțe acustice normalizate:

$$r_1 = Z'_1 / Z'_0 = R_1 / R_0 \quad (4.5.6)$$

$$r_2 = Z'_2 / Z'_0 = R_2 / R_0 \quad (4.5.7)$$

$$r_D = Z'_D / Z'_0 = R_D / R_0 \quad (4.5.8)$$

unde R_1, R_2 și R_D sunt echivalente în unități electrice ale

impedanțelor acustice electrosilor și a mediului acustic. Pentru un traductor ideal parametrii K , c_0 , f_0 , d_1 , d_2 , r_1 , r_2 și r_D sunt suficienți pentru a descrie funcționarea traductorului. În general, pentru o alegere de pereche placă piezoelectrică - substrat acustic, se găsesc un set diferit de parametri pentru operarea în unde longitudinale și transversale. Dacă constanta electromecanică are valori uzuale între $0,1 < k < 0,7$, impedanțele acustice ale electrosilor și substratului acustic sunt $0,1 < r < 5$

4.5.1.2 Impedanța electrică de intrare a traductorului

Impedanța electrică pentru un traductor fără pierderi, conform [38], este:

$$Z_3 = 1/i\omega C_0 + Z_a \quad (4.5.9)$$

unde $Z_a = R_a + iX_a$ este impedanța radiată rezultată din excitația acustică. Puterea electrică din partea reală a acestei impedanțe, R_a , reprezintă transferul de putere mecanică spre substratul acustic. Configurația placă - substrat acustic, formează un rezonator acustic monodimensional - care poate opera la rezonanță fundamentală sau în armonici. Rezonatorul nu poate fi excitat la multipli pari ai frecvenței proprii, datorită anulării fazei date de tensiunea indusă piezoelectric. Astfel încât, frecvența de răspuns al lui R_a , care oglindește răspunsul rezonatorului acustic, are fundamentalele și armonicile la 0 la $2f_0$; $2f_0$ la $4f_0$ etc.

La dispozitivul utilizat de autor se lucrează în modul fundamental între frecvențele $2f_0$ și $4f_0$.

Dacă electrosii sunt subțiri din punct de vedere acustic, ($d_1, d_2 < 0,1$) răspunsul în frecvență al lui Z_a are o formă simplă. Partea reală și imaginara a lui Z prezintă simetrie pară sau impară față de f_0 :

$$R_a = \hat{R}_a = (4k^2/\pi r_D)(1/\omega_0 C_0) \quad (4.5.10)$$

$$X_a = 0 \text{ la } f = f_0 \quad (4.5.11)$$

Răspunsul la fundamentală și armonici este identic cu frecvența.

centrală dată de $f_n = n \text{ impar} \cdot f_0$

Pentru a construi adaptarea electrică a traductorului este necesară considerarea Q electric al impedanței de intrare a modulatorului. Deoarece răspunsul traductorului este legat de frecvența proprie a plăcii piezo, este convenabil a defini la $f=f_0$ radiația Q_r a traductorului:

$$Q_r = 1/\omega_0 \cdot C_0 \cdot R_d \quad (4.5.12)$$

care, pentru electrozi subțiri se reduce la:

$$Q_r = 1/\omega_0 C_0 \cdot \hat{R}_d = \pi r_D / 4K^2 \quad (4.5.13)$$

Cum traductorii plăci au valori tipice $0,1 < K < 0,7$ și $0,1 < r_D < 5$ radiația Q poate acoperi o mare gamă de valori depinzind de configurația traductorului. Pentru unde ultrasonore $Q_r = 5 \div 50$ impedanța rezultantă electrică, se comportă reactiv și prezintă dificultăți de proiectare.

În cele arătate mai sus nu s-au asumat pierderi electrice în traductorul piezo. Cuarțul este un dielectric de calitate foarte bună, astfel încît supoziția este fondată. La frecvențe înalte intervine însă efectul contactelor la electrozi și acestea nu sînt neglijabile. Ele introduc o impedanță serie $Z_{se} = R_{se} + iX_{se}$ astfel încît impedanța totală a traductorului devine:

$$Z_3 = Z_{se} + 1/i\omega C_0 + Z_d \quad (4.5.14)$$

Valori tipice: $X_{se} = 0,1 \div 1 \text{ nH}$ și $R_{se} = 0,1 \div 2 \Omega$

4.5.1.3 Pierderi de neadaptare

Dacă traductorul este conectat la o sursă, cu impedanța reală Z_0 , traductorul este neadaptat. Conversia neadaptată a puterii electromagnetice în acustică este dată de raportul de pierderi:

$$T(f) = P_A / P_2 \quad (4.5.15)$$

unde P_A - puterea absorbită de la sursă, iar P_2 - puterea

absorbită de partea reală a impedanței de radiație a traductorului.

$$T(f) = \frac{(Z_0 + R_{se} + R_a)^2 + (X_{se} + X_a - 1/\omega C_0)^2}{4Z_0 R_a} \quad (4.5.16)$$

care mai poate fi scrisă drept produsul:

$$T(f) = [M_e(f)] [M_a(f)] \quad (4.5.17)$$

a două funcții de pierderi prin conversie și care sînt legate de răspunsul circuitului electric și cel al rezonatorului acustic, format de traductor și substrat. Ele se definesc cu:

$$M_e(f) = \frac{(Z_0 + R_{se} + R_a)^2 + (X_{se} + X_a - 1/\omega C_0)^2}{4Z_0 \cdot \hat{R}_a (\omega_0/\omega)^2} \quad (4.5.18)$$

$$M_a(f) = \frac{\hat{R}_a (\omega_0/\omega)^2}{R_a} \quad (4.5.19)$$

Cum răspunsul electric și acustic nu sînt independente pentru $K > 0$, definițiile de mai sus permit compararea răspunsului rezonatorului acustic cu răspunsul unei funcții electrice, care este controlată în principal de circuitul electric de intrare. Se va arăta că banda de trecere electrică și acustică pot diferi, astfel încît banda globală va fi limitată de cea cu răspunsul cel mai ascuțit.

Pentru electrozi acustici subțiri funcția de bandă acustică devine:

$$M_a(f) = \frac{(\sin \theta_0)^2 + (r_0 \cdot \cos \theta_0)^2}{(r_D/2)^2 (1 - \cos \theta_0)^2} \quad (4.5.20)$$

la $d_1 = d_2 = 0$. Astfel, pentru electrozi subțiri $M_a(f) = 1$ la $f/f_0 = 1$ și simetric față de f_0 . Reprezentarea grafică a funcției $M_a(f)$ (4.5.20) - Fig.25, arată dependența puternică de r_D . Substraturi cu impedanța acustică normalizată mai mare de $r_D = \sqrt{2}$

dau două minime.

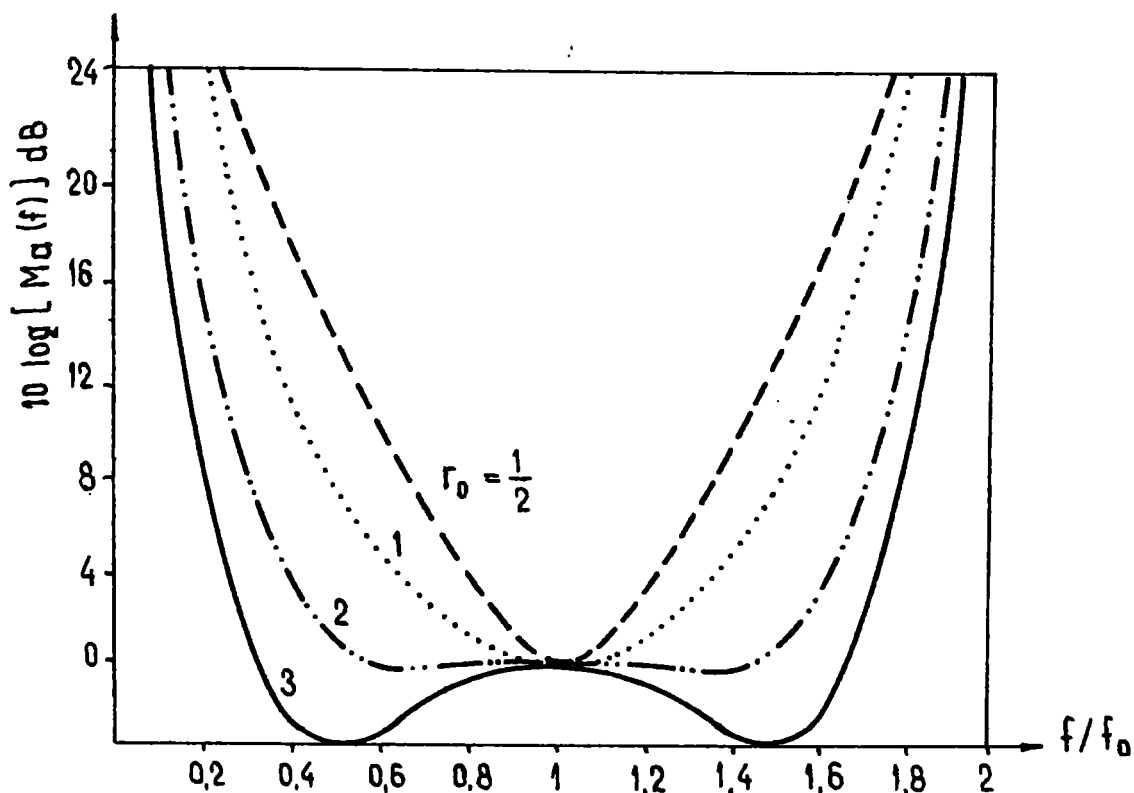


Fig.25

Unde rezonanța plăcii piezoelectrice este puternic încărcată cu substratul acustic, banda de trecere dată de $M_a(f)$ este relativ mare. Pentru configurații $\gamma_0 = 0,5 \div 2$ banda de 3 dB este între 0,23 la 1,1.

Cînd electrozii nu sînt acustici subțiri, banda de trecere acustică nu este în general simetrică față de f_0 și va fi distorsionată față de (4.5.20). Totuși, dacă necesități de fabricație impun un electrod intermediar relativ gros, grosimea traductorului poate fi aleasă, pentru un răspuns simetric și de bandă acustică largă.

Dacă grosimea electrodului de capăt este relativ mare, perturbarea benzii de trecere acustică este pronunțată, deoarece acesta introduce unul sau mai mulți poli de pierdere în răspunsul acustic. Perturbarea dată de electrodul de capăt este o limitare serioasă la frecvențe ridicate, deoarece necesități practice de pierdere electrică impun o grosime minimă.

4.5.1.4 Pierderi la adaptare

Pentru a obține funcționarea cu pierderi de conversie minime, impedanța reactivă a traductorului trebuie adaptată la impedanța sursei Z . Efectul reactiv al traductorului se poate anula prin adăugarea unor impedanțe serie sau paralel la terminalele electrice. Pentru frecvențe în jur de 50 MHz, ca în lucrarea de față, se recomandă adaptarea serie, inductanța se proiectează astfel încât să fie rezonanța cu reactanța traductorului, $X_{se} + X_0 - 1/\omega C_0$. Partea reală a impedanței, $R_{se} + R_0$ este tipic de ordinul ohmilor, astfel că oricum apar pierderi de neadaptare de aprox. 10 dB cind $Z_0 = 50$ ohm.

Mai trebuie punctat că, dacă traductorul este fără pierderi ($R_{se} = 0$) și dacă se face o adaptare perfectă conjugată (serie + paralel) la terminalele electrice, impedanța acustică văzută de semnalele aplicate traductorului, impedanța dată de substratul acustic, este și ea adaptată și astfel nu apar reflexii acustice. Adaptare simultană electrică și acustică nu este posibilă deoarece $R_{se} > 0$.

Pentru traductoare cu Q electric mai mare de 5, forma funcției acustice de bandă este aproximativă ca în cazurile neadaptate (4.5.19). La frecvența de rezonanță, pentru care se face adaptarea $f = f_R$, traductorul poate fi văzut ca doi rezonatori cuplați, unul electric și celălalt acustic. Dacă Q al rezonatorului electric este mai mare, banda de trecere $M_e(f)$ va fi mică (forma ascuțită). Dacă răspunsul acustic $M_0(f)$ este de bandă largă la $f = f_R$ în interiorul benzii, răspunsul în frecvență al traductorului este esențial determinat de răspunsul circuitului electric.

4.5.2. Proiectarea pentru pierderi mici de conversie și bandă largă

Una din problemele de bază ale proiectării constă în rețeaua de adaptarea impedanței pentru a permite funcționarea în bandă largă.

In capitolul precedent s-a văzut că răspunsul acustic al traductorilor plăci subțiri este de bandă largă; benzi de 3 dB/octavă se obțin ușor. Oricum, factorii de cuplare electromecanici dați de cele mai multe materiale piezoelectrice duc la un Q electric mare.

In particular, cind se determină o rețea ideală de adaptare între sarcina reactivă și sursa rezistivă, există relații definite între coeficientul de reflexie al intrării și Q . Funcționarea în bandă largă se obține prin proiectarea rețelei pentru pierderi uniforme pe o bandă de trecere cerută și cu cât Q este mai mare, cu atât sînt necesare pierderi de reflexie mai mari.

In cele ce urmează considerăm metode simple de adaptare electrică și acustică care permit funcționarea traductorilor de benzi de trecere moderate (max.20%), care coincid cu plaja dată de metodele de proiectare pentru partea electronică.

4.5.2.1 Adaptarea electrică

Considerăm o rețea din două elemente ca în Fig.26

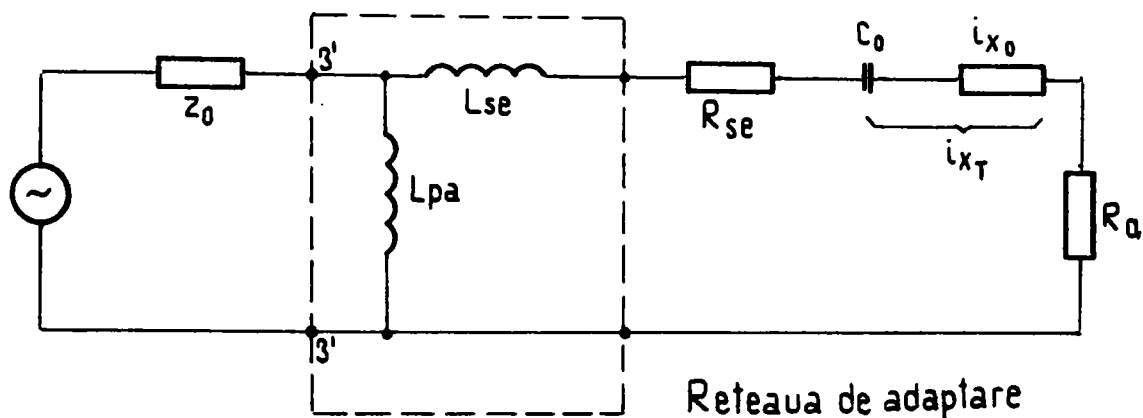


Fig.26

care permite adaptarea de impedanță pentru o valoare fixă a capacității traductorului. Rețeaua constă din inductoare serie și paralele care se pot proiecta să se obțină adaptarea la o frecvență dată.

Dacă considerăm $X_{se} = \omega L_{se}$ departe de rezonanța serie cu reactanța traductorului $X_T = X_a - 1/\omega C_0$, componentele admitanței sînt date de:

$$B \approx B_{pa} - 1/(X_{se} + X_T)$$

$$G_d = \frac{R_{se}/X_T^2}{(1 - |X_{se}/X_T|)^2}$$

$$G_a = \frac{R_a X_T^2}{(1 - |X_{se}/X_T|)^2}$$

Dacă rezistența traductorului $R_{se} + R_a$ este mai mică decît impedanța sursei, se poate găsi o valoare a lui L astfel încît $G_d + G_a = Y_0$ să se obțină la o frecvență dată. O adaptare conjugată și pierderi minime se obțin ajustînd L_{po} pentru rezonanța paralelă și pierderile prin conversie date de raporturi de pierderi.

$$T(f_R) = 1 + G_d/G_a \approx 1 + R_{se}/R_a$$

O analiză completă arată că banda de trecere a pierderilor prin conversie cînd X_{se} este prezent, este redusă cu factorul aproximativ $(1 - |X_{se}/X_T|)^2$ comparat cu cazul adaptării paralele cu $X_{se} = 0$. Astfel, cele două elemente de adaptare duc la pierderi mici de conversie la o bandă de trecere redusă.

În unele cazuri, mica valoare a lui L_{se} , obținută la poziționarea contactului pe traductor, poate fi folosită prin alegerea corectă a lui C_0 pentru a obține adaptarea conjugată.

4.5.2.2 Adaptarea acustică

O adaptare conjugată în condiția rezonanței electrice paralele poate fi folosită printr-o alegere convenabilă a grosimii electrodului intermediar și a impedanței acustice. Dacă considerăm, în cele ce urmează, un electrod de capăt acustic subțire, $Z_{se} = 0$ și o valoare moderată a constantei de cuplare piezoelectrică, raportul $G_a/Y_0 \approx R_a/Z_0$ este tipic mult mai mic decît 1 prin alegerea convenabilă a dimensiunilor laterale ale traductorului. Astfel, parametrii electrodului intermediar se selectază ca să crească G_a la frecvența de rezonanță paralelă f_R .

Aceasta este echivalentă cu descreșterea valorii lui $H_G(f_R)$.

Un caz particular îl reprezintă coincidența rezonanței electrice cu frecvența proprie a plăcii piezoelectrice ($f_R = f_0$). La proiectarea electrodului intermediar de $\Lambda/4$ la f_0 (grosime normalizată $d_{21} = d_{22} = 0,5$), conductanța de radiație este:

$$G_G(f_0) = (4K^2/\sqrt{l}r_D)(\omega_0 C_0)(r_2)^{-2}$$

Un electrod intermediar cu o valoare suficientă pentru impedanța acustică normalizată se poate utiliza pentru a obține $G_G(f_0) = Y_0$

Electrozi intermediari, executați din mai multe straturi, aranjați în perechi, duc la valori mari pentru $G_G(f_0)$, dar cu sacrificii mari în banda de trecere. Dacă se construiesc la $\Lambda/4$ la f_0 (grosime nominalizată $d_{21} = d_{22} = 0,5$) conductanța de radiație este:

$$G_G(f_0) = (4K^2/\sqrt{l}r_D)(\omega_0 C_0)(r_{22}/r_{21})^{2N}$$

Astfel, o depunere electrod (21) de impedanță mică, urmată de una (22) de impedanță mare duce la mărirea lui $G_G(f_0)$. Și în dispozitivul realizat s-a utilizat un electrod intermediar din două straturi.

În comparație cu adaptarea electrică, adaptarea acustică este mai puțin practică, deoarece se dispune de un număr limitat de materiale pentru electrozi intermediari care să imbine proprietățile acustice cu cele electrice și cele de tehnologia depunerilor. În practică, rar se utilizează mai mult de două straturi de adaptare acustică, deoarece raportul de transformare dat de două straturi este suficient să se obțină $G_G \approx Y_0$ și problemele de fabricație cresc rapid, dacă se utilizează mai multe straturi. Mai trebuie adăugat că, o dată cu creșterea numărului de straturi, astfel că banda acustică se ascute la câteva procente, cresc pierderile acustice datorate prezenței unor pierderi relativ mici în straturi.

Dacă ne referim la cuarț, acesta are constanța de cuplare mică, care duce la pierderi de conversie mari pe o bandă mare de frecvență.

Numai probleme de fabricație a unor plăci piezoelectrice cu grosimi mai mici, de ordinul μm limitează utilizarea lor la

frecvența sub 1 GHz.

Fabricația curentă duce la grosimi între 0,1 - 0,5 mm cu fundamentale între 50 - 100 MHz. Se poate lucra și pe armonici pentru frecvența de cca. 2 GHz, dar cu pierderi de până la 20 dB. La cuarț, funcționarea pe armonici duce la pierderi sub 20 dB.

Traductoarele plăci au tensiune de străpungere mai mare decit a celor depuse ca film și se pot utiliza la generarea de puteri acustice ridicate (10 - 100 W). Metode recente de lipire a plăcii piezoelectrice de un substrat acustic permit polizarea mecanică pînă la grosimi foarte mici (5 μ m), ceea ce permite funcționarea pe o fundamentală ridicată (0,8 GHz).

Pentru operații cu pierderi mici, stratul de lipire trebuie să fie foarte subțire și uniform. Probabil cel mai ușor de utilizat material de lipire pentru unde longitudinale este phenilbenzoatul, care la topire (70° C) permite observarea franjelor de interferență de contact între cristal și electrod (fiind transparent).

Aceasta permite controlul grosimii stratului de lipire pînă la grosimi de $\lambda/2$ a luminii utilizate.

CAPITOLUL 5

REZULTATE EXPERIMENTALE

Pentru a obține practic deflexia acustooptică a trebuit să se creeze condițiile aplicării riguroase a rezultatelor teoretice în capitolele precedente.

În primul rând, s-a urmărit alegerea adecvată a materialelor și indicarea tehnologiei de prelucrare și testare pentru cele două medii: cel de interacțiune acustooptică (cuarț + LiNbO_3) și traductorul piezoelectric cuarț).

În cel de-al doilea rând, s-au pus la punct tehnologiile de asamblare pentru dispozitive acustooptice, precum și adaptarea electrică vizavi de montajele electronice de excitație.

În cel de-al treilea rând, s-au proiectat și realizat dispozitive experimentale însoțite de dezvoltarea unor metode de măsură adecvate, astfel încât să se asigure stabilitatea și repetabilitatea obținerii deflexiei acustooptice.

5.1 Niobatul de litiu

5.1.1 Caracteristici și aplicații

Niobatul de litiu pur și dopat este folosit ca element electrooptic, acustooptic și piezoelectric în tehnica laserelor. Poate fi utilizat în domeniul holografiei cu laser - holografie de fază - prin modificarea locală a indicelui de refracție și de amplitudine prin modificarea locală a coeficientului de absorbție. Mai putem adăuga că se poate face în plan sau în volum.

Niobatul de litiu prezintă transparență bună în domeniul 0,3 - 5 microni. Densitatea niobatului de litiu este de $4,612 \text{ g/cm}^3$ iar duritatea pe scară Mohs este de 4,5, fapt ce permite o prelucrare bună a cristalelor. Cristalele nu prezintă clivaj. Temperatura de topire a niobatului de litiu este de 1260°C , iar temperatura Curie este de 1210°C . Indicii de refracție pentru lungimea de undă de $0,6 \mu\text{m}$ sunt $n_o = 2,2967$ și $n_e = 2,2082$, adică o birefrigență de $-0,0885$. Cristalele prezintă stabilitate dimensională bună, coeficientul de dilatare fiind de $16,7 \cdot 10^{-6}$ în lungul axei O și $2,0 \cdot 10^{-6}$ în lungul axei C.

Structura cristalină a niobatului de litiu este

hexagonală și aparține 3m. Ionii de niobat și cei de litiu sunt înconjurați de octaedri ușor deformați trigonal formați de ioni O²⁻. În lungul axei C, acești octaedri sunt ocupați în secvența Nb-Li-octaedru liber.

Cristalul de niobat de litiu poate accepta o gamă destul de mare de impurități.

Condițiile esențiale pe care trebuie să le îndeplinească elementul acustooptic sunt: transparență la lungimea de undă laser, stabilitate la agenți externi, variații mici cu temperatura ale parametrilor funcționali, să poată fi crescute ușor cristale omogene și de dimensiuni mari.

Obținerea elementului activ necesită patru procese esențiale:

- creșterea,
- polarizarea,
- prelucrarea,
- teste.

5.1.2 Creșterea

Cristalele de niobat de litiu (compoziție congruentă) au fost crescute prin metoda Czochralski [40] în creuzet de platină, în Institutul de Fizică și Tehnica Aparatelor de Radiații, Măgurele.

S-au folosit două tipuri de instalații: ADL - cu control manual și MALVERN - cu control automat a procesului de creștere. Încălzirea s-a făcut prin inducție, creșterea în oxigen. Pentru obținerea de cristale de calitate bună au fost încercate diverse variante de montaje termice (izolație, încălzire după creștere, bobine de inducție, etc.).

Materia primă utilizată a fost LiNbO₃ pur 99,999%, orientat după axa z și a fost aleasă din cristale de calitate bună pentru a evita propagarea dizlocațiilor în noul cristal.

Cristalele au fost crescute în viteză relativ mică 3-7mm/h (30 - 70 rotații/minut), iar după creștere au fost răcite la temperatura camerei cu o rată de răcire de cca. 100°C/h. Au fost obținute mai multe cristale de diverse dimensiuni (diametre cuprinse între 1,5 - 3 cm și lungimi de 3 - 5 cm). S-a constatat

că cele mai bune cristale au fost obținute cu instalația MALVERN cu control automat al procesului de creștere, evitându-se astfel fluctuațiile termice.

5.1.3 Polarizarea

Cristalele de LiNbO_3 sînt feroelectrice (temperatura Curie $1150 - 1210^\circ\text{C}$ funcție de compoziția cristalului), prezentînd momente de dipol spontane, care conduc la structura polidomeniu în cristalele nepolarizate. Grupul de simetrie $3m$ cu direcția principală C (Z) conduce la apariția de domenii rotite cu 180° unul față de altul. Din acest motiv, adică structură polidomeniu, apar birefringente accidentale. La pereții între domenii, apar variații puternice ale indicilor de refracție care influențează negativ procesele de propagare ale luminii. De aceea cristalele de LiNbO_3 sînt supuse, după creștere, unui proces de polarizare. Se realizează o rotire a domeniilor într-un cîmp electric dat. Valoarea cîmpului aplicat este mult diminuată dacă procesul are loc la o temperatură apropiată de punctul Curie.

Procesul de polarizare poate fi efectuat în timpul creșterii, menținînd temperatura înaltă în incalzitorul din zona de creștere și aplicînd o tensiune între topitură și amorsă într-un cuptor special după procesul de creștere. Experiența noastră a indicat faptul că apar neuniformități în polarizare dacă acest proces are loc în timpul creșterii și din acest motiv a fost realizat un cuptor special destinat acestui proces de polarizare.

Cuptorul de polarizare prezintă un gradient la cristal de ordinul $2^\circ\text{C}/\text{cm}$. Ratele de încălzire și răcire s-au limitat la $100^\circ\text{C}/\text{h}$. Polarizarea se realizează menținînd un cîmp de $1\text{V}/\text{cm}$ (curent tipic 20mA) în lungul axei optice, pentru aproximativ o oră în jurul temperaturii Curie. Tensiunea se aplică prin intermediul unor electrozi de platină așezați pe capetele cristalului (perpendicular pe axa C) tăiat și șlefuit.

În procesul de polarizare se realizează și tratamentul termic pentru reducerea tensiunilor reziduale din cristal.

În timpul creșterii și polarizării trebuie luate precauții speciale pentru evitarea tuturor surselor de impurificare și menținerea cristalului într-o atmosferă bogată în

oxigen. Lipsa de oxigen duce la o colorare maronie a cristalului. Impuritățile accidentale, în special fierul, determină o scădere substanțială a pragului de distrugere a cristalelor.

Verificarea polarizării cristalelor se face observând domeniile feroelectrice după un atac chimic, cu ajutorul unui microscop. Probele sunt tăiate perpendicular pe axa C și introduse într-o soluție de $\text{HF} + 2\text{HNO}_3$ la 110°C timp de 10 minute. Domeniile negative sunt vizualizate prin capetele de dislocații, cele pozitive sunt practic neatacate după 10 minute.

5.1.4 Prelucrarea

Procesul de prelucrare conține trei etape:

- orientare,
- tăiere,
- șlefuire.

Cristalele montate pe un goniometru ce se poate atașa mașinii de tăiat (un disc diamantat), sunt orientate cu ajutorul razelor X (instalație TUR M 62) prin metoda Lane, cu precizie de orientare $+0,5^\circ$ față de axa cristalografică dorită.

Pentru obținerea de precizii mari la orientare, s-a pus la punct un dispozitiv de orientare în timpul șlefuirii. Metoda se bazează pe centrarea figurii conoscopice (crucea de Malta) la direcția de propagare a luminii unui laser He-Ne. Plasind capul de șlefuire pe un banc optic între doi polarizori încrucișați, se reglează acesta, pînă cînd spotul laser coincide cu centrul crucii. Din cîteva pași succesivi (șlefuire, orientare) se realizează precizia cerută. Este suficientă orientarea unei fețe, cea de-a doua se realizează prin paralelism.

Prelucrarea mostrelor de niobat de litiu urmează, în principiu, aceeași tehnologie ca prelucrarea elementelor medii active laser de diferite durități. Ținînd cont însă de particularitățile pe care le reprezintă aceste elemente, se impun în final unele modificări ale procesului tehnologic de prelucrare propriu-zis.

Deosebirea în prelucrarea acestor elemente își are originea în caracteristicile fizico-mecanice ale niobatului de litiu.

Preponderente ar fi duritatea scârnată și casabilitatea ridicată.

Toate etapele impun orientări cu instalație corespunzătoare cu raze λ , amintite, pentru a asigura încadrarea în abaterile admise de la axele cristalografice.

În cazul prelucrării fețelor frontale se impun condiții atît legate de paralelismul fețelor cit și de calitatea suprafețelor- planeitate.

În ceea ce privește calitatea suprafețelor frontale se impune realizarea unor suprafețe bine șlefuite, încît atît abrazivul folosit să fie corespunzător, cit și lubrifiantul folosit să nu ducă la conglomerări de abraziv, care ar duce la apariția unor zgirieturi.

Abrazivele folosite sînt în ordine următoarele:

- pentru prelucrarea grosieră - carborund 600,
- pentru prelucrarea de finisare (pe etape):
 - finisare I - diamant $3\mu\text{m}$
 - finisare II - diamant $1\mu\text{m}$
 - finisare III - diamant $1/4\mu\text{m}$

Ca lubrifiant, singurul care dă rezultate este de tipul "Hyprez OS fluid". Proportia abraziv/lubrifiant fiind 1:7.

Platanele folosite pentru a realiza suportul amestecului lubrifiant - abraziv sînt următoarele:

- prelucrare grosieră: - fontă,
- prelucrare de finisare I și II: - staniu,
- prelucrare de finisare III: - indiu.

Menționăm că toate acestea au fost folosite în obținerea mostrelor. Presiunile specifice de lucru, care contribuie pregnant la apariția zgirieturilor, nu trebuie să depășească pentru prelucrare de finisare I și II - 150 gr/cm^2 , iar pentru prelucrare de finisare III - 60 gr/cm^2 .

Se cere o curățenie mare a locului de muncă, densitatea prafului (SiO_2) fiind de 7,5 (Mohs), iar granulația o poate depăși pe cea a abrazivului și de obicei are muchii ascuțite.

Tăierea se face cu mașina de tăiat "Microslice 2" și prelucrarea pe mașina de tăiat "Logitech", proba fiind prinsă într-un dispozitiv atașat mașinii (tip PP5).

Platourile trebuie sa fie solide (grosimi mai mari de 1,5 - 2 cm) pentru a se putea obtine o calitate de exceptie.

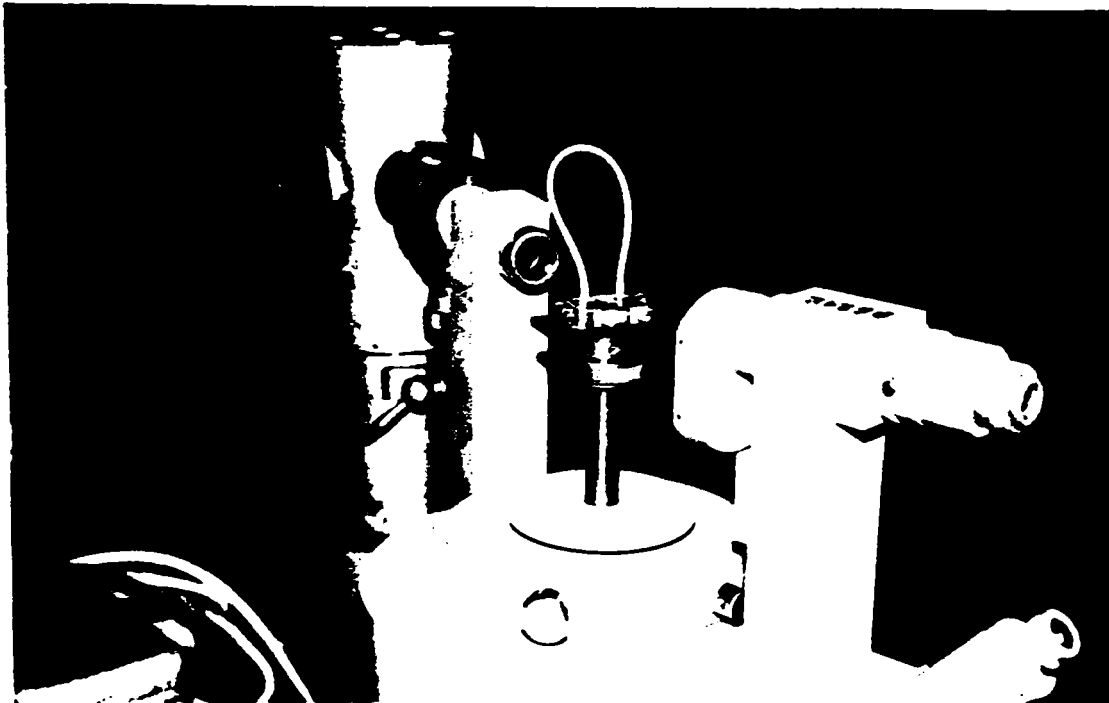


Fig.27a Modulador cu LiNbO_3 pe bancul de incercări antireflex

5.2 Determinarea constantelor elastice și piezoelectrice ale cristalelor de LiNbO₃ utilizate

Determinarea constantelor elastice și piezoelectrice pentru cristalele de LiNbO₃ este complicată din cauza unui mare număr de constante independente și multele posibilități de combinație a acestora.

În clasele de cristal (3 m), există șase constante independente elastice, patru piezoelectrice și două dielectrice [37].

Există metode de determinare a constantelor amintite prin măsurători pe cristal, mici ca dimensiune, prelucrate după direcții determinate. Necesitățile de fabricație se reduc la suprafețe plane și paralele. În principiu este posibilă determinarea constantelor de materiale ale LiNbO₃ prin utilizarea modului volumetric așa cum a fost utilizată determinarea în cazul cuarțului [41], sau în general [42] pentru cristalele piezoelectrice.

5.2.1 Modul de vibrație volumetric

Un mod de vibrație volumetric într-o placă poate fi interpretat ca o undă staționară formată de unde ce se propagă într-o direcție perpendiculară pe suprafețele mari ale cristalului.

Viteza v_α a unei unde plane într-un mediu piezoelectric ce se propagă în direcția \bar{n} este dată de următoarele ecuații:

$$v_\alpha = \sqrt{\frac{\bar{c}_\alpha}{\rho}} \quad \alpha = 1, 2, 3 \quad (5.2.1)$$

unde \bar{c}_α este o constantă elastică efectivă, una din cele trei valori proprii ale următorului determinant [43, 44]:

$$|C'_{jk} - \delta_{jk} \cdot \bar{c}| = 0 \quad (5.2.2)$$

unde $C'_{j,k}$ este constanta elastică legată piezoelectric, dată de:

$$C'_{jk} = [C_{ijke}^E + (e_{pij} \cdot e_{qke} \cdot n_p \cdot n_q) / (\epsilon_{rs}^S \cdot n_r \cdot n_s)] n_i n_e \quad (5.2.3)$$

S-au utilizat notațiile standard IRE Standards on Piezoelectric Crystals:

- c - constanta elastică (liberă)
- c' - constanta elastică legată piezoelectric
- c - constanta elastică efectivă (soluția lui (5.2.2))
- e - constanta tensiunii piezoelectrice
- f - frecvența
- k - factorul de cuplare electromecanică
- m - ordinul armonicii
- n - vectorul normal la o placă
- D - grosimea plăcii
- v - viteza de fază a undei elastice
- $\beta^{(\alpha)}$ - vectorul unitar asociat cu c
- ϵ - constanta dielectrică
- ρ - densitatea

Dacă o constantă dielectrică efectivă depinde de oricare din constantele piezoelectrice, ea se denumește legată piezoelectric, dacă nu, se numește liberă.

Vectorii unitari $\beta_k^{(\alpha)}$ asociați cu fiecare valoare proprie c dau direcția vectorilor elongațiilor celor trei unde.

Undele elastice apar într-o placă piezoelectrică, dacă se aplică la electrozi o tensiune electrică. Ecuația, sub forma de determinant pentru frecvențele de rezonanță, iar în cel mai general caz, pentru un rezonator de mod volumetric [44] este:

$$|\beta_k^{(\alpha)} [C'_{jk} \cdot \gamma \cdot v_\alpha^{-1} \cdot \cos \gamma \cdot v_\alpha^{-1} - (e_{pij} \cdot e_{qke} \cdot n_p \cdot n_q \cdot n_i \cdot n_e) (\epsilon_{rs}^S n_r \cdot n_s)^{-1} \cdot \sin \gamma \cdot v_\alpha^{-1}]| = 0 \quad (5.2.4)$$

unde: $\gamma = \bar{v} \cdot f \cdot D \quad (5.2.5)$

Introducerea unei rădăcini într-unul din determinanții minori ai ecuației (5.2.4) duce la obținerea raportului de

amplitudine a undelor ce contribuie la rezonanță. Rezolvarea lui (5.2.4) este complicată. Pentru armonici superioare (5.2.4) se poate aproxima cu:

$$\cos \gamma \cdot v_{\alpha}^{-1} = 0 \quad (5.2.6)$$

Această simplificare rezultă, deoarece γ este foarte mare și apare numai în coeficienții termenului în cosinus. Utilizarea deci a armonicilor superioare este preferabilă în procesul de determinare a constantelor. Trebuie notat că, în timp ce (5.2.6) este o aproximare pentru frecvențele de rezonanță în armonici superioare este același și pentru antirezonanță [37]. Pe de altă parte, primele frecvențe de rezonanță sunt deplasate spre valori mai mici, decât cele date de ecuațiile de mai sus [44,45].

În practică însă, din cauza paraziților în măsurători, în domeniul armonicilor superioare diferența între frecvența rezonanță și antirezonanță este mică, se utilizează doar măsurarea rezonanței.

Dacă se plasează electrozi pe suprafețele mari ale cristalului se pot excita doar moduri legate. În cele ce urmează vom denumi acest tip de excitație "în cimp perpendicular". Modurile libere nu pot fi excitate pentru acest caz. Pe de altă parte, modurile libere pot fi excitate printr-un cimp paralel la suprafețele mari. Un astfel de cimp se poate obține plasând electrozi pe fețele laterale (mici) ale plăcii. Se obține excitarea în cimp paralel [46]. Pentru acest tip de excitație, frecvențele de rezonanță sunt date exact de (5.2.6). Nu apar deplasări de frecvență date de condițiile piezoelectrice de margine pe suprafețele mari chiar în rezonanțele de ordin inferior. Totuși efectele de contur la frecvențele de rezonanță, sunt încă de notat la rezonanțele de ordin inferior. De aceea se preferă rezonanțele de ordin superior.

Combinând (5.2.1) cu (5.2.6) obținem:

$$\bar{c}_{\alpha} = 4\rho (f_m^{(\alpha)} \cdot t/m)^2 \quad (5.2.7)$$

unde $f_m^{(\alpha)}$ este frecvența armonicii de ordinul m . Pentru cazul cel mai general, se obțin trei constante elastice efective,

experimental, pentru orice direcție dată, deoarece în general există trei direcții de unde, cu viteze de fază diferite. Măsurarea unor serii de rezonanțe în armonici superioare se recomandă pentru a face o medie.

În principiu, utilizarea oricărui fel de orientare este posibilă, însă se preferă cele care duc la moduri libere, deoarece determinarea constantelor este simplă.

5.2.2 Modul de vibrație volumetric al LiNbO₃

Propun următoarea aplicație a Capitolului 5.2.1, pentru LiNbO₃.

Examinarea determinantului (5.2.2) pentru LiNbO₃ (clasa 3m) arată că există diferite direcții care duc la cel puțin un mod liber de vibrație.

Matricea constantelor elasto-piezo-dielectrice este [37]

a) elastice:

$$\begin{vmatrix} C_{11} & C_{12} & C_{13} & C_{14} & 0 & 0 \\ C_{12} & C_{11} & C_{13} & -C_{14} & 0 & 0 \\ C_{13} & C_{13} & C_{33} & 0 & 0 & 0 \\ C_{14} & -C_{14} & 0 & C_{44} & 0 & 0 \\ 0 & 0 & 0 & 0 & C_{44} & C_{14} \\ 0 & 0 & 0 & 0 & C_{14} & C_{66} \end{vmatrix}$$

b) piezoelectrice:

$$\begin{vmatrix} 0 & 0 & 0 & 0 & e_{15} & -e_{22} \\ -e_{22} & e_{22} & 0 & e_{15} & 0 & 0 \\ e_{31} & e_{31} & e_{33} & 0 & 0 & 0 \end{vmatrix}$$

c) dielectrice:

$$\begin{vmatrix} \epsilon_{11} & 0 & 0 \\ 0 & \epsilon_{11} & 0 \\ 0 & 0 & \epsilon_{33} \end{vmatrix}$$

(5.2.8)

O tăiere după z (perpendiculară pe z), duce la două moduri de vibrație transversale libere pure, cu aceleași constante de frecvență și un mod pur longitudinal legat. Orice cimp electric paralel cu suprafețele mari poate excita modurile libere:

$$\begin{vmatrix} C_{44} - \bar{C} & 0 & 0 \\ 0 & C_{44} - \bar{C} & 0 \\ 0 & 0 & C_{33} + \beta_{33} \cdot C^2 - \bar{C} \end{vmatrix} = 0 \quad (5.2.9)$$

unde: $\beta = (m^2 \epsilon_{11} + n^2 \cdot \epsilon_{33})^{-1}$

Tăierea după x duce la un mod pur longitudinal liber și două moduri transversale legate. Orice cimp paralel cu suprafețele mari poate excita modul liber.

$$\begin{vmatrix} C_{11} - \bar{C} & 0 & 0 \\ 0 & C_{66} + \beta_{11} \cdot e_{22}^2 - \bar{C} & C_{14} - \beta_{11} \cdot e_{15} \cdot e_{22} \\ 0 & C_{14} - \beta_{11} \cdot e_{15} \cdot e_{22} & C_{44} + \beta_{11} \cdot e_{15} - \bar{C} \end{vmatrix} = 0 \quad (5.2.10)$$

Tăierea după y duce la un mod liber și două moduri legate, care sint mixte de vibrații longitudinale și transversale. Un cimp de-a lungul axei x excită modul liber și un cimp de-a lungul axei z' excită celelalte două moduri legate.

$$\begin{vmatrix} C_{66} - \bar{C} & 0 & 0 \\ 0 & C_{11} + \beta_{11} \cdot e_{22}^2 - \bar{C} & -(C_{14} - \beta_{11} \cdot e_{15}) e_{22} \\ 0 & -(C_{14} - \beta_{11} \cdot e_{15}) e_{22} & C_{44} + \beta_{11} \cdot e_{15} - \bar{C} \end{vmatrix} = 0 \quad (5.2.11)$$

Configurația electrozilor pentru determinare in cimp perpendicular și paralel este aratăată in Fig.27.

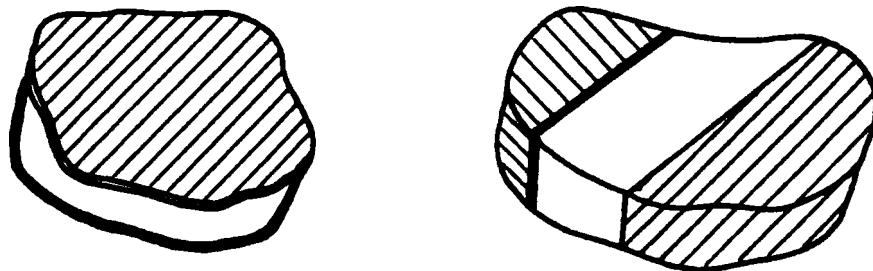


Fig.27 Configurația electrozilor pentru determinări din bucăți mici de cristale

Constantele dielectrice pot fi obținute din măsurători de capacitate ale plăcuțelor cu electrozi plini (cunoscând grosimea și secțiunea plăcuțelor). La frecvențe mult deasupra rezonanțelor puternice, constanta ϵ_{33}^S se obține din mostra tăiată după z și ϵ_{11}^S din cea tăiată după axa x sau y.

La frecvențele foarte joase, sub rezonanțele puternice se deduc constantele ϵ_{33}^T și ϵ_{11}^T . În continuare, constantele ϵ_{33}^S și ϵ_{11}^S se vor utiliza la determinarea constantelor piezoelectrice tensionate.

Deoarece modul legat, în mostra tăiată după y, este pur longitudinal, factorul de cuplare electromecanic $k_t = (\epsilon_{33}^2 / C_{33}' \cdot \epsilon_{33}^S)^{1/2}$ poate fi obținut din raportul frecvențelor fundamentale și armonici [45]. Aceasta este singura măsurătoare la care se cere fundamentală la rezonanță, de aceea se preferă o mostră cit mai mare tăiată pe z, astfel încât să nu apară rezonanțe nedorite.

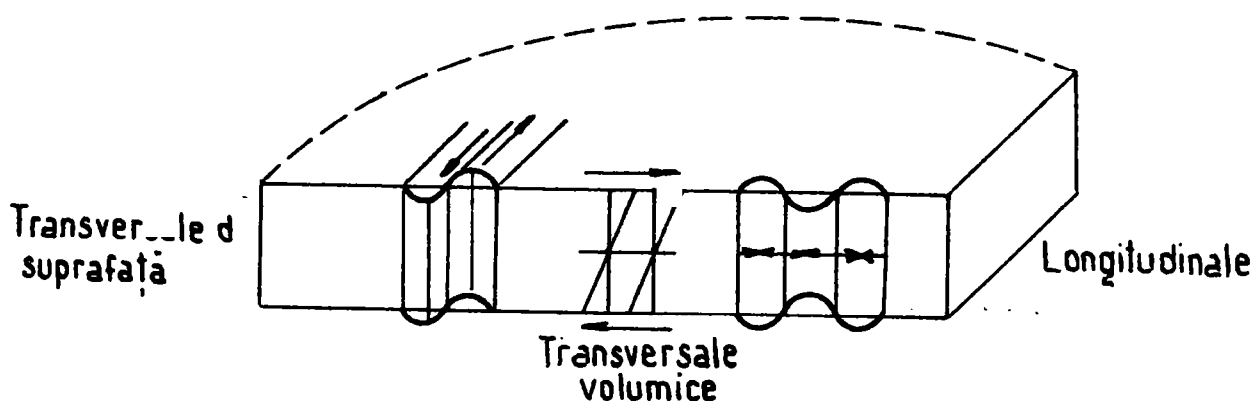


Fig.23 Semnificatia modurilor de vibratie

Constantele C_{33}^E și e_{33} se obțin din k_t , constanta elastică efectiv măsurată \bar{C}_3 rezultă din:

$$C_{33}^E = (1 - k_t^2) \cdot \bar{C}_3 \quad (5.2.12)$$

$$e_{33} = (\epsilon_{33}^S \cdot \bar{C}_3 \cdot k_t)^{1/2} \quad (5.2.13)$$

Semnul lui e_{33} trebuie ales astfel încât constanta dielectrică de elongație, d_{33} , să fie pozitivă.

Excitarea în cimp perpendicular a mostrei tăiate y duce la obținerea a două constante elastice efective \bar{C}_2 și \bar{C}_3 (care diferă de cel măsurat la tăierea z). Acestea sînt rădăcini ale

determinantului (5.2.1).

e_{31} se mai poate obține și din factorul de cuplare a unei bare rectangulare cu lungime de-a lungul axei x și cu electrozi aplicați pe fața z . La valori mari, relative, lungime față de grosime, avem aproximativ:

$$k_{31} = (d_{31}^2 / \epsilon_{33}^T \cdot S_{11}^E)^{1/2} \quad (5.2.14)$$

Semnul lui d_{31} se poate determina printr-un test static și, deoarece s_{11} se poate deduce din rezonanțele fundamentale ale barei, d_{31} reiese din (5.2.14).

Ecuatia:

$$e_{31} = d_{31} [C_{11}^E + C_{12}^E - 2(C_{13}^E)^2 / C_{33}^E] + C_{13}^E \cdot e_{33} / C_{33}^E \quad (5.2.15)$$

permite o rotație între ultimele două constante rămase necunoscute e_{31} și c_{13} .

Mărimea lui c_{13}^E poate fi obținută din valoarea lui s_{11} din măsurători asupra barei, cu semn pentru c_{13}^E în concordanță cu măsurătorile asupra mostrei tăiate y . Și c_{13}^E se poate media funcție de diverse măsurători.

5.2.3 Măsurători experimentale

Partea teoretică prezentată în Cap.5.2.1 - 5.2.2 permite dezvoltarea unei verificări experimentale, propusă de autor, de a determina tăierea optimă a cristalului LiNbO_3 , tăiere care să permită obținerea unui cristal piezoelectric care să lanseze spre mediul de interacțiune o undă pură (longitudinală sau transversală). Totodată se face și verificarea dacă procedura de goniometrare prin raze x a fost corectă. Aceasta determinare face parte din procedura de testare a componentelor pe părți, ceea ce duce la scăderea drastică a prețului celulei acustooptice, eliminând prelucrări ulterioare, costisitoare și de lungă durată.

Procedura se bazează pe măsurarea frecvenței de rezonanță și antirezonanță, pentru frecvențe apropiate de cea de lucru și este o aplicație directă a celor arătate în Cap.5.2.2.

Cristalul de LiNbO_3 , tăiat după unghiul necesar, sub

formă de paralelipiped, se acoperă cu Ag prin evaporare în vid (10^{-4} torr) pe cele două fețe, ce vor deveni electrozi. Reținem că una din fețe este în formă definitivă, cealaltă, după măsurătoare, dacă orientarea este corectă, va fi supusă prelucrării, sudată fiind de mediul de interacțiune, pînă la grosimi ce dau fundamentala în zona de lucru.

Constantele niobatului de litiu [47] sînt acceptate la următoarele valori (MKSA [49 - 50]).

densitatea $\rho = 4,7 \times 10^3 \text{ kg/m}^3$

constantele dielectrice relative:

$\epsilon_{11}^S / \epsilon_0$	44	$\epsilon_{11}^T / \epsilon_0$	84
$\epsilon_{33}^S / \epsilon_0$	29	$\epsilon_{11}^T / \epsilon_0$	30

constante elastice:

C_{11}^E	$2,03 \times 10^{11} \text{ N/m}^2$	C_{11}^D	$2,19 \times 10^{11} \text{ N/m}^2$
C_{12}^E	0,53	C_{12}^D	0,37
C_{13}^E	0,75	C_{13}^D	0,76
C_{14}^E	0,09	C_{14}^D	-0,15
C_{33}^E	2,45	C_{33}^D	2,52
C_{44}^E	0,60	C_{44}^D	0,95
C_{66}^E	0,75	C_{66}^D	0,91

constantele piezoelectrice:

e_{15}	$3,7 \text{ c/m}^2$	d_{15}	$6,8 \times 10^{-11} \text{ C/N}$
e_{22}	2,5	d_{22}	2,1
e_{31}	0,2	d_{31}	-0,1
e_{33}	1,3	d_{33}	0,6
β_{11}^S	$2,6 \times 10^9 \text{ m/F}$	β_{11}^T	$1,34 \times 10^9 \text{ m/F}$
β_{33}^S	3,9	β_{33}^T	3,6
S_{11}^E	$5,78 \times 10^{-12} \text{ m}^2/\text{N}$	S_{11}^D	5,20
S_{12}^E	-1,01	S_{12}^D	-0,44
S_{13}^E	-1,47	S_{13}^D	-1,45
S_{14}^E	-1,02	S_{14}^D	0,87
S_{33}^E	5,02	S_{33}^D	4,89

S_{44}^E	17,0	S_{44}^D	10,8
S_{66}^E	13,6	S_{66}^B	11,3
g_{15}	$9,1 \cdot 10^{-2} \text{ m}^2/\text{c}$	h_{15}	$9,5 \cdot 10^9 \text{ N/C}$
g_{22}	2,8	h_{22}	6,4
g_{31}	-0,4	h_{31}	0,8
g_{33}	2,3	h_{33}	5,1

Revenind la măsurătoarea frecvențelor de rezonanță și antirezonanță, precizez că separarea între cele două frecvențe, la modurile legate, este o măsură a manifestării modului.

Se poate defini un "factor de cuplare efectiv" pentru un mod, în termenii separației între rezonanța fundamentală și antirezonanță:

$$k_{ef} = \left[\left(\frac{\pi}{2} \cdot \frac{f_R}{f_A} \right) / \text{tg} \left(\frac{\pi}{2} \cdot \frac{f_R}{f_A} \right) \right]^{1/2}$$

(5.2.27)

Acesta diferă formal de cel definit [37, p.66] drept factor de cuplare electromecanic. Sub această exprimare a factorilor efectivi de cuplare a modurilor cvasilongitudinale și cvasitransversale, se ridică graficul pentru diverse orientări de cristale de LiNbO₃, cele mai bune apreciindu-se a fi cele rotite în jurul axei x.

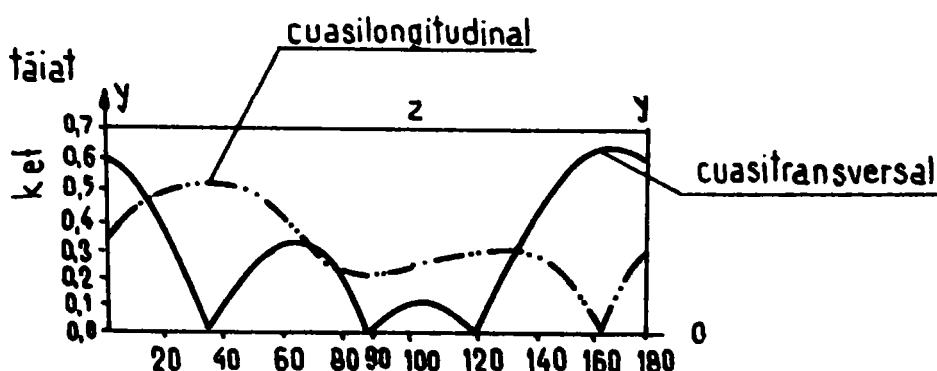


Fig.29 Factori de cuplare efectivă pentru un cristal de LiNbO₃ rotit în jurul axei x

Pentru aplicații de traductoare este avantajoasă obținerea unui factor de cuplare efectivă cât mai mare, dar mai este necesară excitarea unui singur tip de undă: longitudinală sau transversală.

Mai citam și faptul că, unda sonoră se deplasează față de normala la suprafețele de excitare (cu electrozi) sub un anumit unghi.

Din (5.2.27) rezultă că simpla determinare a frecvenței de rezonanță (fundamentală) și antirezonanță permite aprecierea încadrării în k_{ef} cerut, iar de aici se poate stabili corectitudinea tăierii sub unghiul cerut al cristalului.

Cel mai citat unghi de tăiere pentru $LiNbO_3$ este tăierea la 36° față de y . Din Fig.29 reiese un factor de cuplare efectiv de cca.0,5. Prin rezolvare se obține un raport:

$$f_R / f_A = 1,12$$

Montajul practic constă în măsurarea frecvenței de rezonanță serie cu ajutorul unui generator sinusoidal, măsurându-se curentul absorbit într-o punte de măsură cu ajutorul măsurării tensiunii de radiofrecvență Fig.30 .

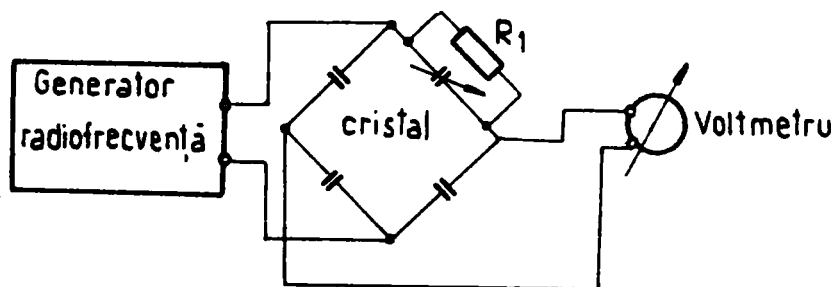


Fig.30 Circuitul de măsură

Capacitatea $C1$ se ajustează în afara frecvențelor de rezonanță, pentru tensiune maximă la voltmetru electronic. La frecvențe de rezonanță, impedanța cristalului devine zero, astfel încât și indicația voltmetrului devine minimă. Raportul între prima frecvență (fundamentală) de rezonanță și alăturata de antirezonanță trebuie să fie cel indicat pentru tăierea cerută cristalului.

Aparatura folosită a fost: generator de radiofrecvență de tip EMG - TR0614 și voltmetrul electronic de tip Meratronik 640.

Pentru utilizari in optică s-au efectuat numeroase studii asupra structurii cristaline, mai ales pentru utilizarea niobatului de litiu ca element neliniar.

Proprietățile de feroelectricitate au fost descoperite in 1949 [48,49] cu măsurători intensive asupra proprietăților [50,51]

Pe linga proprietățile amintite in 5.1.1, precizăm că structural, cristalul este constituit [50] din octaedri de oxigen ce formează o rețea hexagonală compactă. O treime din intersecțiile octaedrice este ocupată cu atomi de Nb, o treime cu atomi de Li și o treime este vidă.

In faza normală, faza feroelectrică, atomii de Li și Nb nu mai sint echidistanți față de planurile ocupate cu atomii de oxigen, ceea ce duce la:

- dispariția centrului de simetrie pentru cristal și
- apariția unei polarizări spontane legată de caracterul feroelectric al niobatului de litiu la temperatura normală.

In acesta fază deci, niobatul de litiu nu este cristal centrosimetric, rețeaua cristalină aparținind clasei 3m.

Compoziția cristalelor de LiNbO_3 poate varia de la un cristal la altul sau chiar in interiorul aceluiași cristal, in funcție de condițiile de creștere. Studii asupra dispersiei caracteristicilor [52] arată că, la echilibru termodinamic, compoziția variază in proporții negliabile. Totuși, majoritatea cristalelor utilizate sint într-o stare metastabilă la care raportul Li/Nb poate să se distanțeze de valoarea de echilibru, ceea ce duce la variații importante ale constantelor caracteristice de cristal [53,54].

In primul rind, funcție de raportul Li/Nb variază indicele de refracție extraordinar, in mod liniar, vezi Fig.31 [55, 56, 57].

Variația raportului Li/Nb antrenează o deformare a rețelei cristaline ceea ce duce la modificarea simetriei cristaline. Aceasta duce la apariția de noi constante. Aceste ipoteze au fost emise prin studiul efectelor neliniare in LiNbO_3 [53].

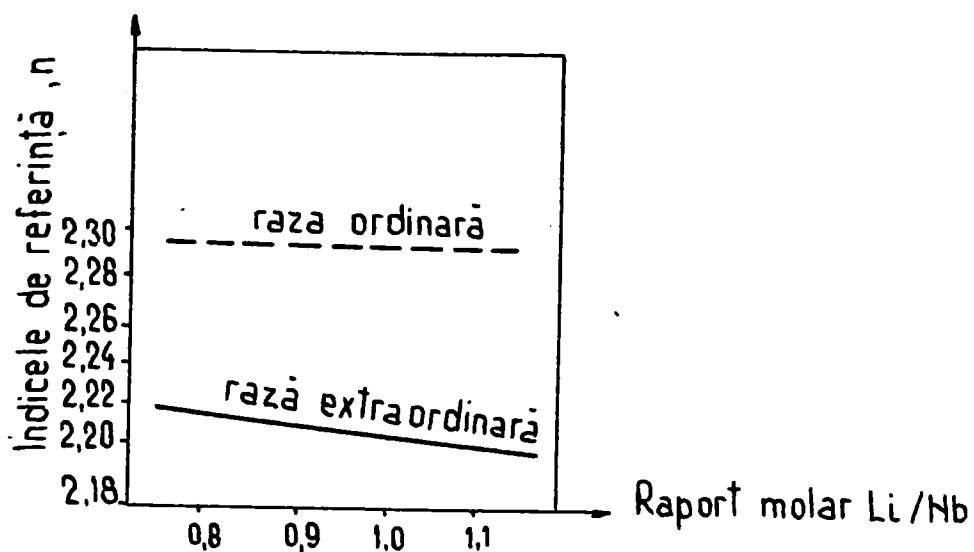


Fig.31 Variația indicelui de refracție funcție de compoziția cristalului

Avind in vedere cele arătate, adică dificultăți de repetabilitate in creșterea cristalelor de LiNbO_3 , trebuie definită "calitatea optică" necesară utilizării in experimente optice.

Pentru optica liniară [55] se cere ca indicele de refracție care intervine să fie uniform in tot volumul. Metoda de apreciere utilizată, este observarea cristalului intre polarizori incrușișati [52], orientați la 45° față de liniile neutre ale cristalului, ceea ce duce la o măsurare directă a variației birefrigenței (această metodă permite abateri de la planeitate și paralelismul fețelor cristalului).

In acest mod se pot detecta diferențe de drum optic de ordinul $\lambda/4$, ceea ce pentru un cristal de lungime de 5mm corespunde la o variație a birefrigenței de $\delta B = 2,5 \times 10^{-5}$. Se verifică dacă cristalele de calitate optimă sint cele polarizate după axa optică.

Cristalul de LiNbO_3 fabricat la IFTAR - Magurele prezintă 3 franje/cm, perpendicular pe axa optică. Neomogenitățile apar in timpul creșterii, direcția franjelor indică axa de creștere a cristalului.

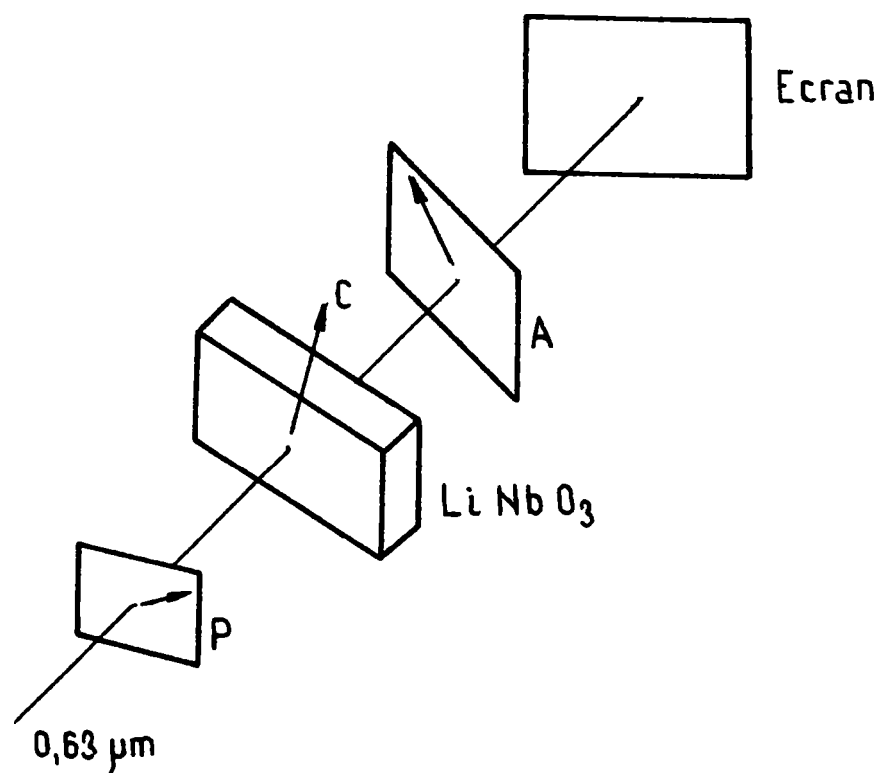


Fig.32 Dispozitiv experimental utilizat pentru măsurarea birefrigenței

5.3 Cuarțul

5.3.1 Cuarțul. Descriere

Cuarțul SiO_2 cristalizează în clasa trigonală. Axa optică, axa z este și axa de simetrie triplă (rotații de 120°). Punctul de topire este de 1750°C , densitatea 2,65, duritatea 7 pe scară Mohs. La presiune normală, cuarțul se transformă în

β pentru temperaturi mai mici de 573° C . Cuarțul α este insolubil în acizi ordinari.

Optic, cuarțul poate roti planul de polarizare a luminii polarizate, care se propagă după axa optică (z), în sens trigonometric sau invers.

Pe lângă dualitatea optică, cuarțul poate prezenta și dualitatea electrică [37]. Aceasta rezultă din schimbarea cu 180° a direcțiilor aranjamentelor cristalelor.

Alte defecte ce pot să apară în cuarț sînt:

- bule, "cavități" ce pot fi mai mari sau mai mici,
- șiraguri de bule,
- nori de bule mici,
- umbre, date de creșteri neuniforme ale cuarțului și
- fracturi.

Metodele de inspecție și de calificare a calității cristalelor finisate sînt standardizate.

Imperfecțiunile pot fi observate prin iluminarea puternică a cristalului și observarea sub un unghi de 90° față de raza incidentă. Cristalul este scufundat într-un lichid în vasul de inspecție, care are același indice de refracție ca al cristalului. Modurile de propagare și proprietățile lor depind de orientarea plăcilor de cuarț față de structura naturală.

Axa optică sau axa z a cristalului este paralelă cu direcția pe lungime a cristalului, axa x trece printr-o muchie a hexagonului și axa y este normală pe x, z în conformitate cu triedrul drept.

Constantele piezoelectrice, elastice și dielectrice ale cuarțului sînt luate din relațiile de cristal.

$$S_1 = S_{11}^E \cdot T_1 + S_{12}^E \cdot T_2 + S_{13} \cdot T_3 + S_{14}^E \cdot T_4 + d_{11} \cdot E_x$$

$$S_2 = S_{12}^E \cdot T_1 + S_{11}^E \cdot T_2 + S_{13} \cdot T_3 - S_{14}^E \cdot T_4 - d_{11} \cdot E_x$$

$$S_3 = S_{13} \cdot T_1 + S_{13} \cdot T_2 + S_{33} \cdot T_3$$

$$S_4 = S_{14}^E \cdot T_1 - S_{14}^E \cdot T_2 + S_{44}^E \cdot T_4 - d_{14} \cdot E_x$$

$$S_5 = S_{44}^E \cdot T_5 + 2S_{14}^E \cdot T_6 - d_{14} \cdot E_y$$

$$S_6 = 2S_{14}^E \cdot T_5 + 2(S_{11}^E - S_{12}^E) \cdot T_6 - 2 \cdot d_{11} \cdot E_y$$

$$\delta_x = \frac{D_x}{4\pi} = d_{11} \cdot T_1 - d_{11} \cdot T_2 + d_{14} \cdot T_4 + \frac{\epsilon_1^T}{4\pi} \cdot E_x$$

$$\delta_y = \frac{D_y}{4\pi} = -d_{14} \cdot T_5 - 2d_{11} \cdot T_6 + \frac{\epsilon_1^T}{4\pi} \cdot E_y$$

$$\delta_z = \frac{D_z}{4\pi} = \frac{\epsilon_3}{4\pi} E_z$$

nde S1, S2, S3 sint deformările longitudinale pe axa x, y, z și S4, S5, S6 deformările de forfecare, Ex, Ey, Ez cele trei cimpuri, Dx, Dy, Dz inducțiile electrice, care pe suprafețele exterioare sint egale cu sarcinile de suprafață $4\pi \delta_x$, $4\pi \delta_y$ și $4\pi \delta_z$

Valorile constantelor, conform [37] sint:

$$S_{11}^E = 127,9 \times 10^{-14} \text{ cm}^2/\text{dyn}$$

$$S_{44}^E = 197,8$$

$$S_{12}^E = -15,35$$

$$S_{66} = 2(S_{11}^E - S_{12}^E)$$

$$S_{13}^E = -11,0$$

$$d_{11} = -6,76 \times 10^{-8} \text{ stat Cb/dyn}$$

$$S_{14}^E = -44,6$$

$$d_{14} = 2,56 \times 10^{-8}$$

$$S_{33} = 95,6$$

$$C_{11}^E = 86,05 \times 10^{10} \text{ dyn/cm}^2$$

$$C_{12}^E = 4,85 \times 10^{10} \text{ dyn/cm}^2$$

$$C_{44}^E = 58,65$$

$$C_{13}^E = 10,45$$

$$C_{66}^E = \frac{C_{11}^E - C_{12}^E}{2} = 40,5$$

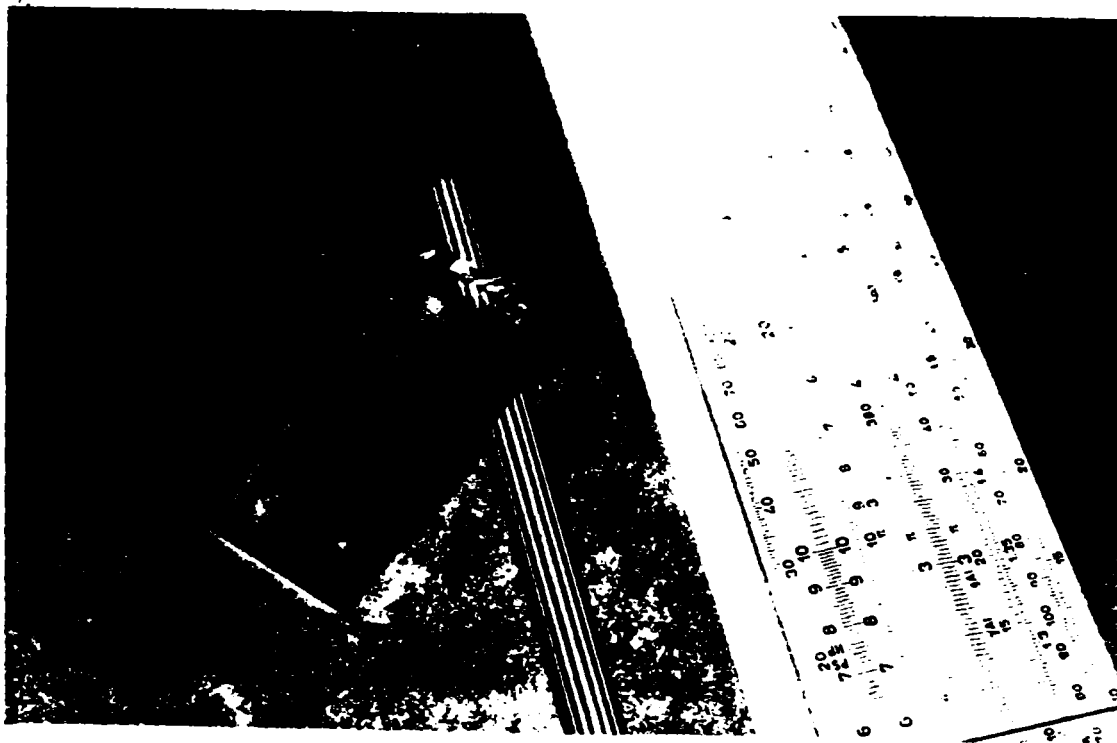
$$C_{14}^E = 18,25$$

$$\epsilon_1^T = 4,85 \frac{4\pi \text{ stat cb}}{\text{stat v}}$$

(5.3.2)

Calitatea optică se apreciază prin aceeași metodă ca în cazul LiNbO_3 .

Cuarțul, atât sub formă de cristal cât și cel amorf este destul de cunoscut din utilizarea lui în tehnica radioelectronică și din dezvoltările recente ale opticii în domeniul fotografiei.



5.3.2 Traductorul piezoelectric din cuarț

Modurile de propagare ale undelor date de un traductor piezoelectric fabricat din cuarț, se pot deduce din sistemul de ecuații ce dau relațiile din cristal (5.3.1).

Dacă se taie cristalul după orientări specifice, vizavi de axele cristalografice, se pot excita diverse moduri astfel încât să se obțină caracteristicile dorite, ca coeficienți mici de variație a frecvenței cu temperatura, moduri de oscilație cât mai pure sau factori de cuplare electromecanici mari.

Prima ecuație din (5.3.1) arată că o deformare S_1 , care se produce de-a lungul axei x , va fi generată de un cimp aplicat de-a lungul acestei axe. Cimpul aplicat va genera unde de forfecare volumetrică, deoarece mișcarea particulei se face în aceeași direcție ca a cimpului aplicat.

Dacă se prelucrează la grosimi mici, acest tip de cristal se poate utiliza la producerea de frecvențe foarte mari

(ultrasonice).

Ca o deficiență remarcăm un coeficient prost de temperatură, ceea ce necesită, în cazul utilizării unui astfel de traductor, controlul temperaturii dispozitivului.

Eficiența utilizării ca traductor este dată de transformarea energiei electrice aplicate pe cât posibil în cât mai multă energie mecanică. Măsură acestei eficiențe este dată de factorul de cuplare electromecanică k , dat de formula:

$$k = d_{11} \sqrt{\frac{4\pi \cdot C_{11}^E}{\epsilon_1^T}} = 0,96 \quad (5.3.3)$$

unde C_{11}^E este constanta elastică efectivă pentru modul de propagare pe grosime (5.3.2). (5.3.3) indică pentru k o valoare de 9,6%.

Pentru cimpuri alternative, aproape de rezonanța cristalului, aproximativ întreaga energie electrică poate fi convertită în energie mecanică [36, p.96]

Factorul de cuplare devine o mărime a benzii de frecvență, pentru care această conversie poate fi făcută eficientă.

Dacă se notează cu f_r , frecvența de rezonanță, și f_a frecvența la care pierderile nu sînt mai mari de 50%, avem relația [36, p.96]

$$\frac{f_r}{f_a} = \sqrt{\frac{1+k}{1-k}}$$

Circuitul echivalent al cristalului liber are configurația arătată în Fig.33 unde se specifică și dependența reactanței de frecvență:

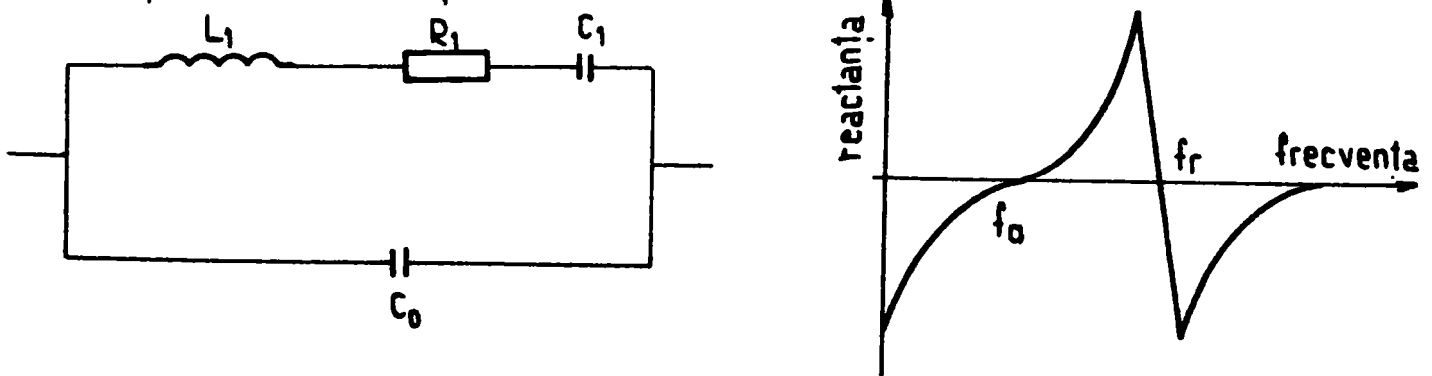


Fig.33 Circuitul echivalent al unui cristal piezoelectric

Valorile inductanței și capacităților se specifică în literatură [de ex. 36, p.67] fiind funcții ale dimensiunilor geometrice ale cristalului. Valoarea rezistenței R este dată de rezistența montajului, disiparea de căldură în cristal, cit și de pierderi prin radiație, date de capetele cristalului.

Un cristal tăiat pe axa x este arătat în Fig.34. Suprafețele mari ale cristalului sînt perpendiculare pe axa x . Dacă se aplică un cimp electric pe suprafețele mari ale cristalului prin suprafețe de contact depuse, cristalul va suferi alungiri de-a lungul axei y . Cel de-al doilea tip de deformare care are loc este o vibrație longitudinală pe grosimea cristalului. Dacă se execută o grosime suficient de mică, vizavi de celelalte dimensiuni, se pot obține frecvențe de vibrație pînă la 100MHz.

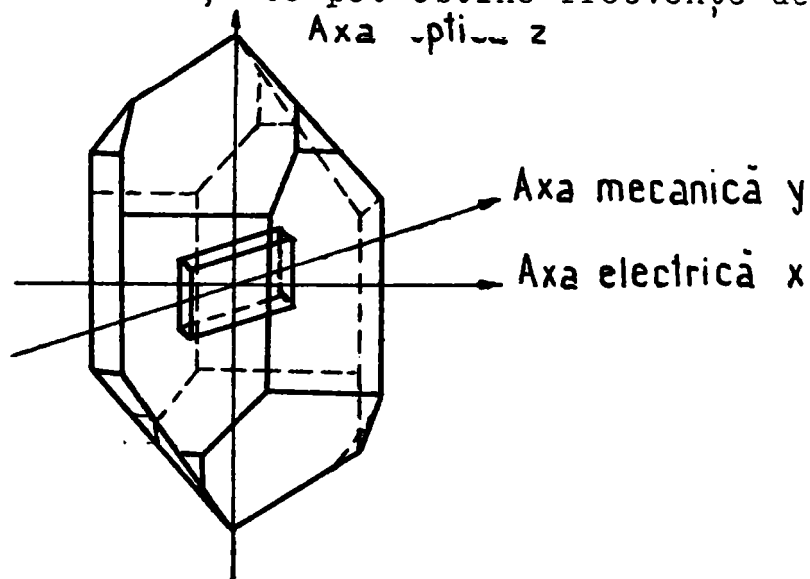


Fig.34 Cristalul natural de cuarț și un traductor tăiat după axa x

În montaj una din fețele cu electrozi este lăsată liberă, cealaltă este fixată prin lipire pe mediul acustooptic.

Cristalul radiază numai cu suprafețele dinspre mediul acustooptic, aceasta putînd fi luată drept suprafață efectivă a cristalului.

Grosimea ideală, pentru eficiență maximă este la $\lambda/2$. Partea liberă a cristalului se află în aer, care are impedanța foarte mică și din această cauză se transferă puțină energie în acest mediu. Partea lipită de mediul acustooptic debitează pe o impedanță mare și practic toată energia electrică este convertită în energie mecanică către mediul acustooptic (vz. Cap.4.5.1).

Pentru cazul cind cristalul este liber, circuitul echivalent (cf.Fig.23) este arătat in Fig.35.

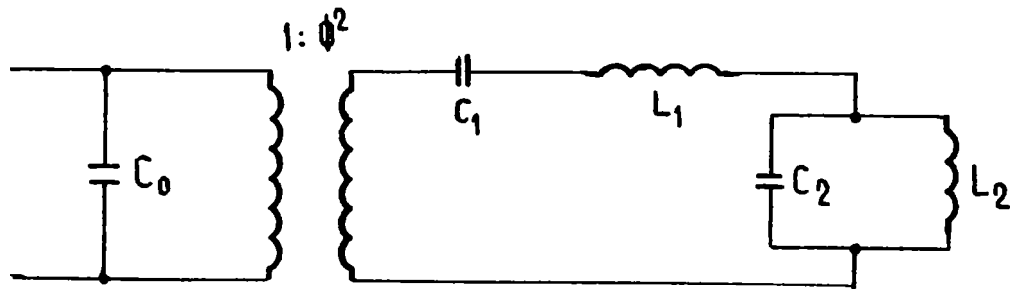


Fig.35 Circuitul echivalent electric al unui traductor cu cuarț

Valorile L_1 , C_1 , L_2 , C_2 sint conform cu [36, P.209] :

$$C_1 = \frac{2D}{\pi^2 \cdot H \cdot L \cdot Y_0 (1 - k^2)}$$

unde D , H , L sint dimensiunile cristalului (Fig.2) și Y_0 - modulul lui Young pe grosimea cristalului ($Y_0 = 3,43 \times 10^{11}$), $k = 0,096$ [36, p.231]

$$L_1 = \frac{1}{\omega_R^2 \cdot C_1} = \frac{\rho D H L}{2} = M \quad \text{masa cristalului necesară}$$

rezonanței. $\rho = 2,65$ reprezintă densitatea cuarțului.

$$L_2 = \frac{16}{\pi^2} \cdot M \quad C_2 = \frac{\pi^2}{16} \cdot C_1$$

Constanta de cuplare electromecanică k este legată de constantele de cristal prin relația:

$$k = D_e \sqrt{\frac{k}{4\pi Y_0}}$$

unde D_e - variaza cu tipul de cristal și direcția tăierii și $k = 1 + 4\pi \times$ constanta dielectrică a cristalului $D_e = 143 \cdot 10^4$; $K = 4,55$ pentru cristal de cuarț tăiat pe axa x).

A mai rămas de precizat C_0 - capacitatea cristalului .legat:

$$C_0 = \frac{K \cdot H \cdot L}{4 \pi \cdot D}$$

Dacă dimensiunea laturilor suprafeței efective a cristalului depășește cu mult lungimea de undă (cazul normal) impedanța peretelui mediului acustooptic este ρv ohmi mecanici /cm². Aici v - viteza de propagare ($v = 5,65 \times 10^5$ cm/s în cuarț amorf).

Rețeaua din Fig.35 se va încărca cu această impedanță devenind $R_D = L \cdot H (\rho \cdot v)$ în următoarea configurație (Fig.36).

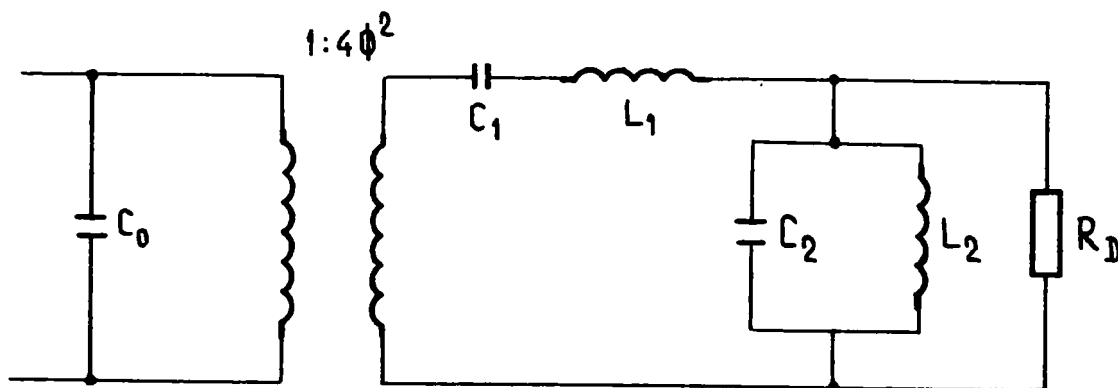


Fig.36 Încărcarea cristalului cu perete lipit de mediul acustooptic

Impedanța acustică se reflectă în primar ca o rezistență electrică:

$$R_s = \frac{(\rho \cdot v) L H}{(2 \phi)^2} = \frac{1,5 \cdot 10^6 \cdot L H}{4 D_E^2 K^2 L^2 H^2} = \frac{D^2}{H L} \left(\frac{5,91 \cdot 10^7}{D_E^2 \cdot K^2} \right)$$

$$16 \pi^2 D^2$$

Pentru a obține rezistența în ohmi se multiplică rezultatul cu 9×10^{11} . Deoarece este la îndemână măsurarea frecvenței de rezonanță a cristalului vizavi de grosimea sa D , la $\Lambda/2$ avem:

$$D = \frac{v}{2 f_r} = \frac{2,82 \cdot 10^5}{f_r}$$

și de aici:

$$R_s = \frac{9,69 \cdot 10^{10}}{L H \cdot f_r^2}$$

Această rezistență va fi în paralel cu reactanța condensatorului C_0 care este cu mult mai mică decât R_s

$$X_C = \frac{1}{2\pi \cdot f_R \cdot C_0} = \frac{1,12 \cdot 10^{17}}{LH \cdot f_R^2}$$

Deoarece rezistența reflectată în primar este cu mult mai mare decât reactanța cristalului, este imposibil ca întreaga energie electrică să fie transformată în energie acustică.

Randamentul maxim se obține la adaptare (vezi Cap.4.4.1), adică atunci când impedanța de ieșire a amplificatorului de radiofrecvență este egală cu impedanța cristalului la rezonanță, care va fi în acest caz aproximativ egală cu reactanța cristalului.

Pentru a calcula randamentul conversiei trebuie comparată energia ce ajunge la rezistența de radiație cu cea care ar ajunge atunci când amplificatorul ar fi conectat la ea prin intermediul unui transformator ideal.

Dacă R_A este rezistența de ieșire a amplificatorului, curentul prin transformatorul ideal este:

$$i_T = \frac{E}{2\sqrt{R_A \cdot R_s}}$$

Dacă se ia raportul valorilor absolute ale curenților prin rețeaua echivalentă, i_n , din Fig.37 și curentul i_T , avem:

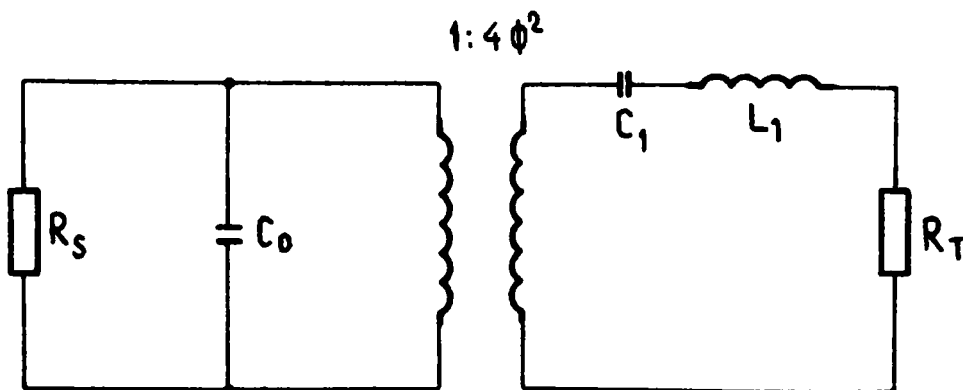


Fig.37 Circuitul echivalent al cristalului la rezonanță

$$\therefore \left| \frac{I_N}{I_T} \right| = \frac{2\sqrt{R_A \cdot R_S}}{\sqrt{\left[R_A + R_S + \frac{R_A \cdot C_0}{C_1} \left(1 - \frac{\omega^2}{\omega_R^2} \right) \right]^2 + \left[R_A \cdot R_S \omega C_0 - \frac{1}{\omega C_1} \left(1 - \frac{\omega^2}{\omega_R^2} \right) \right]^2}}$$

Valoarea ideală a lui $R_A = \frac{1}{\omega_x \cdot C_0}$ și $\frac{C_0}{C_1} = r = 134$

raportul capacităților cristalului. $\frac{R_A}{R_S} = \frac{1,12}{9,69 \cdot 10} = 0,0116$

Raportul rezistențelor: $\frac{R_A}{R_S} = 0,0116$

Introducind aceste valori numerice, avem:

$$\frac{I_N}{I_T} = \frac{2\sqrt{0,0116}}{\sqrt{\left[1,1316 + 15,8 \left(1 - \frac{\omega^2}{\omega_R^2} \right) \right]^2 + \left[\frac{\omega_R}{\omega} - 15,8 \left(1 - \frac{\omega^2}{\omega_R^2} \right) \right]^2}}$$

Pusă pe calculator și reprezentată, duce la Fig.38:

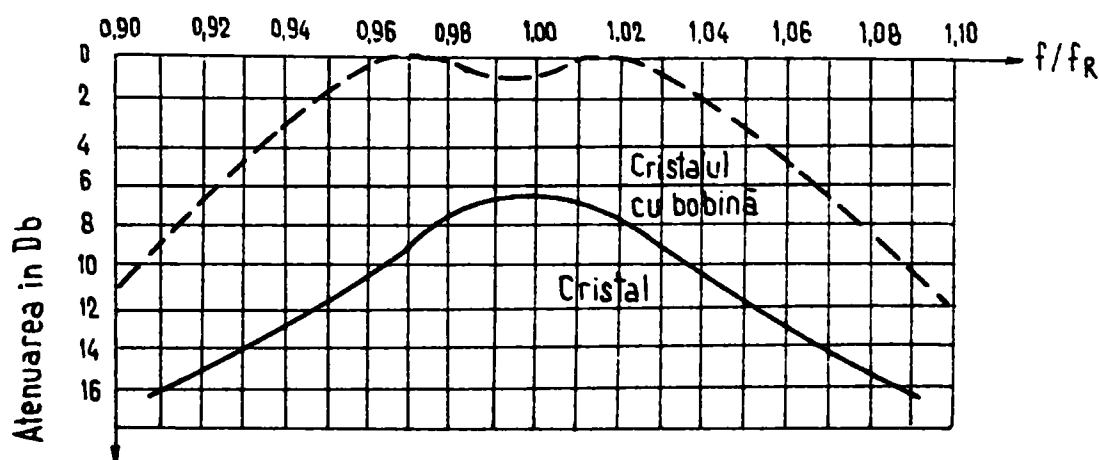


Fig.38

Din curbă se pot vedea pierderile la rezonanță cit și randamentul conversiei din energie electrică în mecanică. Curba are o anumită asimetrie dată de anularea reactanței la frecvențe superioare funcție de rezonanță.

Lățimea benzii de transmisie este controlată, în principal, de factorul: $\left(\frac{C_0}{C_1} \right) \left(\frac{R_A}{R_S} \right) = 1,58$

Pentru a lărgi această regiune este necesară micșorarea raportului capacităților C_0/C_1 , sau de a mări cuplarea electromecanică.

Prin utilizarea unei inductanțe ce neutralizează

capacitatea statică a cristalului, regiunea randamentului maxim se poate extinde peste o gamă mare de frecvențe, iar randamentul poate crește considerabil. Aceasta poate fi făcută printr-o inductanță serie sau paralelă. O inductanță serie duce la o impedanță scăzută a circuitului și cea în paralel la o impedanță ridicată.

Dacă se utilizează o impedanță în paralel, circuitul echivalent devine cel din Fig.39.

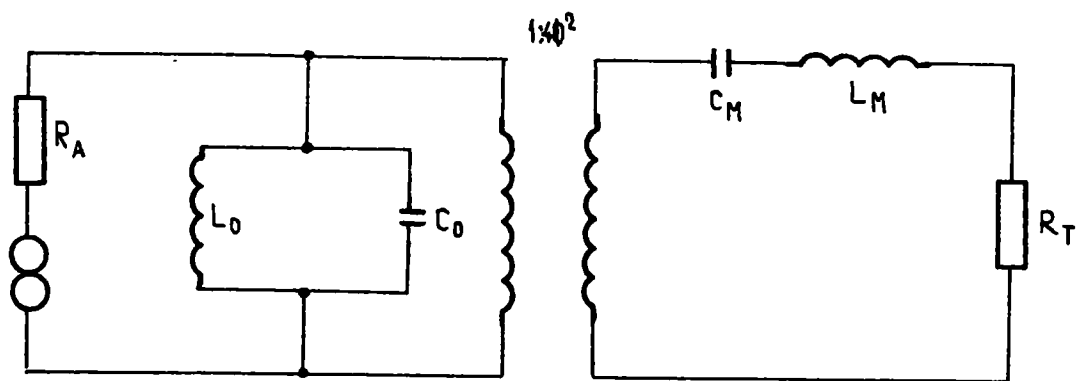


Fig.39 Cuplarea unei inductanțe paralele pentru îmbunătățirea răspunsului

Din tabelele cu filtre se pot scoate relațiile de proiectare:

$$L_0 = 2L_2 = \frac{(f_B - f_A)Z_{i0}}{2\pi f_A f_B} \qquad C_0 = \frac{C_2}{2} = \frac{1}{2\pi (f_B - f_A)Z_{i0}}$$

$$4\epsilon^2 C_M = 2C_1 = \frac{f_A - f_B}{2\pi f_A f_B Z_{i0}} \qquad \frac{L_M}{4\psi^2} = \frac{L_1}{2} = \frac{Z_{i0}}{2\pi (f_B - f_A)}$$

Raportul ($C_0 : 4\psi^2 C_M$) capacităților cristalului considerat ca rețea electrică se poate exprima funcție de constantele cristalului. Astfel obținem:

$$\frac{C_0}{4\psi^2 C_M} = \frac{\pi^2}{8} \left(\frac{1 - k^2}{k^2} \right) = r = \frac{f_A \cdot f_B}{(f_B - f_A)^2}$$

Banda de trecere este legată de cuplările existente în cristal. Impedanțele reflectate în primar și frecvența principală a benzii sunt date de relațiile:

$$L_M C_M = \frac{\rho D}{\pi^2 y_0 (1-k^2)} = \frac{D^2}{\pi^2 v^2} = \frac{1}{4\pi^2 f_A f_B}$$

sau

$$f_R = \sqrt{f_A \cdot f_B} = \frac{v}{2D}$$

și

$$2I_0 = \frac{\sqrt{\frac{\pi^2}{8} \left(\frac{1-k^2}{k^2} \right)}}{\omega_R C_0} = \frac{\sqrt{\Gamma}}{\omega_R C_0} = \frac{1}{2\pi (f_B - f_A) \cdot C_0}$$

Deoarece, rezonanța cristalului cere grosime de jumătate lungime de undă la frecvență principală f_R impedanța de ieșire Z_A a amplificatorului trebuie să fie egală cu Z_{I_0} . La C_0 exprimat în farasi, impedanța rezultă în ohmi. Impedanța mecanică a suprafeței efective a cristalului (care radiază energie) este:

$$Z_{I_0} (2\psi)^2 = \sqrt{2} \left(\frac{k}{\sqrt{1-k^2}} \right) \cdot (\rho v) HL = Z_{IM}$$

Pentru cuarț rezultă o impedanță mecanică reflectată egală cu $2,05 \times 10^5$ ohmi mecanici/cm². La o adaptare corectă a amplificatorului, distorsiunile rezultate sînt mici.

Randamentul rezultat al transferului energiei electrice în mecanică se poate calcula rezolvînd rețeaua din Fig.39 utilizînd o rezistență R_A egală cu cea reflectată (Z_{I_0}). Comparată cu cea ce dă un curent printr-un transformator perfect printr-o rezistență:

$$R_s = \frac{9,69 \cdot 10^{17}}{HL \cdot f_R^2} \Omega$$

obținem relația:

$$\left| \frac{I_N}{I_T} \right| = \frac{2\sqrt{R_A R_s}}{\sqrt{\left[R_A + R_s - \frac{R_A}{\omega^2 L_0 C_1} \left(1 - \frac{\omega^2}{\omega_R^2} \right) \right]^2 + \frac{1}{\omega^2} \left[\left(\frac{R_A R_s}{L_0} + \frac{1}{C_1} \right) \left(1 - \frac{\omega^2}{\omega_R^2} \right) \right]^2}}$$

Exprimată în constantele cristalului, avem:

$$\left| \frac{I_N}{I_T} \right| = \frac{\frac{2\sqrt{Z_{I_0} \cdot R_s}}{(Z_{I_0} + R_s)}}{\sqrt{\left[1 - \left(\frac{Z_{I_0}}{Z_{I_0} + R_s} \right) \cdot \frac{\pi^2}{8} \left(\frac{1-k^2}{k^2} \right) \left(\frac{\omega_R}{\omega} - \frac{\omega}{\omega_R} \right)^2 \right]^2 + \frac{\pi^2}{8} \left(\frac{1-k^2}{k^2} \right) \left[\frac{\omega_R}{\omega} - \frac{\omega}{\omega_R} \right]^2}}$$

Cu valorile numerice pentru acest caz:

$$R_s = \frac{1,5}{2,04} Z_{I_0} = 0,735 Z_{I_0} \quad \text{și} \quad \frac{\pi^2}{8} \left(\frac{1-k^2}{k^2} \right) = \Gamma = 134$$

obținem:

$$\left| \frac{I_N}{I_T} \right| = \frac{0,99}{\sqrt{\left[1 - 77,1 \left(\frac{\omega_R}{\omega} - \frac{\omega}{\omega_R} \right)^2 \right]^2 + 134 \left[\frac{\omega_R}{\omega} - \frac{\omega}{\omega_R} \right]^2}}$$

care, derivată pe un calculator, duce la curba intreruptă din Fig.33. Rezultatul adăugării unei impedanțe paralele duce la obținerea unui circuit filtru. Montajul devine mult mai eficient transformând ca.70% din energia electrică în mecanică pe o bandă de 10% centrată în jurul frecvenței de rezonanță.

În afara benzii de trecere, transferul cade rapid. Dacă este nevoie de mărirea benzii de trecere, este necesară utilizarea de cristale cu un factor de cuplare mai ridicat.

5.4 Aplicații în domeniul prelucrării informației

5.4.1 Deflexia acustooptică în analiza spectrală

Pentru valori mici ale unghiului de incidență θ_1 , unghiul razei difractate este invers proporțional cu lungimea de undă a undei ultrasonore (1-4), deci direct proporțional cu frecvența sa. Acesta este fenomenul de bază utilizat în propunerea de analizor spectral acustooptic (Fig.40).

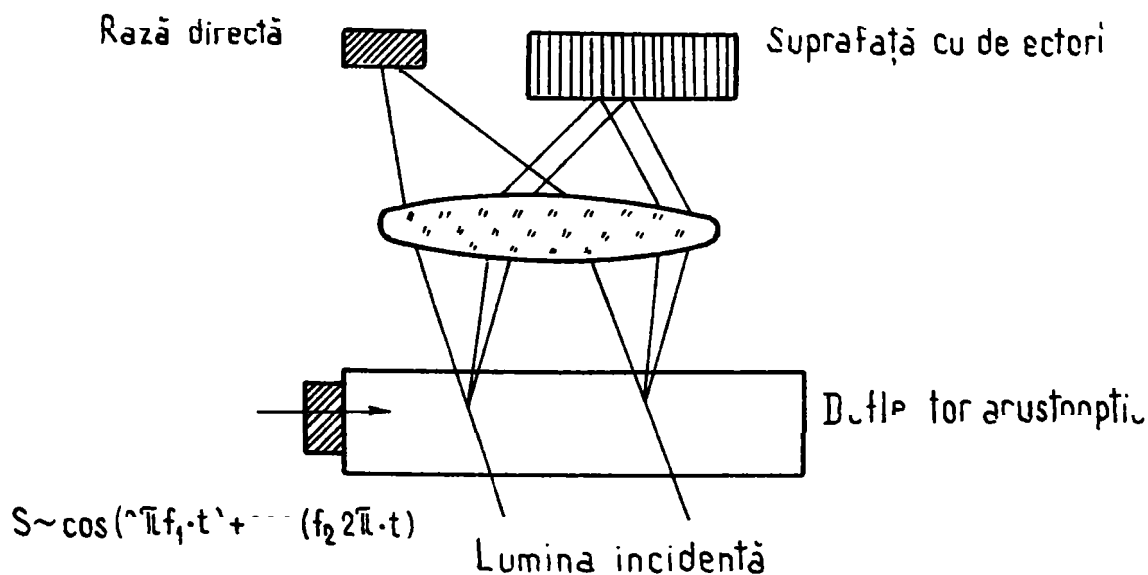


Fig.40 Analizor spectral acustooptic cu mediu cuarț amorf

Banda de trecere a analizorului este cea oferită de deflectorul acustooptic (4.2.4). Rezoluția în frecvență depinde de lungimea de interacțiune (timpul de tranzit - (4.2.6)), banda de frecvență a sursei de lumină și densitatea fotodetectorilor în suprafața cu detectori.

Mărimea spotului (pata luminoasă) obținută în planul focal al lentilei este invers proporțional cu timpul de tranzit. Unghiul razei difractate depinde de lungimea de undă a luminii folosite. De aceea este necesară utilizarea unei surse apropiată de cele monocromatice. Utilizarea laserelor cu gaz permite realizarea acestui deziderat.

Se pot obține rezoluții de 1 MHz pentru o bandă de trecere de 1 GHz, iar pentru benzi de trecere mai mici, cu frecvențe centrale reduse, se poate obține o rezoluție mai bună, deoarece atenuarea undei acustice este mică la frecvențe mai

coborite și se pot utiliza timpi de tranzit mai mari (distanțe de interacțiune mai mici).

Totusi, atit timpul de tranzit cit și viteza de reacție a detectorilor limitează viteza analizorului spectral acustooptic. Utilizarea fibrelor optice duce la mărirea considerabilă a punctelor ce se pot separa pe suprafata cu detectori. Timpul de tranzit poate fi redus numai utilizind lungimi de interacțiune mai mici, ceea ce duce la scăderea rezoluției.

5.4.2 Convoluția in timp real

Prelucrarea in timp real a semnalelor se poate realiza cu dispozitive acustooptice ce utilizează lumina coerentă sau incoerentă și mai multe intrări de unde acustice.

In această metodă, semnalele ce se supun convoluției se utilizează ca generatoare de unde acustice de sens contrar in mediul de interacțiune.

Pentru semnale de intrare cu amplitudine suficient de mică, amplitudinea luminii difractate este proporțională cu amplitudinea semnalului de intrare (3.2.9).

Semnalul S_1 difractă din lumina incidentă, iar semnalul S_2 difractă din lumina difractată de S_1 . Această dublă difracție este aproximativ coliniară cu lumina incidentă.

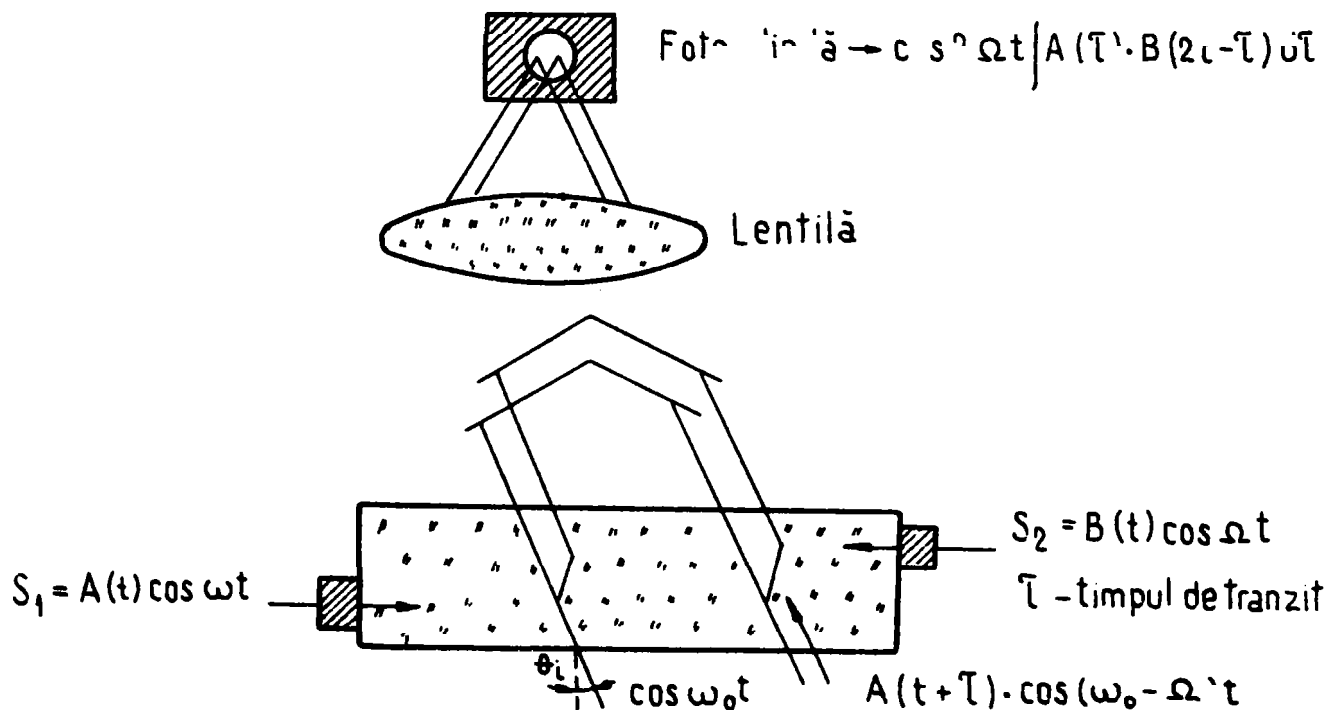


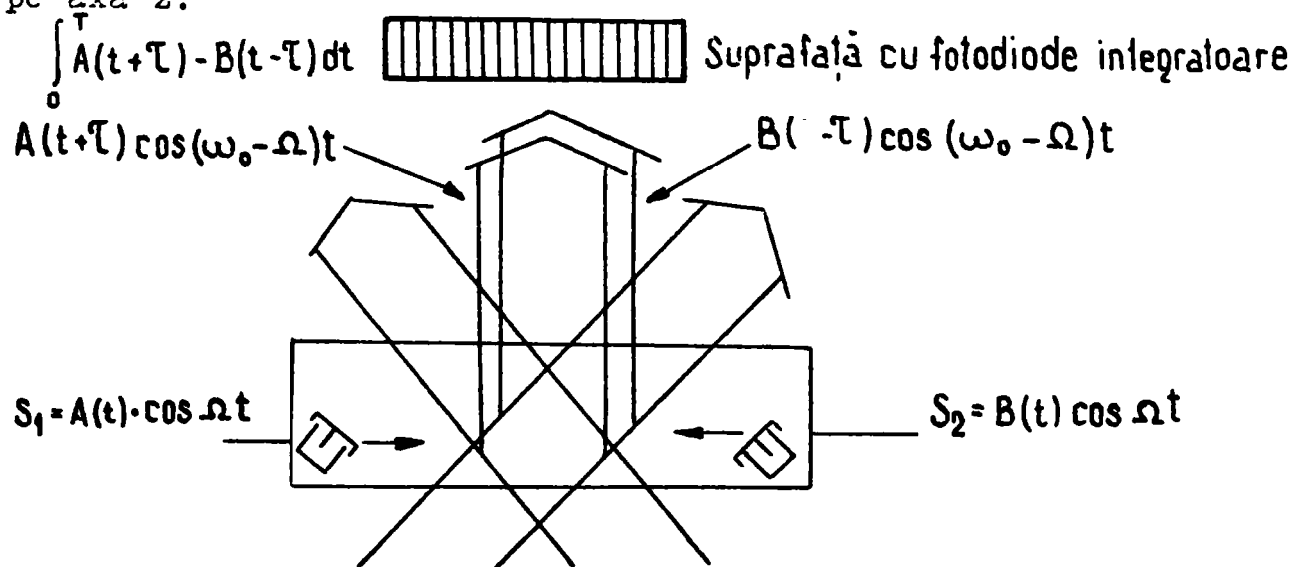
Fig.41 Dispozitiv acustooptic de convoluție in timp real

La ieșire, cele două fascicule sînt focalizate pe o diodă fotodectoare. Detectia luminii incidente și a celei dublu difractate se face și cu o integrare spațială, astfel incit la ieșirea fotodetectorului se obține un curent care conține convoluția lui $A(t)$ și $B(t)$ într-o frecvență de timp comprimată pe o purtatoare $\cos 2\Omega t$.

Au fost construite astfel de dispozitive cu bandă de trecere pînă la 250 MHz și timpi de interacțiune 40 μ sec (produsul timp x bandă de trecere (4.1.5) cca.10.000) [59] .

5.4.3 Corelator cu celulă LiNbO3

O arhitectură de corelator cu integrare în timp, acustooptic, este arătată în Fig.42 unde se utilizează o celulă cu traductor interdigitală de suprafață pe un cristal de niobat de litiu tăiat după y , cu propagare de-a lungul axei x . Anizotropia manifestată de acest material permite instalarea traductorului inclinat față de axa z , rezultînd fronturi de undă inclinate. Unda acustică se propagă, însă, după axa z cu deviații negliabile. Aceasta imparte raza laser în două raze care sînt egale și poziționate la unghiuri egale, dar opuse față de o perpendiculară pe axa z .



Raze laser de la aceeași sursă

Fig.42 Corelator cu integrare în timp

Traductorii, instalați inclinat la unghiuri opuse, generează unde acustice de suprafață, care se propagă în opoziție una față de cealaltă. Interacțiunea Bragg apare între raza din

stinga și unda lansată de traductorul din stinga (A) și între raza din dreapta și unda lansată de traductorul din dreapta (B).

Pentru semnalele acustice centrate pe frecvență de proiectare, undele difractate sunt coliniare și perpendiculare pe axa z. Aceste raze sunt proiectate pe o suprafață cu fotodiode și integrate în timp, rezultând o informație ca o distribuție spațială de-a lungul suprafeței. Curentul la ieșirea suprafeței cu fotodiode este proporțional cu suma fasciculelor luminoase, care la rindul lor conțin produsul între semnale $[A(t+\tau) \cdot B(t-\tau)]$ care poate fi interpretat ca o funcție de corelație între semnalele de intrare $A(t)$ și $B(t)$ într-o fereastră de timp comprimată. Suprafața cu fotodiode este baleiată prin citire secvențială, arătând o corelare pe o plajă egală cu de două ori timpul de tranzit (τ). Acest procesor coerent a permis o bandă de trecere de 60 MHz și un timp de integrare de 30 ms la un câștig de cca.10 [60].

5.4.4 Deflector acustooptic

Pe baza concluziilor practice și de proiectare extrase din expunerile teoretice din prezenta teză, s-a construit primul deflector acustooptic românesc [61].

Deflectorul acustooptic este realizat în conformitate cu tema program de lucru privind contractul de cercetare științifică nr.1770/86 având ca obiect:

Contract colaborare la contractul 21 - 86 - 31/CSEN:

"Sisteme de prelucrare optică a fasciculului laserilor cu emisie continuă YAG; Nd pentru aplicații tehnologice".

Celula acustooptică realizată este folosită drept deflector acustooptic. Realizarea este acoperită de două propuneri de brevete de invenție [85].

Deflectorul (Fig.43) se compune dintr-un mediu de interacțiune acustooptică executat din cuarț, pe care s-a lipit un traductor piezoelectric din cuarț, tăiat pe axa x. După lipire, cristalul de cuarț a fost polizat, cit s-a permis din punct de vedere mecanic (ca să nu se fisureze) până la dimensiuni de zecimi de milimetru.

Fața lipită de cuarț formează primul electrod (argint

evaporat in vid) la care s-a atașat primul terminal pentru tensiunea de excitare. După polizare s-a depus cel de-al doilea electrod.

Blocul de cuarț s-a fixat pe un radiator de aluminiu prevăzut cu canale pentru circulația de apă de răcire.

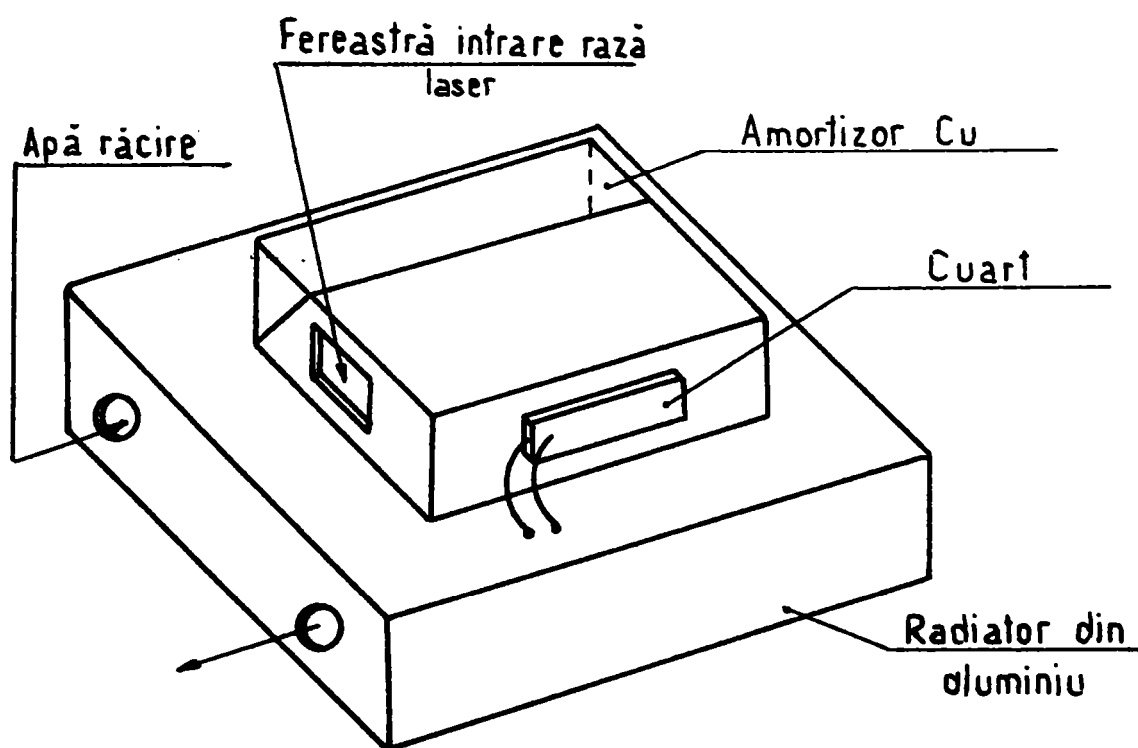
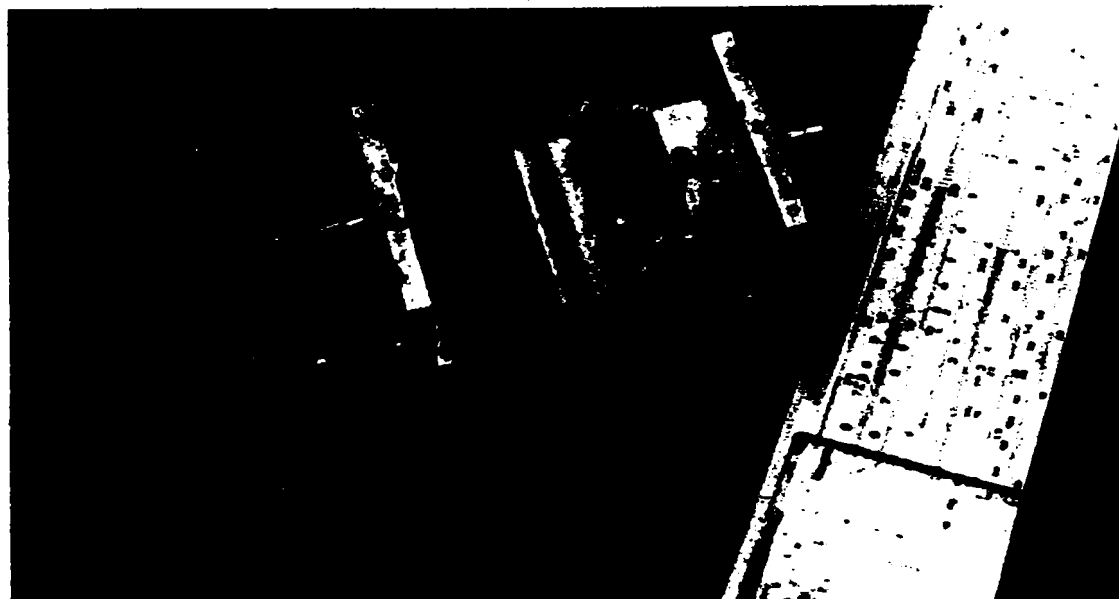


Fig.43 Deflector acustooptic



Fig.43a Realizarea experimentală

Puterea de radiofrecvență (cca.15W) este eliminată cu ajutorul unei circulații de apă de răcire (de la rețeaua curentă de apă).

Pe structura realizată s-a fixat și rețeaua electrică de adaptare - impedanță de 50Ω la 50 MHz (frecvența de lucru aleasă).

Blocul de cuarț este prelucrat prin slefuire la capetele de intrare - ieșire lumină, cu maximum de paralelism posibil (cca.20").

Pe ferestrele intrare - ieșire a fost depus cite un strat antireflex de MgF₂.

Partea opusă a feței, pe care este depus traductorul, s-a executat inclinat pentru devierea în jos a undei sonore. Aceasta permite stabilirea unei unde sonore progresive "pure", în mediu neobținându-se bătăi cu unda reflectată de peretele opus traductorului.

Tot în acest scop s-a fixat un mediu absorbant (Cu), ceea ce atenuează cu cca.5 dB unda sonoră pe peretele inclinat.

Unda sonoră ce se propagă de la traductor în mediu este de tip cvasilongitudinal (Fig.23), fiind de tip progresiv; De la traductor spre peretele inclinat.

Pentru studiu, lumina folosită a fost He-Ne cu $\lambda = 0,63 \mu\text{m}$ TEM00. Incidența se face sub unghi Bragg (1 - 4).

$$\theta_B \approx \frac{\lambda}{2\Lambda}$$

Pentru cuarț, indicele de refracție $n = 1,46$; $v_s = 3,76 \cdot 10^3 \text{ m/s}$ [62]

$$\lambda = n \cdot \lambda_0 = 0,63 \cdot 10^{-6} \text{ m} \cdot 1,46 = 0,92 \cdot 10^{-6} \text{ m}$$

$$\Lambda = \frac{v_s}{f_s} = \frac{3,76 \cdot 10^3 \text{ m/s}}{50 \cdot 10^6 \text{ 1/s}} = 0,075 \cdot 10^{-3} \text{ m}$$

$$\theta_B \approx \frac{0,92 \cdot 10^{-6}}{2 \cdot 0,075 \cdot 10^{-3}} \approx 0,613 \cdot 10^{-2} \text{ rad} = 2^\circ 6'$$

Unghiul Bragg se determină practic prin rotirea feței de incidență pînă la obținerea maximului în ordinul întâi de difracție.

Banda de modulație este determinată în principal de doi factori: banda de trecere a traductorului și timpul de tranzit al undei ultrasonore prin fasciculul luminos. Modul de fabricație pentru traductori cu bandă largă de trecere a fost pus la punct pe la începutul anilor 1960, iar cu noile materiale piezoelectrice nu mai există limitări serioase.

Limitarea dată de timpul de tranzit devine cel mai important factor.

Adrianova [63] a investigat relația între caracteristica de frecvență a celulei ultrasonore și timpul de tranzit prin fasciculul luminos al undei ultrasonore. Un studiu preliminar arată că la parametri optici și ultrasonori aleși corespunzători, banda de modulare maximă este proporțională cu frecvența purtătoare ultrasonoră. Aceasta duce la concluzia măririi frecvenței purtătoare și la utilizarea difracției Bragg.

Singura limitare este dată de procesul de polizare în obținerea traductorului piezoelectric. De aceea am ales frecvența de cca. 50 MHz.

Cercetările noastre se bazează pe utilizarea exclusivă a

efectului de difracție ultrasonoră pentru modularea intensității totale a unui fascicul luminos colimat.

Modulatoarele, în care timpul de tranzit ultrasonor se face intenționat mare, duc la o modulație spațială a luminii.

Pentru utilizarea practică, ca deflector, se pot defini două moduri principale de investigat: (1) efectul de difracție poate fi utilizat pentru a extrage putere din fasciculul de ordinul 0 (nediffractat) sau (2) puterea difractată în fasciculul de ordinul 1 poate fi utilizată ca ieșire.

Reluăm Fig.3:

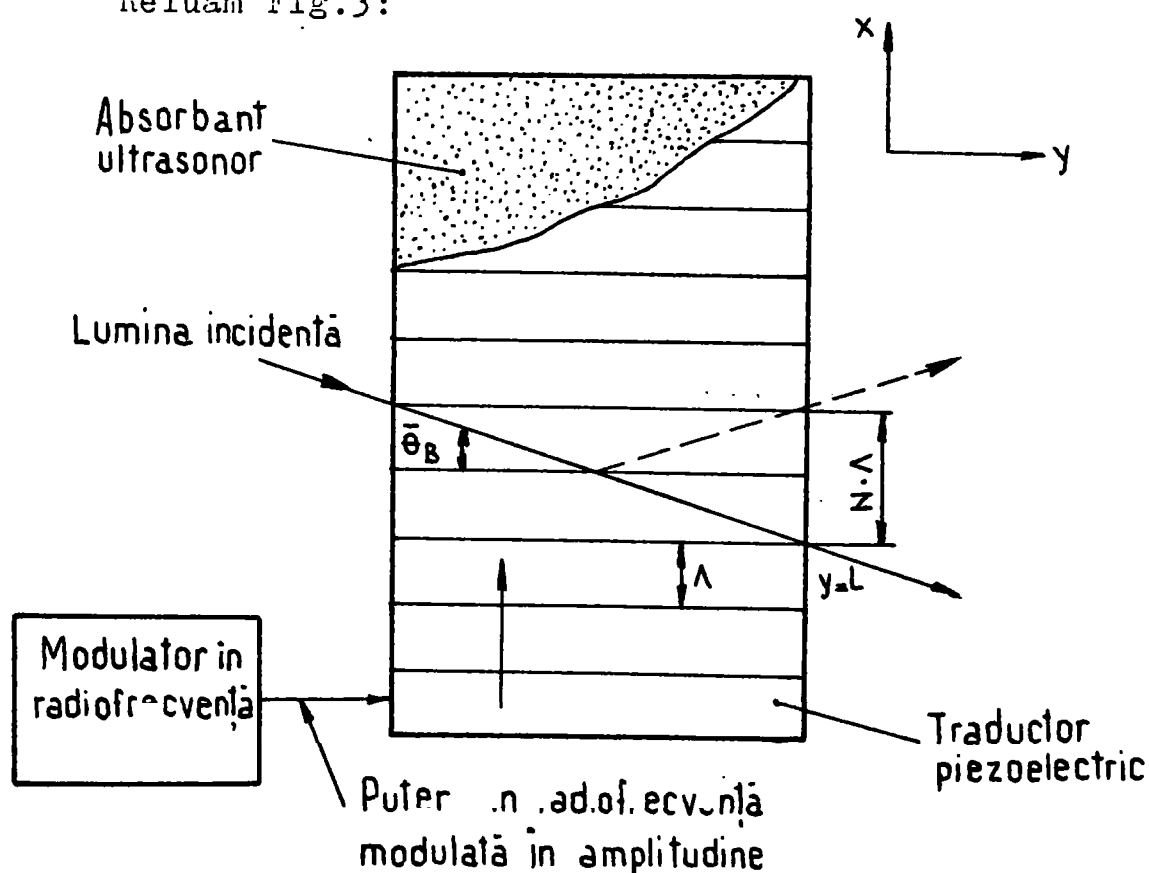


Fig.44

În mod normal, se utilizează primul mod, dar pentru anumite aplicații este preferabil cel de-al doilea mod, ca de exemplu, pentru modulatoare, unde se urmărește un grad cit mai mare de modulare și nu se poate obține în fasciculul de ordinul 0. O modulare 100% a fasciculului de ordinul 1 este posibilă (din moment ce fasciculul luminos poate fi diffractat în acest ordin).

Un alt exemplu ar fi devierea de frecvență față de purtătoarea incidentei.

Se pot cita condiții experimentale, găsite inițial

teoretic de Extermann [64,65] și investigate prin calcule numerice, pe calculator. Aceste rezultate sînt astăzi utilizate pentru a specifica condițiile experimentale ce duc la difracția de tip Bragg.

Prima condiție este incidența sub unghiul Bragg (1-4). Dacă această condiție este îndeplinită, fasciculul de ordinul 1 difractat pleacă sub unghiul θ_B (ca reflexie pe frontul de undă ultrasonoră).

După Willard [66] se definește parametrul de interceptie N . Acesta reprezintă numărul de lungimi de undă ultrasonore traversate de lumină în trecerea ei prin fasciculul sonor de lățime L la unghi Bragg.

$$N = (L \cdot \text{tg} \cdot \bar{\theta}_B) / \lambda \quad (5.4.1)$$

Pentru cazul nostru, practic, $\lambda / \Lambda \ll 1$, $\text{tg} \bar{\theta}_B \approx \sin \bar{\theta}_B$ din (1-4):

$$N \approx \frac{1}{2} [(\lambda \cdot f_s^2 \cdot L) / (n \cdot v^2)] \quad (5.4.2)$$

v - viteza ultrasonorei.

Parametrul Raman-Nath v , se definește ca:

$$v = (2\pi \cdot n_1 \cdot L) / \lambda \quad \text{care este} \quad (5.4.3)$$

întirzierea de fază incrementată asociată cu n_1 [1] .

În alegerea unui criteriu pentru condiția Bragg este util a se considera, pentru început, cazul limită $N = \infty$, chiar dacă este irealizabil practic (Bathia și Noble [1]).

Dacă se consideră această condiție, astfel ca v , (5.4.3) rămîne finit, expresiile analitice pentru ordinul 0 și 1 se reduc la următoarele forme simple:

$$I_0 \approx \cos^2 (v/2) \quad (5.4.4)$$

$$I_1 \approx \sin^2 (v/2) \quad (5.4.5)$$

I_1 , fiind intensitățile relative față de intensitatea incidenței. Eineinteles, maximile sint 1 și prima maximă se atinge la $v = \pi$

Cum $N = \infty$ este fizic de neatins, dependența de v in (5.4.5) va fi doar aproximată in oricare caz practic. Pentru $N=1$, Hence [64] arată ca primul maxim apare foarte aproape de $v = \pi$, dar valoarea este de 0,975 (nu 1,0).

De asemenea, pentru $N = 3/4$ și $v = \pi$ se obține teoretic și experimental $I_1 = 0,93$.

Bazați pe aceste rezultate, condiția necesară pentru difracția de tip Bragg este $N \geq 1$, dacă se dorește obținerea unei intensități de mai mult de 0,95 in primul ordin de difracție. Sau (5.4.2):

$$(\lambda \cdot f_s^2 \cdot L) / (n \cdot v_s^2) \geq 2 \quad (5.4.6)$$

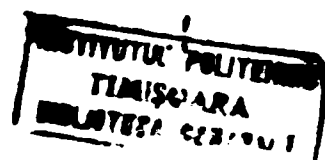
Pentru $\lambda = 6,328 \times 10^{-5}$ cm (laser He-Ne), cu cuarț drept acustic ultrasonic ($n = 1,46$ și $v_s = 3,76 \cdot 10^3$ m/s), f_s exprimat in Hz, L in cm (5.4.6) devine:

$$\begin{aligned} 6,328 \cdot 10^{-5} \cdot L \cdot f_s^2 &\geq 2 \cdot 1,46 \cdot 3,76^2 \cdot 10^{10} \\ L \cdot f_s^2 &\geq 6,52 \cdot 10^{15} \cdot H_2^2 \cdot \text{cm} \end{aligned} \quad (5.4.7)$$

Valoarea intensității este constantă in ordinele de difracție dacă unda ultrasonoră nu este modulată. Aceasta duce la o modulare uniformă a indicelui de refracție.

Dacă amplitudinea fasciculusului ultrasonor este modulată (ca o funcție de intrare, de ex.), o modulație corespunzătoare apare in oricare din fasciculele difractate, dar in general, răspunsul nu este instantaneu datorită timpului de tranzit al undei ultrasonore. Dacă se aplică o modulare sinusoidală, diversele ordine sint modulate sinusoidal, dar cu faze diferite.

După cum se arată in [63] modularea rezultantă a unui ordin de difracție dat este proporțională cu media spațială a modulărilor diverselor părți din lumina incidentă; această medie depinde de raportul intre perioada modulării și timpul de tranzit.



Tot din [63] se concluzionează că condiția de producere a unei modulații de 100% a fasciculului de ordin 0, la frecvențe joase de modulare, pentru un timp de tranzit nu prea mic este de a reduce factorul de modulare a luminii (in intensitate) cu cca.30% la o frecvență de modulare f_m de o valoare minimă dată de:

$$f_{mm} = k_1 (v_s / D_0) \quad (5.4.8)$$

unde D_0 - lățimea fasciculului luminos, f_{mm} poate fi interpretat ca o bandă de trecere utilizabilă sau frecvența de tăiere a modulației.

Valoarea $k_1 = 1/2$ este valabilă doar pentru fascicule cu distribuție uniformă pe lățimea D_0 . Pentru alte distribuții se calculează alți factori k_1 . Se observă că f_{mm} este chiar timpul de tranzit ultrasonor.

In conformitate cu (5.4.8) pentru un mediu ultrasonor dat (cu v_s precizat), creșterea benzii de trecere se obține reducând lățimea fasciculului optic D_0 . Există totuși restricții in acest sens vizavi de lungimea de undă ultrasonoră Λ . Raportul D_0 / Λ nu trebuie să devină prea mic, deoarece ordinele de difracție nu se separă [67]. Se arată că pentru D_0 / Λ separarea ordinelor de difracție este mai mare decit de patru ori lățimea lor, judecînd după fotografia difracției.

5.4.4.1 Montajul experimental

Raza laser (He-Ne) colimatată atacă la unghi Bragg celula ultrasonoră. Fasciculus difractat de ordinul 1 sau 0 este selectat conform montajului din Fig.45 cu ajutorul unei diafragme și a unei oglinzi.

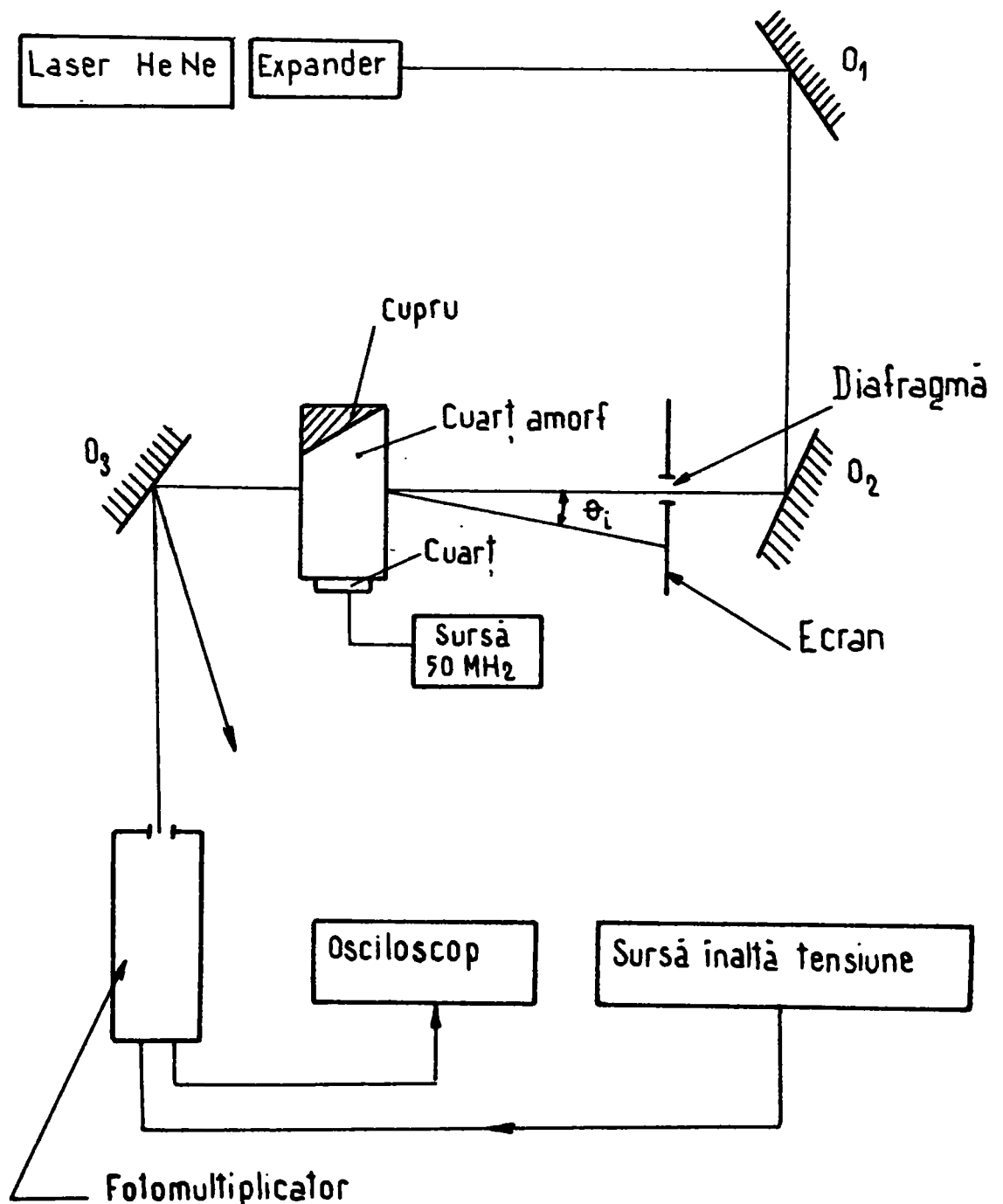


Fig.45 Montaj experimental pentru investigarea deflectorului acustooptic



Fig.45a

Amplificatorul (Fig.47) este realizat dintr-un etaj de adaptare și un preamplificator, acordat pe o frecvență centrală de 50 MHz, având în final tranzistorul de radifrecvență 2N4933.

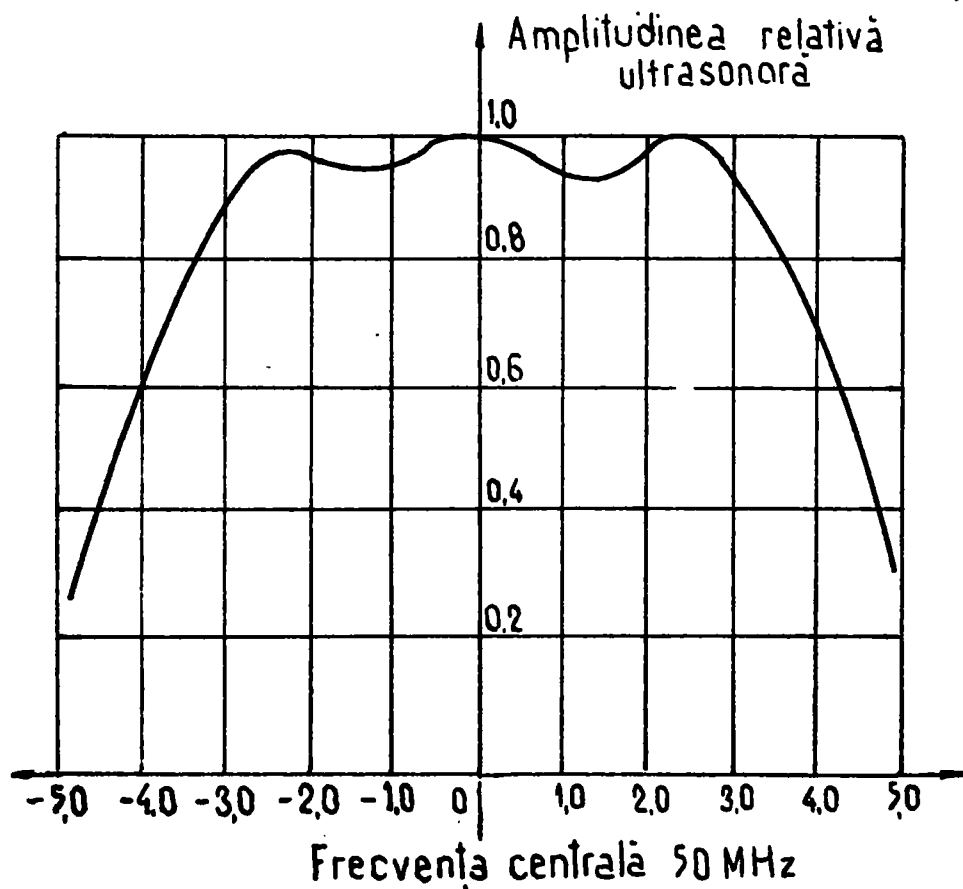


Fig.46 Răspunsul în frecvență al traductorului ultrasonor

Pentru încercările în frecvență acesta a fost excitat de un generator de radiofrecvență de tip ENG-TR 0614.

Pentru încercările în impuls s-a proiectat și s-a realizat un generator acordat pe 50 MHz modulată în impuls.

Măsurătorile făcute au ca rezultat:

- a) răspunsul în frecvență al traductorului
- b) determinarea frontului de deschidere a celulei
- c) determinarea adâncimii de modulare
- d) determinarea unghiului de deflexie
- e) determinarea dependenței unghiulare a modulării
- f) verificarea condițiilor de difracție Bragg și
- g) măsurarea benzii de modulare

S-a utilizat un fotomultiplicator de tip $\Phi 3Y-35$

Celula acustooptică are drept mediu interactiv cuarț, unda ultrasonoră fiind produsă de un traductor, acordat pe 50 MHz, executat din cuarț.

Banda de trecere a traductorului s-a mărit la cca. 10 MHz prin adaptare de impedanță în jurul frecvenței de rezonanță. Modularea indicelui s-a controlat cu ajutorul unui generator de semnal de radiofrecvență, utilizându-se un osciloscop (Tektronix 450), pentru a măsura și monitoriza nivelul de radiofrecvență la terminalele traductorului.

Asa cum am amintit, sursa de lumină este un laser He-Ne, TEM₀₀ cu $\lambda = 6328 \text{ \AA}$ cu ieșirea colimată.

S-a măsurat și s-a găsit o distribuție gaussiană cu ajutorul unui orificiu de investigare de-a lungul diametrului fasciculului luminii transmise. Devierea s-a observat cu ochiul liber, aceasta afișându-se pe un perete de cca. 4,0 m de celula acustooptică, sau prin reflexie pe acesta.

Fasciculul ultrasonor este absorbit într-un terminal din cupru, aflat pe fața opusă a traductorului. Diametrul fasciculului laser a fost ales de 4 mm pentru majoritatea măsurătorilor.

5.4.4.2 Răspunsul în frecvență al traductorului

Răspunsul în frecvență al traductorului piezoelectric s-a determinat prin măsurarea intensității luminii în fasciculul de ordinul 1 ca o funcție de frecvență a purtătoarei la o tensiune constantă la intrarea cristalului. Rezultatele au dus la Fig.46.

Pentru excitația în radiofrecvență s-a proiectat și s-a realizat un amplificator de radiofrecvență acordat pe o frecvență

centrală de 50 MHz, cu o putere de 15 W pe o impedanță de 50 Ω.

Tranzistoarele folosite sînt de construcție deosebită pentru a asigura amplificarea necesară la frecvențe ridicate [68, 69, 70, 71].

Primul etaj al amplificatorului, care cuprinde tranzistorul T1, duce semnalul la o valoare ce permite atacul tranzistorului T2 (2N3375) dintr-un etaj prefinal. Semnalul amplificat de T2 se aplică printr-un circuit la baza tranzistorului de putere T3 (2N4933) [72, 73].

Filtrul trece jos este necesar pentru a extrage din semnalele colectoarelor tranzistorilor T2 și T3 a fundamentalei [68, 74] (cele două tranzistoare lucrează în clasa C, ceea ce determină la ieșire un mare număr de armonici ale frecvenței purtătoare).

Filtrul trece jos, împreună cu celelalte elemente formează un circuit de adaptare între impedanța de ieșire a tranzistorului final și cea a sarcinii de ieșire (50 Ω).

Circuitul de adaptare la intrare, cit și la ieșire, are două funcțiuni importante. Prima, transferă nivelele de impedanță cerute de elementele active și cele fixe (de ex. ieșirea tranzistorului cu impedanța de ieșire cerută (50 Ω)). Cea de-a doua, face discriminarea de frecvență prin intermediul factorului, Q, de calitate a circuitului rezonant, transformă energia armonicilor în frecvența energiei cerute la ieșire și previne apariția componentelor nedorite la ieșire.

Circuitele s-au proiectat pentru stabilitate mare în frecvență împiedicînd apariția oscilațiilor. Componentele s-au selectat, pentru a nu avea componente parazite.

Polarizarea circuitelor s-a făcut cu grijă, șasiul este dintr-un material foarte bun conductor - din aluminiu. Lipiturile sînt cit mai scurte posibil. Masa este de obicei comună la mai multe circuite.

Modulatorul în impulsuri are ca generator un etaj clasic (Fig.48), care este modulat în impuls cu ajutorul unui multivibrator, realizat cu circuitul integrat E555 și a unui univibrator realizat cu circuitul CDB4121 [75,76,77].

Reteaua RC aferentă lui 555 se alege de așa manieră,

incit să se obțină o frecvență de repetiție de 0 - 5 KHz, iar cea aferentă lui CDB4121 să producă impulsuri de 10-1000 μ sec .

Redresorul are trei etaje [77] . Unul care produce 25 v, necesari etajului de putere in radiofrecvență; +12 v pentru generatorul modulată de 50 MHz și +5 v pentru CDB4121 [78].

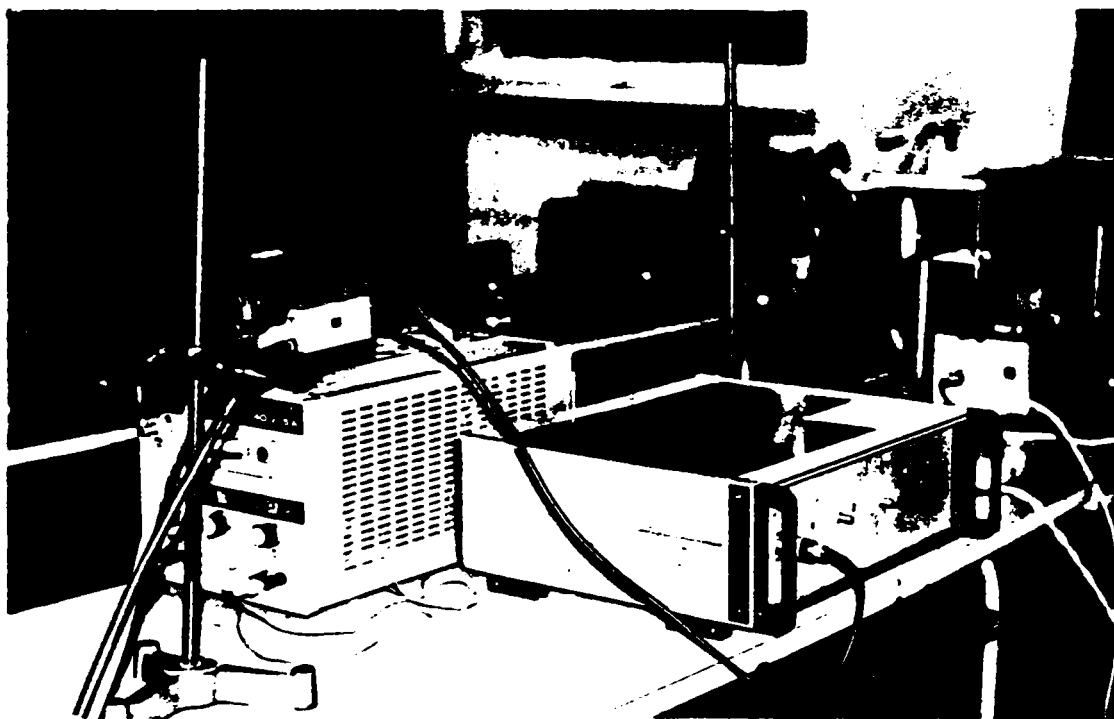


Fig.47a Generatorul de radiofrecvență, de putere variabilă modulată in impuls

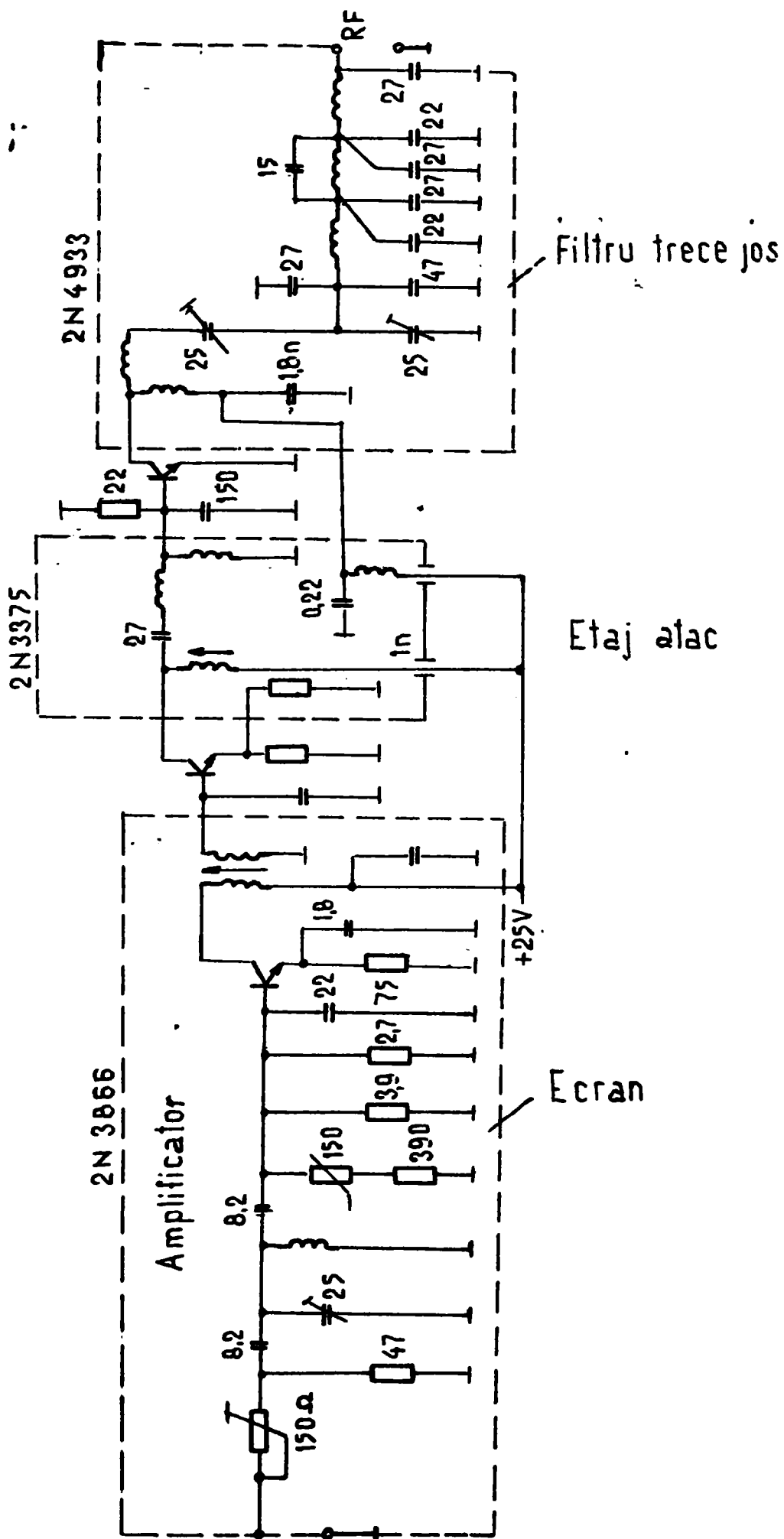


Fig.47 Amplificatorul de radiofrecvență acordat pe 50 MHz. Puterea de ieșire 15 W pe o sarcină de 50 Ω .

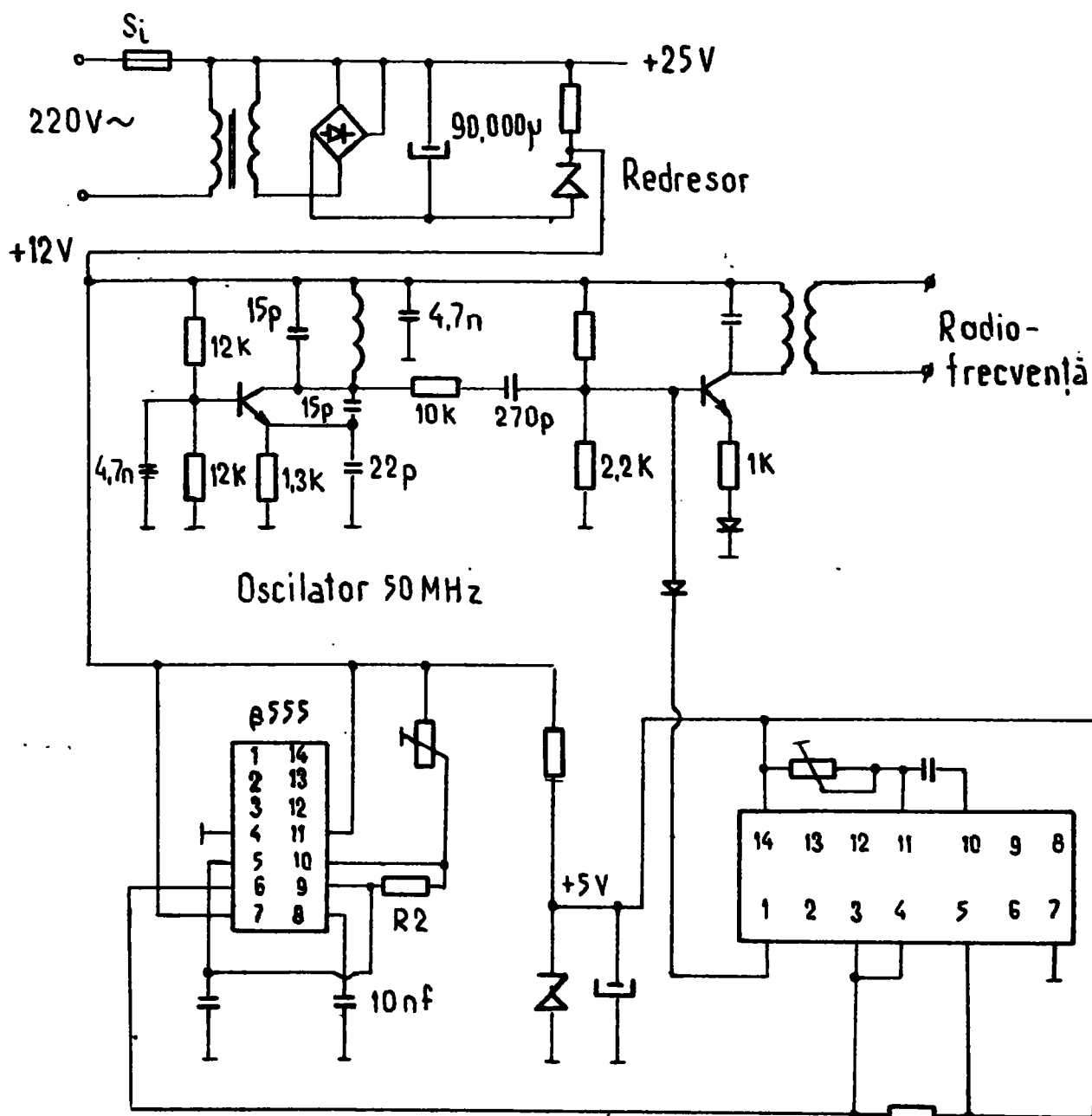


Fig.40 Generatorul de 50 MHz modulată în impuls
 Frecvența de repetiție 0-5 KHz
 Impulsuri 10-1000 μ sec

5.4.4.3 Determinarea frontului de deschidere a celulei

Cu acest montaj s-a obținut pentru amplificatorul de radiofrecvență un timp de urcare a puterii de radiofrecvență sub $0,1 \mu$ sec și un timp de stingere (coborire) de cca. 1μ sec.

Schema din finalul etajului de radiofrecvență este specială pentru a se obține un timp de stingere cit mai scurt, acesta fiind puternic influențat de energia magnetică immagazinată

in inductanțele montajului final.



Fig.49 Timpul de stingere 20mV/div., 1μsec/div. 1 KHz; 51 μ sec; 33V/50Ω; S1/1000V. Reglaj pentru cuplaj maxim la trimer

Un timp de stingere scurt permite utilizarea deflectorului optic in cavitatea laser a unui laser in impuls (de exemplu de tip YAG).

Timpul de curcare a amplificatorului nu este critic, fasciculul laser este scos din axă o dată cu amplificarea tensiunii de radiofrecvență. In momentul stingerii se lansează puterea electromagnetică acumulată in cavitatea laser. Timpi de stingere de ordinul a 1 μ sec permit lansarea a unui singur impuls "gigant". Timpi mai lungi (5-6 μ sec) duc la fragmentarea energiei electromagnetice acumulate intr-un tren de impulsuri de energie, evident mult mai mici, suma lor fiind aproximativ constantă.

O altă determinare ce s-a făcut este adincimea de modulație.

5.4.4.4 Adincimea de modulație

Se definește (4.1.1) drept:

$$\eta_m = \frac{I_m - I_0}{I_m}$$

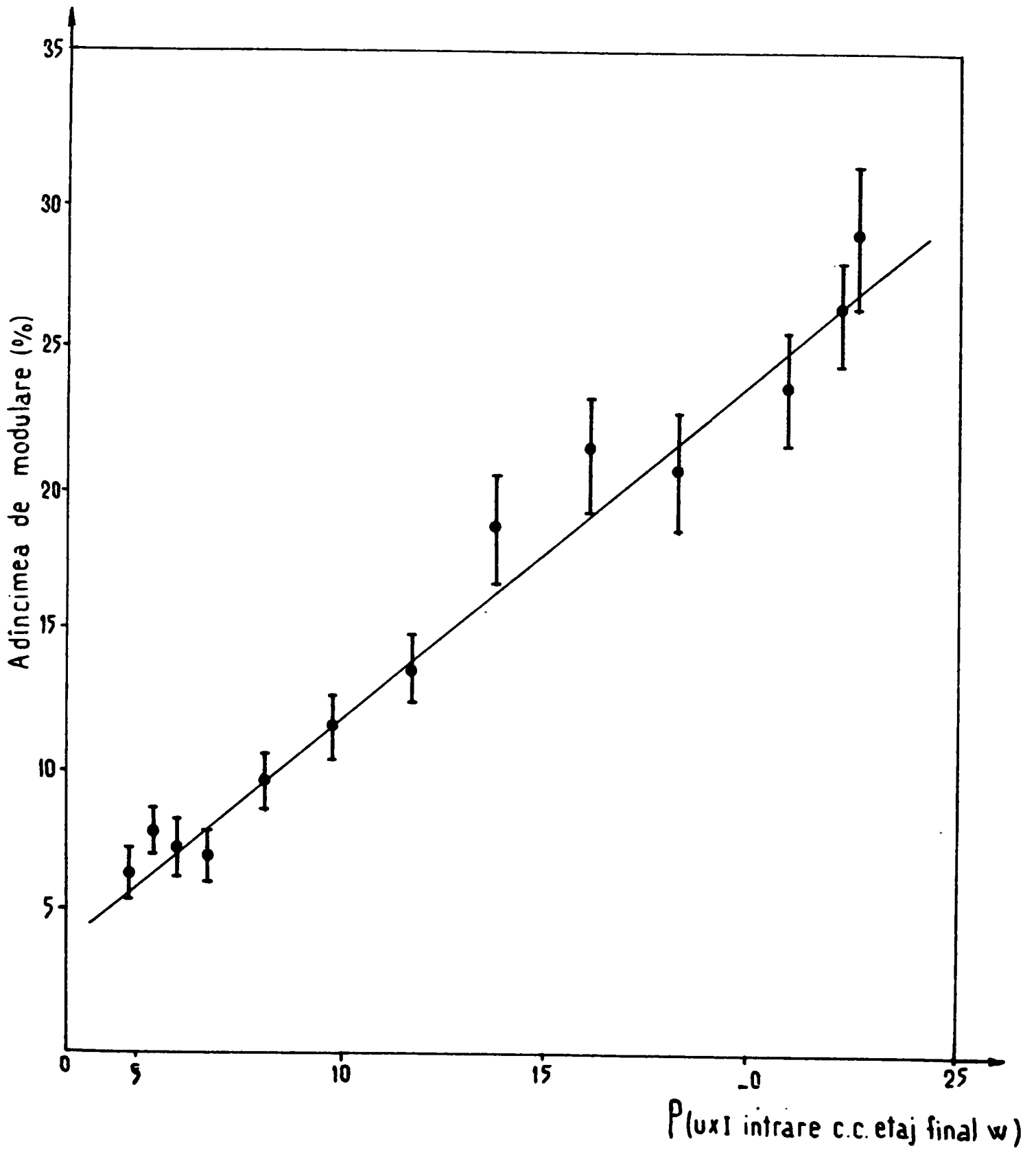


Fig.50 Adîncimea de modulare funcție de puterea de radio-frecvență absorbită de celula acustooptică

Se determină experimental rotind oglinda 03 de așa manieră încât fasciculul nedeformat să cadă în fanta fotomultiplicatorului (Fig.45). Se observă pe osciloscop. (Fig.52 reprezintă măsurarea pe montaj).

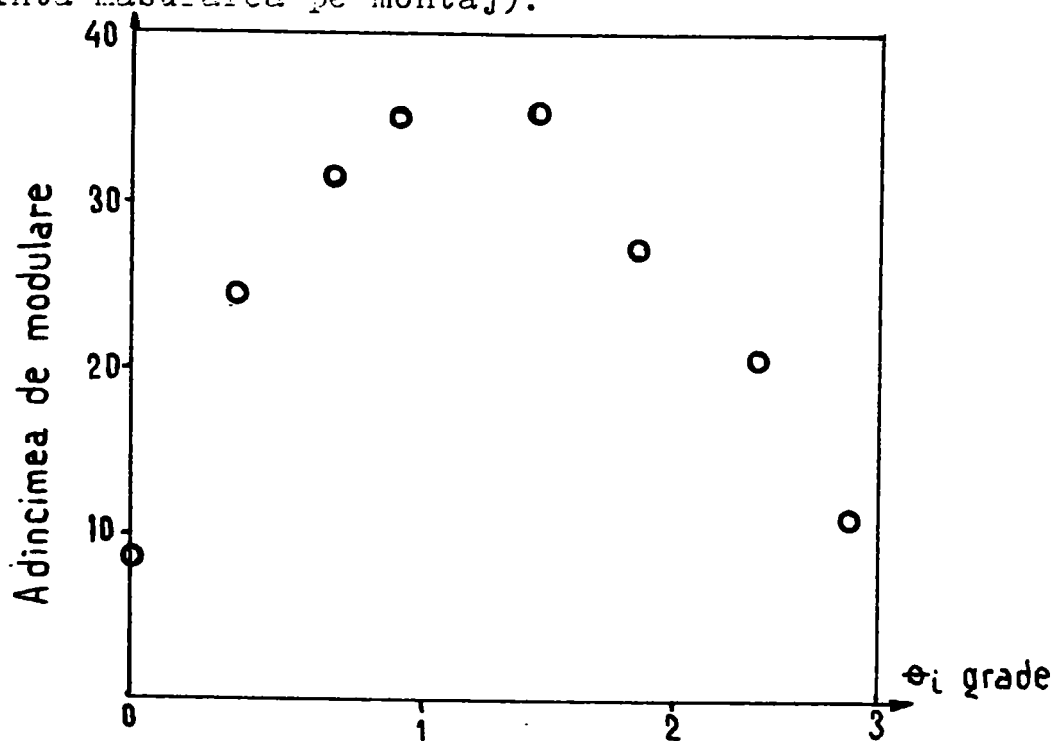


Fig.51 Adincimea de modulare functie de rotirea celulei acustooptice

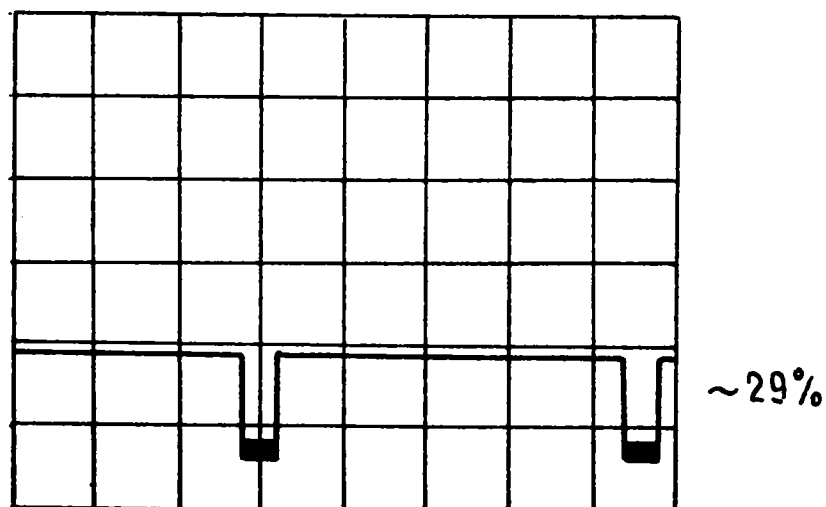


Fig.52 Adincimea de modulare (pata centrală) 50 mV/div., 0,2 μ sec/div., $f_{rep} = 1$ KHz, durata 51 μ sec; puterea ~ 33 W/50 Ω ; 81/100 V; cuplaj maxim

S-a prezentat grafic adincimea de modulare funcție de puterea la amplificator (Fig.52). S-a considerat puterea etajului final funcție de curentul continuu absorbit de etajul final.

5.4.4.5 Determinarea unghiului de deflexie

Se scoate fotomultiplicatorul și se observă pe un ecran așezat la cca. 4 m. Se măsoară exact distanța între fereastra de ieșire a deflectorului și ecran cit și distanța între centrul petelor deviată și nedeviată. Se împart cele două distanțe (s-au obținut 5,6 mrad).

5.4.4.6 Determinarea dependenței unghiulare

Se aranjează oglinda 03 (Fig.45) ca să cadă pe fotomultiplicator fasciculul nedeviat. Citirile pe fotomultiplicator se fac funcție de rotirile ce se aplică deflectorului. Drept unghi se ia unghiul razei reflectate de fereastra de intrare, pata luminoasă dată de aceasta, fiind observată pe un ecran în fața celulei acustooptice.

S-a obținut graficul (Fig.51)

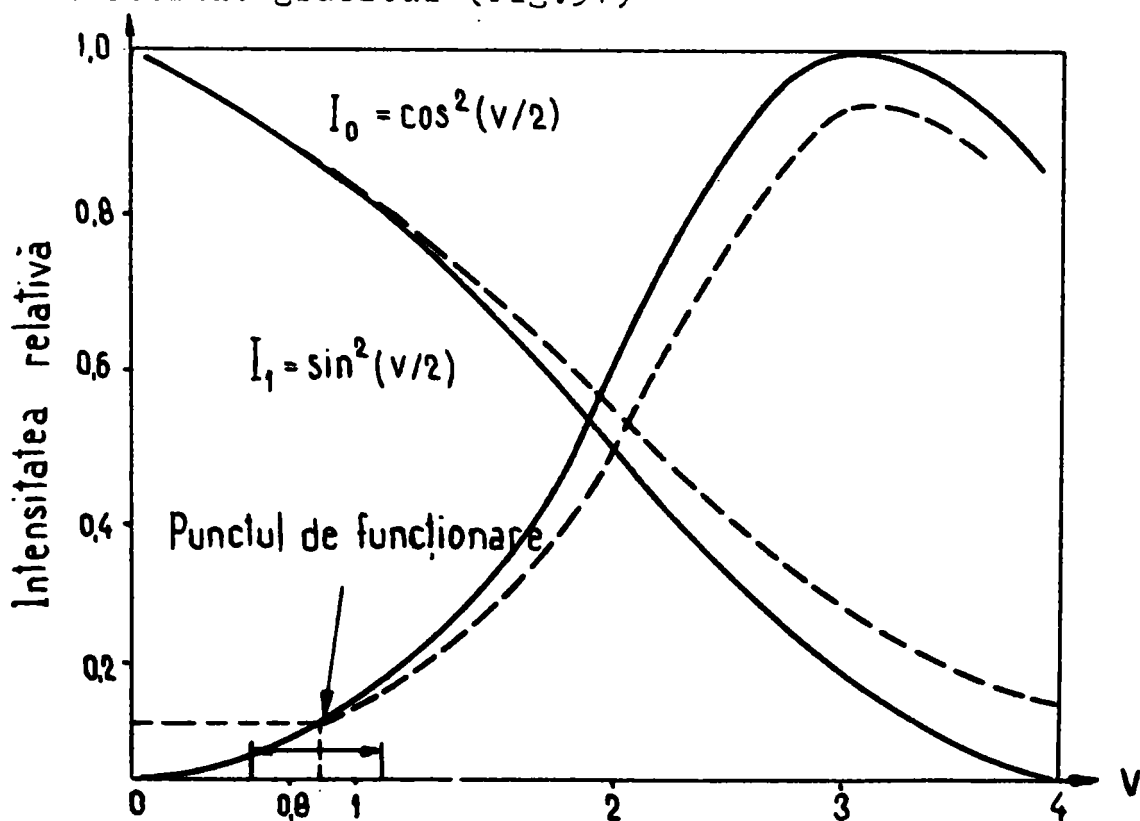


Fig.53 Intensitatea fasciculelor de ordinul 0 și 1 la incidenta Bragg funcție de parametrul Raman-Nath

Rezultatul indică o valoare efectivă M de cca. $3/4$, judecând după maximul intensității relative în primul ordin obținut de 0,92, apropiat de cel obținut de Hence [64].

De altfel, valoarea lui M obținută este mai mică decât cea așteptată pe baza lățimii traductorului (1,0 cm) și frecvența ultrasonora utilizată (50 MHz); $M = 0,1$, efectul Bragg a fost încă pronunțat. Pentru condiția în care $I_1 = 0,92$ (un unghi Bragg și $v = \bar{v}$), intensitatea de ordinul $I_{-1} = 0,002$; la rotirea celulei, pentru a maximiza pe aceasta, intensitățile I_{+1} și I_{-1} s-au schimbat între ele, după cum era de așteptat, pentru condițiile de difracție Bragg.

5.4.4.7 Verificarea condițiilor de difracție Bragg

În acest scop, intensitățile fasciculelor difractate au fost măsurate funcție de amplitudinea ultrasunetului, utilizând modulația rectangulară. Pentru măsurătoare s-a utilizat Power-Meter de tip RDG cu o rezistență de sarcină de 150Ω ceea ce îi permite un răspuns de cca. $10 \mu\text{sec}$. Față de fotomultiplicator, acesta nu se saturează și nu prezintă efecte de oboseală. Amplitudinile impulsurilor s-au măsurat pe oscilosco (Tektronik 453). Acesta oferă o precizie de măsurare de cca. 5%.

Relațiile (5.4.4) și (5.4.5) ce dau curbele teoretice pentru fasciculul nedeviat și deviat s-au trecut într-un grafic ca în Fig. 53. Datele experimentale s-au adaptat desenului cu o scară de conversie între tensiunea de excitație măsurată și v , astfel încât maximele și minimele datelor experimentale să coincidă cu cele teoretice. Curba teoretică a fost trecută cu ajutorul unui calculator Hewlett-Packard 9845.

5.4.4.8 Măsurarea benzii de modulare

Pentru măsurarea benzii de modulare au fost utilizate condițiile Bragg (celula orientată să maximizeze intensitatea într-unul din ordinele 1). S-au efectuat măsurători pentru patru diametre de fascicule luminoase. Pentru fiecare din cele patru diametre de fascicule optice s-a măsurat tensiunea la ieșirea fotomultiplicatorului funcție de frecvența de modulare.

Cele patru diametre au fost: 0,05; 0,15; 0,20; 2,0 mm. Fantele au fost montate pe o turela care asigură o mișcare

micrometrică pe două direcții. S-a căutat poziția care asigură o transmisie maximă de lumină, măsurată cu Power - Meter.

S-a reprezentat pe o curbă puterea transmisă față de diametrul deschiderii și cel corespunzător la jumătatea de putere transmisă și s-a determinat din curbă. Pentru a asigura paralelismul s-au făcut măsurători și la 1 cm în față și în spatele celulei ultrasonore.

Pentru măsurătorile de bandă de trecere s-a modulat cu valori joase ale adincimii de modulație (max. 0,25) pentru a minimaliza distorsiunile asociate neliniarității curbei de transfer a traductorului.

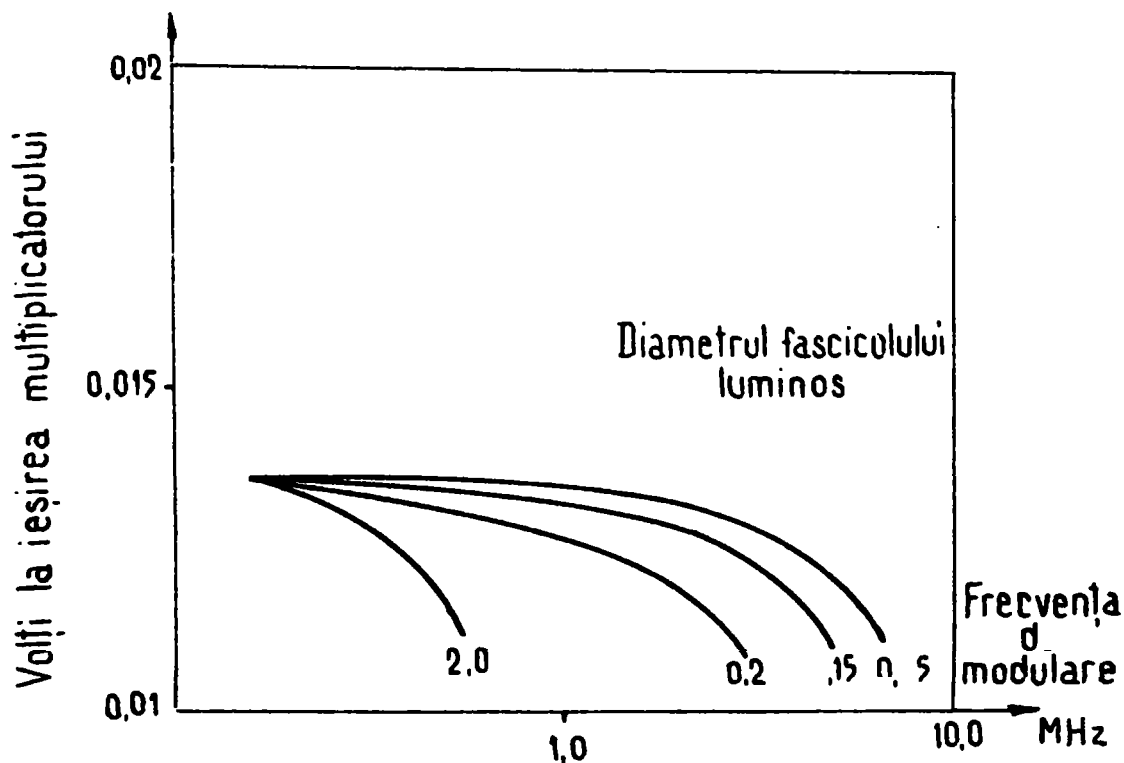


Fig.54 Răspunsul modulării în frecvență pentru diferite diametre ale fascicolului luminos

Pentru o adincime de modulare mai mare, conținutul în armonici la ieșirea fotocelulei devine important, conducând la erori de măsurare. Acestea se accentuează mai ales când armonicile depășesc banda de frecvență nominală a voltmetrului de radiofrecvență folosit (Meratronik 640) în paralel cu osciloscopul. Punctul de funcționare este arătat în Fig.53.

Datele măsurătorii, după ce s-a aplicat corecția de răspuns al traductorului (Fig.46), s-au figurat în Fig.55.

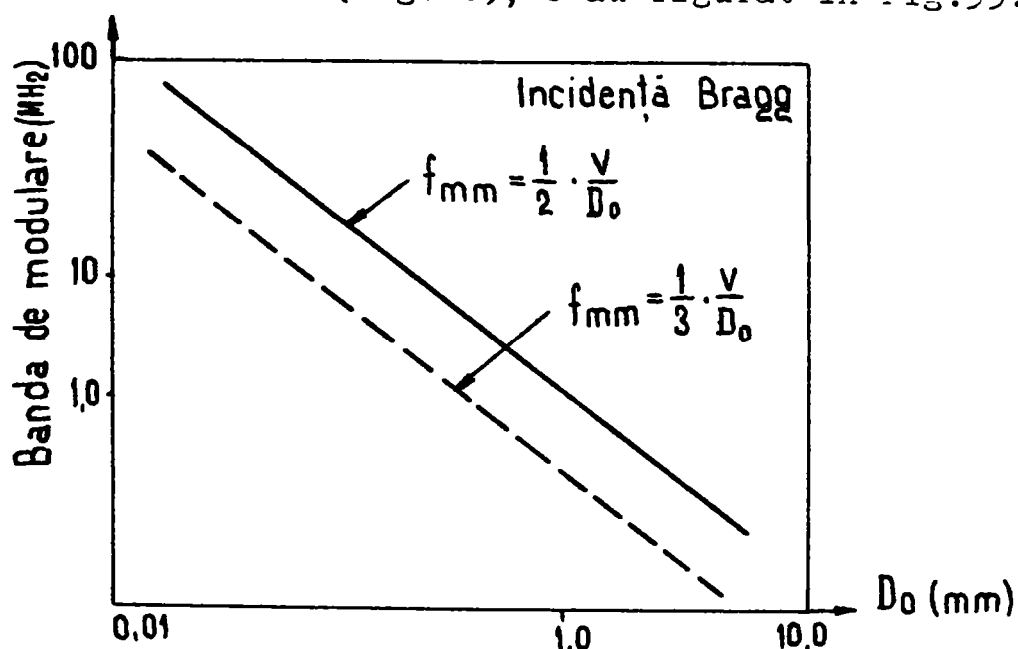


Fig.55 Banda de modulare față de diametrele fasciculelor luminoase

Frecvența de răspuns a traductorului, arătată în Fig.46 este funcția de transfer între partea electrică de excitație și mediul ultrasonor. În acest set de măsurători, fiindcă s-a modificat frecvența de modulare, amplitudinea purtătoarei și adâncimea de modulare au fost menținute constante la circuitul de ieșire, pentru a compensa orice efect de cuplare între celulă și etajul de ieșire a amplificatorului.

Constanta amplitudinii purtătoarei și a adâncinii de modulare, linearitatea în amplitudine a etajului de ieșire, destul de bună nu au dus la necesitatea corectării datelor în răspunsul de frecvență modulată, dat de inconstanța răspunsului în frecvență a traductorului.

Pentru a îndeplini ambele deziderate: modulația în amplitudine și în frecvență la ieșirea amplificatorului este necesară utilizarea unui traductor de bandă de largă trecere, cel puțin dublă față de banda de modulație cerută.

CAPITOLUL 6

CONCLUZII

Deflexia acustooptică implică cunoașterea amănunțită a fenomenelor fizice concurente, cit și a proprietăților materialelor componente ale celulei.

Pentru a obține fenomenul de difracție în mediul de interacțiune acustooptic, este necesară obținerea unei rețele plane de fază. Aceasta poate fi rezultatul propagării unei unde sonore, cit mai cu puțință sinusoidale, de tip progresiv.

În acest scop traductorul piezoelectric trebuie să lanseze o undă sinusoidală longitudinală sau transversală pură înspre mediul de interacțiune, după o direcție bine precizată și propice acesteia. Față de acest plan al unde are loc incidența Bragg, care dă fenomenul de difracție.

Scopul acestei lucrări este acela, de a-și aduce contribuția, într-o manieră originală, la definirea fenomenelor legate de deflexia și modularea acustooptică într-o formă matematică pretabilă la utilizarea tehnicii de calcul cit și la extragerea, în toate fazele tratării teoretice, a concluziilor practice, accesibile unei tehnologii care a dus la fabricarea primului deflector acustooptic românesc [82].

Menționez că, fiind un domeniu de mare actualitate, literatura abundă în abordări teoretice, dar nu se dezvăluie în nici un mod realizările practice (cel puțin în literatura la care am avut acces).

Pornind de la scopul și obiectivul propus se poate scoate în evidență următoarele contribuții originale:

- alegerea materialelor pentru realizarea deflectorului acustooptic s-a dovedit a fi corectă, modelul realizându-se experimental, cu performanțe bune în funcționare;

- alegerea formei și dimensiunilor mediului de interacțiune acustooptic și frecvenței de lucru, poziționarea ferestrelor de intrare și ieșire, peretele de atac și de deviere (Fig.43) au fost confirmate experimental;

- am dovedit, experimental, că depunerea de strat

antireflex nu este critică, practic ne putem depărta mult de stratul ideal ($1/4 \cdot \lambda$), ceea ce ușurează mult tehnologia de fabricație (Fig.4);

- asemănarea propagării undelor ultrasonore [23/79-81] cu cele electromagnetice permit supoziția reflexiei pe un plan inclinat, astfel încât unda să nu se reflecte înspre peretele cuplat cu traductorul, ceea ce ar duce la batăi care ar deranja caracterul de sinusoidă pură al deformațiilor. Am dovedit experimental, că inclinarea sub 45° duce la rezultatele scontate cu un amortizor de Cu;

- analiza pe calculator (Fig.9) scoate în evidență o intensitate maximă în franja de difracție de ordinul 1 pentru o incidentă Bragg - fapt confirmat experimental;

- rezolvarea matematică a intensității undei împrăștiată, alegerea limitelor de integrare (Cap.3.2) corectează rezultatele obținute de alți cercetători;

- relația (3.2.1) definește drept sursă ultrasonoră un traductor plat, cât mai mare ($H \times L$) ca suprafață. Acesta ne asigură divergența minimă a fasciculului sonor. Dimensiunea aleasă a fost de $31 \times 4 \times 1,8$ mm;

- rezolvarea matematică a comportării deflectorului acustooptic în impuls permite precizarea de relații dimensionale ce duc la performanțele cerute;

- alegerea tipului de electrozi ce alimentează traductorul s-a făcut în primul rând pentru o adaptare acustică cât mai corespunzătoare (Cap.4.5.2.2. și Fig.24);

- definirea metodei de măsurare a constantelor niobatului de litiu (LiNbO_3) (Cap.5.2.2) se propune ca metoda standard pentru evaluarea cristalelor produse de IFTAR (Cap.5.2.3.);

- alegerea unghiurilor de tăiere pentru cristalul piezoelectric executat din cuarț (5.3.2), astfel încât să aibă loc o undă pură longitudinală, cât și metoda de proiectare folosită în Cap.5.3, s-a dovedit a fi corectă (experimental confirmându-se fenomenul de deflexie);

- investigarea calității optice a niobatului de litiu (Fig.31,32) produs de IFTAR - se propune ca metodă standard;

- propagarea prin mediul cristalin din LiNbO_3 s-a dovedit a fi defectuoasă experimental, acuzându-se multiplele tehnologii implicate: de creștere, de polarizare, de tăiere, rezistența scăzută la raza laser intensă, etc.

Realizarea unui perete inclinat (cu 6°) pentru o reflexie a undei ultrasonore, ceea ce ar favoriza treceri multiple și deci interacțiuni mai viguroase între ultrasunet și lumină, nu a dus la o îmbunătățire spectaculoasă, astfel încât fenomenul să poată fi exploatat tehnic.

S-a renunțat în favoarea cuarțului amorf pentru fabricarea deflectorului;

- definirea măsurărilor necesare și realizarea montajului experimental (Fig.45) au creat posibilitatea investigațiilor necesare pentru asigurarea unei încadrări corecte în clasa de funcționare necesară a deflectorului;

- proiectarea și realizarea amplificatorului de radiofrecvență (50 MHz, 15 W/50 ohm), astfel încât să ofere stabilitatea în funcționare (amplitudine, frecvență) (Fig.47);

- proiectarea și realizarea unui montaj generator de impulsuri variabile în 50 MHz (Fig.43) 10-1000 μsec și repetabile (0 - 5 MHz);

- realizarea rețelei de adaptare corecte a cristalului piezoelectric cu ieșirea amplificatorului (Cap.4.5.1.2).

Fabricația a citorva defletoare acustooptice a confirmat experimental deducțiile din partea teoretică arătate în această teză. În felul realizat se pot utiliza pentru modularea liniară a luminii și bineinteleles în cavitatea laserelor cu solid, pentru a realiza lasere în impuls cu aplicații industriale imediate (tăiere cu laser).

Prin realizarea cu acuratețe mai mare a celulei acustooptice (pierderi optice minime, stabilitatea deosebită a montajului electronic și a traductorului piezoelectric, în timp și cu temperatura) se va trece și la construcția unui modulator acustooptic cu implicații în transmisia și procesarea luminii.

Mai trebuie amintită și eficiența economică a tezei, aceasta contribuind la realizarea unui contract de colaborare (21-86-31/CSEN).

B I B L I O G R A F I E

1. Born, M. si E. Wolf Principles of Optics, Pergamon Press, 1965
2. Quate, C.F., etc. Proceedings of the IEEE, vol 52, nr.10, p.1604, 1965
3. Sterian, P., etc. Transmisia optică a informației, Ed. Tehnică, vol 2, p.87, 1981
4. * * * Recomandări ale Organizației Internaționale de Standardizare ISO, Ed. Tehnică, București, vol 1, 1971
5. Gordon, I. Proceedings of the IEEE, vol 54, nr.10, p.1932, 1966
6. Dixon, N. si I. Gordon Bell Sys. Tech. Journal vol 46, p.367, 1967
7. Korpel, L., etc. Proceedings of the IEEE, vol 54, p.1429, 1966
8. Klein, N. si F. Cook IEEE Trans. Sonics and Ultrasonics, vol SU-14, p.123, 1967
9. Zernike, F. Applied nonlinear optics, John Wiley, USA, p.2, 1973
10. Sapriel, L. Contribution a l'etude de materiaux ferroelastiques ou fortement photoelastiques a l'aide de methodes acoustooptiques, Teza doctorat, Universitate Pierre et Marie Curie, Franța, 1975
11. Adrianova, V. Optica i spectroscopia, XIV, 1, p.137, 1963
12. Ilin, N. si A. Kostyunina Optica i spectroscopia, XXII, 2, p.303, 1967
13. Tarasov, I. Fiz. osnovi cvantovii el. Sovetskoe radio, Moskva, p.14, 1976
14. Yariv, A. Quantum Electronics, John Wiley, ed.3, New York, p.110, 1985
15. De Sabata, I. Bazele electrotehnicii, IPT, vol II, p.229, 1974

16. Nye, I.F. Proprietes physiques des cristaux, DUNOD, Paris, p.71, 1961
17. Pop, E. Posibilități de utilizare a unor efecte electrooptice in tehnica masurărilor și a elementelor logice, Teză de doctorat, IPT, 1970
13. Iancu, I. Elemente de optică aplicată, Ed.șt., București, p.206, 1977
19. Helles Griot, J. Optics Guide 2, Amsterdam, p.71, 1986
20. Case, M. Photonics Spectra, USA, Mass, p.58, Feb.1984
21. Lunt, D. Photonics Spectra, USA, Mass, p.77, Nov. 1983
22. Duncanson, R. si S.Stevenson Proceedings of the Physical Soc.of London, vol 72, p.1001, 1981
23. Auld, B.A. IEEE Trans.on Microwave Th.and Techn.vol MIT 17, No.11, p.800, Nov.1969
24. Ingerbringsten, K. IEEE Trans.on Microwave theory and tehn, vol MIT 17, No.11, p.821, Nov.1969
25. Slater, I. Review of Modern Physics, vol 30, No.1, p.197, Ian.1958
26. Kaminov, P. IEEE Transactions on Microwave theory and techniques, vol MTT-23, No.1, p.57, Ian.1975
27. Adrianova, V. Optica i spectroscopia, XXXV, 5, p.388, 1973
23. Tien, P.K. Journal of applied physics, vol 29, No.9, p.1347, 1958
29. Manley, J.M. si H.E.Rowe Proc.IRE, vol 44, p.904, Iulie 1956
30. Vlad, V. Prelucrarea optică a informației, Ed.Ac.RSR, p.19, 1976
31. Rosculet, M. Analiză matematică, Ed.Did. și Ped., București, p.481, 1979
32. Angot, A. Complemente de matematici pentru ingineri din electrotehnică și din telecomunicații, Ed.Tehnică, p.408, 1966

33. Eorneas, M. Fizica atomică și a radiației electromagnetice, IPT, p.116, 1980
34. Tamir, E. Integrated optics, Springer Verlag, Berlin, p.158, 1975
35. Kogelnic, P. Laser beams and resonators, Proc. IEEE, vol 54, p.1312-1329, Oct.1966
36. Mason, W. Electromechanical Transducers and wave filters, Princentown, Von Nostrand, p.201, 1978
37. Mason, W. Piezoelectric Crystals and their Application to Ultrasonics, Van Nostrand, London, p.42, 1983
38. Berlincourt, D., etc. Physical acoustics, vol 1A, Mason, New York, Academic Press, p.232, 1964
39. Berlincourt, D., etc. IEEE Trans.Sonics and Ultrasonics, vol SU-16, p.2, 1969
40. Iuleva, L.I. și Yu.S.Kuzminov Journal of Crystal Growth, Amsterdam, vol 32, p.162, 1987
41. Koga, I. și M.Aruga Phys.Rev.109, p.1467, 1953
42. Mason, P. și L.Iaffe Proc.IRE 42, p.921, 1954
43. Lawson, M. Phys.Rev.62, p.71, 1942
44. Tiersten, H. J.Acoust.Soc.Am.35, p.53, 1963
45. Onoe, M. și H.Tiersten J.Acoust.Soc.Am.35, p.36, 1963
46. Warner, A. Use of parallel field excitation in the design of quartz crystal units, Proc.17th Freq.Control Symp., p.248, 1963
47. Brânzan, F. Unele rezultate experimentale privind dirijarea proprietăților optice sub influența modificărilor mecanice, Referat în cadrul catedrei de fizică, IPT, 1982
48. Megaw, H. Acta Crystal, No.7, p.187, 1952
49. Shiozaki, T. Journal of Phys.Chem.Solids 24, p.1057, 1963

50. Abrahams, M. si R.Reddy Journal of Phys.Chem.Solids 27, p.997, 1966
51. Abrahams, M. si R.Reddy Journal of Phys.Chem.Solids 27, p.1019, 1966
52. Eyer, R. si I.F.Yomag Appl.Phys.41, p.2320, 1970
53. Byer, R. si R. Herbst Optics Communications 12, p.427, 1974
54. Fukuda, T. si H.Hirono Materials Research Bell.10, p.801, 1975
55. Bergman, I.G. si A.Ashkin Applied Phys.Lett. 12, p.82, 1968
56. Midwinter, I.I. Applied Physics 39, p.3033, 1968
57. Bayd, G. si W.Bond J.Applied Physics 33, p.1941, 1974
58. Penna, A. si A.Chaves Physical Review B, 13, p.4907, 1976
59. Berg, N., N.Lee si H. Casseday Optical Engineering, 19-3, p.359, 1980
60. Casseday, M. si R.Abramovitz IEEE Trans.Sonics and Ultrasonics SU-28-3 p.483, 1981
61. Brânzan, F. Celulă de baleiere folosită in memorii optice binare, Colocviu de cibernetică, Timișoara, 1981
62. Yariv, A. Introduction to optical electronics, Holt,, New York, p.315, 1971
63. Adrianova, V. Optica i spectroscopia, 12, p.99-105, 1962
64. Hance, V. J.Acoust Soc.Am. 36, p.1034, 1964
65. Hargrove, I. J.Acoust.Soc.Am.34, p.1547, 1962
66. Willard, W. J.Acoust.Soc.Am.21, p.101, 1949
67. Hargrove, I. si H.Zenkel J.Acoust.Soc.Am.31, p.1366, 1959
68. * * * RCA.Solid State Power Circuits, USA, p.430-513, 1971
69. * * * SIEMENS, Schaltbeispiele, Ausgabe 1974/75

70. Jakubaschk, M. Das grosse Elektronikbastelbuch, RDG, 1976
71. * * * Philips, Semiconductor Pocket Book, 1987
72. Cătuneanu, V.,
etc. Semiconductoarele in telecomunicație,
Ed. tehnică, București, 1962
73. Gray, P. Bazele electronicii moderne, Ed. Tehnică,
București, vol II, 1973
74. Hance, V. J. Acoust. Soc. Am. 38, p. 14-23, Iulie 1965
75. * * * IPRS Băneasa, Componente electronice,
catalog condensat
76. * * * IPRS Băneasa, Circuite integrate
digitale, 1979
77. Felea, D. Circuite cu tranzistoare in industrie,
Ed. tehnică, București, 1964
78. Morris, R. Proiectarea cu circuite integrate TTL,
Ed. Tehnică, 1974
79. Nadean, G. Introduction to Elasticity, Holt, New
York, 1964
80. Chou, P. Elasticity- Tensor, Dyodic and
Engineering Approaches, Van Nostrand,
Princeton, 1965
81. Holland, R. IEEE Sonics and Ultrasonics, SU - 14,
p. 18-20, 1967
82. Lupei, V.,
I. Mănzatu, ... Conferința națională de realizări și
F. Brânzan progrese in domeniul laserelor, 20-21
oct. 1987, București, Laseri YAG-Nd pompat
continuu cu comutație acustooptică
83. Earllisse, P. Variational Method for Electroelastic
Vibration Analysis, IEEE Trans. Sonics and
Ultrasonics, SU-14, p. 153-160, 1967
84. Maidan, D. IEEE Jr. Q. E.-6, No. 1, p. 15, 1970
85. Lupei, V.,
F. Domsa, Propunere brevet invenție (in pregătire)
F. Brânzan